

Element	Na2O	FeO	K2O	Cr2O3	SiO2	P2O5	TiO2	MnO	Al2O3	Ag2O
1 Thearne drip1 Wustite 3	-		89.57	0.023	0.002	0.214	-	0.177	0.663	0.315 -
2 Thearne drip1 Wustite 4	0.009		92.25	0.028	0.008	0.216	0.007	0.207	0.664	0.395 -
3 Thearne drip1 Wustite 5	0.03		90.52	0.011	0.01	0.203	0.001	0.164	0.67	0.321 0.001
4 Thearne drip1 fayalite 3	-		63.32	0.02	-	28.98	0.719	-	2.16	0.362 -
5 Thearne drip1 fayalite 4	-		63.69	0.021	-	29.61	0.217	-	2.32	0.187 0.007
6 Thearne drip1 fayalite 5	0.023		62.62	0.014	-	28.78	0.478	-	2.35	0.419 0.007
7 Thearne drip1 matrix 1	0.14		57.74	0.021	0.006	20.52	0.682	0.067	1.69	18.55 -
8 Thearne drip1 matrix 2	-		45.62	0.021	-	0.944	0.014	0.454	0.645	52.3 -
9 Thearne drip1 matrix 3	0.15		54.42	0.089	0.001	18.17	0.866	0.16	1.41	23.28 -
10 Thearne drip1 matrix 4	0.023		63.63	0.007	-	20.46	0.757	-	1.21	2.43 -
11 Thearne drip1 matrix 5	0.755		2.03	9.24	-	45.35	8.49	0.029	0.043	22.69 0.006
12 Thearne drip2 wustite 1	0.078		92.49	0.017	0.014	0.363	0.032	0.108	0.667	0.48 -
13 Thearne drip2 wustite 2	0.084		91.41	0.056	0.01	0.454	0.019	0.184	0.598	0.65 -
14 Thearne drip2 wustite 3	0.036		92.28	0.026	-	0.35	0.006	0.145	0.617	0.491 -
15 Thearne drip2 wustite 4	-		76.95	0.024	-	4.14	0.877	0.209	0.979	7.18 0.006
16 Thearne drip2 wustite 5	0.192		92.05	0.016	-	0.43	0.021	0.095	0.703	0.521 -
17 Thearne drip2 fayalite 1	0.016		62.34	0.024	-	29.42	0.402	-	2.45	0.34 -
18 Thearne drip2 fayalite 2	0.011		63.42	0.029	0.005	29.23	0.421	-	2.44	0.397 -
19 Thearne drip2 fayalite 3	0.049		63.29	0.036	-	29.87	0.273	-	2.43	0.196 0.004
20 Thearne drip2 fayalite 4	0.033		63.58	0.015	-	29.52	0.317	0.017	2.19	0.219 -
21 Thearne drip2 fayalite 5	-		63.28	0.048	-	29.47	0.519	-	2.41	0.298 -
22 Thearne drip2 matrix 1	1.295		25.96	3.55	-	30.11	5.23	0.152	0.705	20.57 -
23 Thearne drip2 matrix 2	1.221		25.66	3.51	-	29.84	5.37	0.099	0.805	21.64 -
24 Thearne drip2 matrix 3	1.205		27.61	3.2	-	31.21	4.92	0.117	0.826	19.14 0.013
25 Thearne drip2 matrix 4	0.975		34.7	2.19	0	30.1	3.98	0.105	1.07	16.51 -
26 Thearne drip2 matrix 5	1.163		28.76	3.62	-	29.76	4.88	0.069	0.872	21.42 -
27 Thearne drip3 wustite 1	0.082		62.86	0.011	0.006	28.53	0.855	-	2.2	0.95 -
28 Thearne drip3 wustite 2	0.021		61.9	0.034	0.001	25.12	1.254	0.006	1.85	1.99 -
29 Thearne drip3 wustite 3	0.04		59.04	0.021	0.001	12.99	1.279	0.148	1.238	10.42 0.008
30 Thearne drip3 wustite 4	0.062		93.61	0.028	-	0.312	-	0.122	0.666	0.529 -
31 Thearne drip3 wustite 5	0.065		85.76	0.027	-	2.76	0.515	0.19	0.734	1.541 -
32 Thearne drip3 fayalite 1	0.08		64.74	0.028	-	28.92	0.388	-	2.32	0.956 0.004

33	Thearne drip3 fayalite 2	0.049	64.57	0.014	0.004	29.4	0.618	-	2.42	0.382	0.003
34	Thearne drip3 fayalite 3	0.003	64.22	0.016	0.002	29.76	0.343	-	2.36	0.326	-
35	Thearne drip3 fayalite 4	0.002	64.41	0.013	-	29.62	0.404	-	2.39	0.341	-
36	Thearne drip3 fayalite 5	0.04	64.43	0.015	-	30.02	0.461	-	2.38	0.458	-
37	Thearne drip3 matrix 1	1.73	19.72	5.34	-	31.9	6.28	0.156	0.482	20.46	0.012
38	Thearne drip3 matrix 2	1.49	25.28	4.42	-	32.13	4.8	0.196	0.69	18.84	-
39	Thearne drip3 matrix 3	1.38	28.24	4.22	-	32.69	4.62	0.142	0.799	17.59	-
40	Thearne drip3 matrix 4	1.71	20.05	5.33	-	33.95	4.51	0.205	0.563	19.89	-
41	Thearne drip3 matrix 5	1.88	20.65	5.45	-	33.33	5.17	0.131	0.563	18.56	-
42	Hasholme Hall small fayalite 1	0.048	64.55	0.033	-	30.34	0.395	-	0.813	0.032	0.006
43	Hasholme Hall small fayalite 2	0.03	63.57	0.134	-	30.43	0.694	-	0.727	0.292	0.002
44	Hasholme Hall small fayalite 3	-	64.77	0.028	-	30.16	0.329	-	0.794	0.03	0.003
45	Hasholme Hall small fayalite 4	0.05	64.76	0.021	-	30	0.371	-	0.748	0.024	-
46	Hasholme Hall small fayalite 5	0.086	65.3	0.029	0.01	30.04	0.31	-	0.759	0.021	-
47	Hasholme Hall small matrix 1	0.701	21.44	3.47	-	46.63	2.73	0.339	0.237	14.08	-
48	Hasholme Hall small matrix 2	0.69	24.11	3.07	0.006	47.5	3.75	0.4	0.257	14.3	-
49	Hasholme Hall small matrix 3	0.677	13.6	3.36	0.006	50.64	3.8	0.516	0.165	16.19	-
50	Hasholme Hall small matrix 4	0.483	34.71	2.33	0.016	42.62	0.023	0.361	0.38	11.01	0.034
51	Hasholme Hall small matrix 5	0.552	23.32	3.28	0.007	46.54	3.01	0.498	0.268	13.03	-
52	Hasholme Hall large wustite 1	0.001	92.71	0.038	0.011	0.279	0.016	0.079	0.162	0.845	-
53	Hasholme Hall large wustite 2	0.097	92.97	0.035	-	0.29	-	0.057	0.154	0.859	-
54	Hasholme Hall large wustite 3	0.061	93.71	0.025	0.001	0.302	-	0.048	0.178	0.828	-
55	Hasholme Hall large wustite 4	-	92.63	0.029	-	0.306	0.023	0.068	0.16	0.877	-
56	Hasholme Hall large wustite 5	0.019	93.21	0.02	0.007	0.301	-	0.103	0.166	0.894	-
57	Hasholme Hall large fayalite 1	0.088	64.34	0.018	-	30.08	0.324	-	0.55	0.25	-
58	Hasholme Hall large fayalite 2	0.034	65.08	0.023	-	30.52	0.092	-	0.518	0.104	0.006
59	Hasholme Hall large fayalite 3	0.039	64.09	0.026	-	30.19	0.283	-	0.513	0.193	-
60	Hasholme Hall large fayalite 4	0.004	65.02	0.036	-	30.27	0.219	-	0.519	0.164	0
61	Hasholme Hall large fayalite 5	-	65.04	0.029	-	30.55	0.14	-	0.522	0.131	0.006
62	Hasholme Hall large matrix 1	1.234	25.41	5.59	-	33.6	4.4	0.063	0.156	15.88	-
63	Hasholme Hall large matrix 2	1.308	23	6.01	-	35.31	4.43	0.05	0.134	15.99	-
64	Hasholme Hall large matrix 3	1.246	22.85	5.39	-	34.77	4.55	0.042	0.153	16.92	-
65	Hasholme Hall large matrix 4	1.234	25.54	5.03	0.006	35.15	3.93	0.034	0.16	15.17	-

66 Hasholme Hall large matrix 5	1.222	24.68	5.54 -		34.86	4.12	0.031	0.159	15.33	0.008
67 Bursea house smith wustite 1	0.013	92.1	0.036	0.022	0.322	0.005	0.527	0.149	0.603	-
68 Bursea house smith wustite 2	0.031	93.15	0.029	0.042	0.345	0.014	0.818	0.124	0.536	-
69 Bursea house smith wustite 3	0.036	92.22	0.03	0.021	0.303 -		0.513	0.152	0.613	0.006
70 Bursea house smith wustite 4	-	92.99	0.034 -		0.343 -		0.605	0.131	0.545	-
71 Bursea house smith wustite 5	-	92.42	0.035	0.015	0.317	0.01	0.696	0.155	0.505	-
72 Bursea house smith fyalite 1	-	65.31	0.015	0.004	30.29	0.186 -		0.817	0.082	-
73 Bursea house smith fyalite 2	0.007	64.74	0.031 -		30.21	0.286 -		0.857	0.072	0.008
74 Bursea house smith fyalite 3	0.011	65.34	0.02 -		30.33	0.155 -		0.816	0.065	0.003
75 Bursea house smith fyalite 4	0.023	65.86	0.01 -		30.57	0.123 -		0.861	0.068	-
76 Bursea house smith fyalite 5	0.019	65.78	0.033 -		30.52	0.165 -		0.818	0.063	0.003
77 Bursea house smith matrix 1	1.277	7.05	6.1	0.014	40.36	9.68	0.196	0.042	19.54	-
78 Bursea house smith matrix 2	2.25	8.1	8.89	0.007	46.08	2.178	0.282	0.047	22.16	-
79 Bursea house smith matrix 3	1.85	11.07	9 -		41.24	2.118	0.377	0.061	23.51	-
80 Bursea house smith matrix 4	2.3	18.28	4.94 -		23.73	21.02	0.158	0.147	12.5	-

BaO	CoO	As2O5	CuO	CaO	NiO	MgO	Cl	Sb2O5	SnO2	PbO	SO3	ZnO	V2O3	
-		0.144	0.077	0.007	0.035	0.018	-	0.002	-	0.047	0.062	0.068	0.005	0.04
-		0.15	0.094	0.007	-	0.015	-	0.003	-	0.058	0.033	0.008	-	0.041
-		0.154	0.117	0.01	0.013	0.014	-	-	0.027	0.069	-	0.032	0.014	0.058
-		0.094	0.019	-	0.539	0.021	0.181	0	-	0.086	0.012	0.023	0.009	0.007
-		0.104	0.043	0.012	0.401	0.035	0.296	-	-	0.098	0.042	0.022	0.006	-
-		0.102	0.013	0.009	0.412	0.038	0.359	0.002	-	0.082	0.027	0.001	0.01	-
-		0.099	0.004	0.003	1.91	0.034	0.061	-	-	0.102	0.001	0.092	0.009	0.019
-		0.079	-	0.011	0.034	0.038	0.02	-	-	0.1	0.001	0.023	0.023	0.077
0.139		0.088	-	-	2.39	0.035	0.004	-	0.002	0.068	0.038	0.072	0.015	0.025
-		0.106	0.056	0.004	0.858	0.028	0.097	0.156	-	0.085	0.044	0.034	0.016	-
1.55	-	-	0.011	11.31	0.046	-	0.084	-	-	-	-	1.471	0.011	-
-		0.139	0.022	0.003	0.061	0.034	-	0.004	-	0.072	0.01	0.049	0.018	0.044
-		0.141	0.084	0.013	0.149	0.028	0.005	0.002	0.019	0.066	0.038	0.057	0.019	0.052
-		0.15	0.073	-	0.055	0.029	-	0.003	-	0.043	0.026	-	0.009	0.051
-		0.108	0.055	0.007	1.065	0.021	0.005	0.005	0.024	0.055	0.006	0.041	0.006	0.055
-		0.152	0.096	-	0.095	0.012	-	0.006	-	0.077	0.048	0.103	0.019	0.049
-		0.082	0.003	0.009	0.45	0.029	0.305	0.002	0.006	0.084	0.023	-	0.021	0.021
-		0.1	0.064	0.01	0.454	0.034	0.374	-	-	0.109	0.015	0.029	0.004	-
-		0.1	0.006	0.004	0.483	0.038	0.244	0.001	-	0.085	-	0.01	0.003	0.016
-		0.088	0.034	0.016	0.633	0.02	0.106	0.004	-	0.079	0.019	-	0.02	-
-		0.107	0.043	0.013	0.542	0.026	0.327	-	0.014	0.083	0.031	0.06	0.01	0.022
1.58	0.053	-	0.009	10.56	0.036	-	0.011	-	-	-	-	0.818	0.009	-
1.56	0.039	-	-	10.81	0.05	-	0.012	-	-	-	-	0.687	0.013	-
1.58	0.035	-	0.022	10.49	0.037	-	0.01	-	-	-	-	0.858	0.015	0.016
0.978	0.052	-	0.012	8.34	0.032	-	0.008	0.004	-	-	-	0.654	0.006	0.001
1.38	0.039	-	0.016	8.94	0.048	-	0.006	-	-	-	-	0.51	0.017	0.005
-		0.097	0.01	-	1.22	0.03	0.224	0.004	-	0.096	0.054	0.027	0.022	-
-		0.097	0.021	0.009	1.225	0.018	-	0.01	-	0.098	-	0.032	0.009	-
-		0.094	0.077	-	1.238	0.041	0.025	0.039	-	0.093	0.01	0.049	0.035	0.005
-		0.145	0.083	-	0.027	-	0	-	0.081	0.043	-	0.009	0.037	-
-		0.144	0.026	-	0.562	0.013	-	0.013	-	0.098	-	0.064	0.017	0.04
-		0.1	0.017	-	0.611	0.027	0.218	0.008	-	0.087	0.033	-	0.006	0.006

-	0.102	0.044	0.021	0.521	0.027	0.266	-	0.016	0.099	0.023	-	0.026	-
-	0.088	0.087	0.003	0.479	0.019	0.284	0.004	0.006	0.088	-	0.019	0.015	0.012
-	0.09	0.039	0.012	0.46	0.032	0.319	-	-	0.101	0.018	0.002	0.01	0.012
-	0.101	0.057	-	0.461	0.017	0.298	-	-	0.096	-	0.004	-	0.002
2.26	0.025	-	0.006	12.56	0.04	-	0.009	-	-	-	1.032	0.002	-
2.97	0.045	-	0.004	10.63	0.024	-	0.006	-	-	-	0.855	-	-
2.14	0.052	-	-	10.88	0.027	-	0.008	-	-	0.004	0.758	0.002	-
3.56	0.024	-	0.01	11.53	0.032	-	0.007	-	-	-	0.655	0.016	-
2.38	0.027	-	0.009	12.4	0.035	-	0.012	-	-	-	1.082	0.008	-
-	0.102	0.051	0.021	0.174	0.024	0.582	-	-	0.11	0.008	0.02	0.017	-
-	0.103	0.062	-	0.482	0.026	0.196	0.002	-	0.087	0.071	-	0.015	-
-	0.111	0.064	0.013	0.176	0.029	0.521	-	-	0.095	0.04	-	0.01	-
-	0.093	-	0.018	0.198	0.031	0.383	-	-	0.095	0.026	-	0.001	0.034
-	0.108	-	0.039	0.2	0.028	0.366	0.003	-	0.101	0.032	0.002	0.019	0.025
0.247	0.037	-	0.018	6.1	0.022	-	0.006	-	-	0.013	0.536	0.008	0.028
0.214	0.036	-	0.013	6.97	0.035	-	0.01	-	-	0.009	0.452	0.009	0.024
0.257	0.024	-	0.013	8.71	0.037	-	0.008	0.014	-	-	0.569	0.015	0.029
0.135	0.057	-	0.009	5.39	0.031	0.022	0.008	-	-	-	0.491	0.004	0.031
0.226	0.05	-	0.031	6.21	0.037	0.002	0.005	-	-	-	0.634	0.019	0.05
-	0.155	0.056	0.023	0.026	0.03	0.015	-	-	0.076	0.029	-	0.007	0.043
-	0.152	0.076	0.009	0.016	0.022	0.019	-	-	0.087	0.023	-	0.021	0.023
-	0.132	0.13	0.021	0.012	0.027	0.054	-	0.022	0.09	0.084	0.019	0.018	0.029
-	0.143	0.066	0.017	0.005	0.016	0.03	-	-	0.079	0.029	0.022	-	0.062
-	0.149	0.097	0.036	0.027	0.013	0.022	-	-	0.053	0.047	-	0.014	0.017
-	0.104	0.107	0.012	0.78	0.021	0.958	-	-	0.086	0.061	0.026	0.016	-
-	0.109	0.018	-	0.89	-	0.699	0.002	-	0.082	0.034	0.001	0.022	0.007
-	0.108	0.013	0.02	1	0.026	0.784	0.002	-	0.083	0.022	-	0.02	0.006
-	0.106	0.056	0.021	0.902	0.031	0.751	0.003	-	0.133	0.052	0.035	0.014	0.03
-	0.094	0.025	0.016	0.834	0.031	0.817	-	-	0.102	0.057	0.047	0.017	0.01
0.368	0.036	-	0.025	13.41	0.041	-	0.009	0.002	-	-	1.051	0.002	-
0.393	0.033	-	-	13.87	0.052	-	0.004	-	-	0.018	1.088	0.014	-
0.351	0.029	-	0.019	13.96	0.043	-	0.001	-	-	-	0.983	0.015	0.011
0.355	0.042	-	0.032	13.61	0.046	-	0.013	-	-	0.006	0.994	-	-

0.359	0.043	-	0.009	13.75	0.038	-	0.006	-	0.001	0.867	-	-	-
-	0.138	0.087	0.041	0.047	0.014	-	0.001	-	0.081	0.011	0.011	0.025	0.146
-	0.146	0.008	0.016	0.054	0.022	-	-	-	0.088	0.018	0.019	0.003	0.163
-	0.151	0.037	0.021	0.043	0.031	-	-	-	0.085	0.065	0.014	-	0.162
-	0.149	0.043	0.018	0.063	0.023	-	0.001	-	0.099	0.036	0.067	0.005	0.098
-	0.151	0.076	0.015	0.052	0.031	-	-	-	0.077	0.03	0.043	0.031	0.147
-	0.102	0.068	0.011	0.234	0.032	0.691	0.003	-	0.105	0.044	0.026	0.018	-
-	0.1	-	0.027	0.268	0.013	0.595	0	-	0.107	0.027	-	-	-
-	0.104	0	-	0.244	0.028	0.746	0.006	0.001	0.099	-	0.06	0.022	-
-	0.093	-	0.009	0.255	0.039	0.596	0	-	0.103	0.056	0.004	0.009	-
-	0.106	0.006	0.005	0.206	0.032	0.632	0.004	-	0.105	-	-	0.026	-
1.069	0.002	-	0.027	12.33	0.042	-	0.071	-	-	-	1.231	-	0.007
1.5	-	-	0.004	4.48	0.05	-	0.084	-	-	-	4.75	0.012	-
2.58	0.022	-	-	7.61	0.037	-	0.065	-	-	-	0.483	0.018	-
0.669	0.021	-	0.024	21.02	0.041	0.002	0.005	-	0.002	-	0.206	-	0.001

	<b>Total</b>
-----	91.471
-----	94.193
-----	92.441
-----	96.552
-----	97.111
-----	95.747
-----	101.747
-----	100.402
-----	101.423
-----	89.999
-----	103.116
-----	94.704
-----	94.137
-----	94.39
-----	91.819
-----	94.686
-----	96.026
-----	97.148
-----	97.137
-----	96.91
-----	97.303
-----	100.648
-----	101.316
-----	101.305
-----	99.716
-----	101.504
-----	97.279
-----	93.694
-----	86.889
-----	95.753
-----	92.571
-----	98.549

----- 98.605  
----- 98.135  
----- 98.276  
----- 98.839  
----- 102.015  
----- 102.379  
----- 103.553  
----- 102.043  
----- 101.687  
----- 97.327  
----- 96.923  
----- 97.173  
----- 96.854  
----- 97.476  
----- 96.642  
----- 101.854  
----- 98.63  
----- 98.146  
----- 97.768  
----- 94.6  
----- 94.911  
----- 95.79  
----- 94.561  
----- 95.193  
----- 97.82  
----- 98.24  
----- 97.419  
----- 98.368  
----- 98.467  
----- 101.277  
----- 101.704  
----- 101.332  
----- 101.351

----- 101.024  
----- 94.378  
----- 95.626  
----- 94.506  
----- 95.25  
----- 94.808  
----- 98.038  
----- 97.35  
----- 98.05  
----- 98.68  
----- 98.522  
----- 99.038  
----- 100.874  
----- 100.04  
----- 105.066

Element	Na2O	FeO	K2O	Cr2O3	SiO2	P2O5	TiO2	MnO	Al2O3
1 Thearne drip1 wustite	BDL	91.372	0.0224	0.00675	0.2348	0.0285	0.1634	0.6484	0.3196
2 Thearne drip1 fayalite	0.062	62.988	0.0168	BDL	29.234	0.4588	BDL	2.276	0.2942
3 Thearne drip1 matrix	0.348333	44.688	1.8742	0.006	21.0888	2.1618	0.6368	0.9996	23.85
4 Thearne drip2 wustite	0.118	89.036	0.0278	0.012	1.1494	0.191	0.1482	0.9879	1.8644
5 Thearne drip2 fayalite	0.049	63.182	0.0304	0.005	29.502	0.3864	0.017	2.384	0.29
6 Thearne drip2 matrix	1.1718	28.538	3.174	BDL	30.204	4.876	0.1084	0.8556	19.856
7 Thearne drip3 wustite	0.069667	72.634	0.0242	0.006	13.9424	0.97575	0.153333	1.3376	3.086
8 Thearne drip3 fayalite	0.0645	64.474	0.0172	0.003	29.58	0.4428	BDL	2.374	0.4926
9 Thearne drip3 matrix	1.638	22.788	4.952	BDL	32.8	4.872	0.166	0.6194	19.068
10 Hasholme Hall small fayalite	0.061333	64.59	0.049	0.01	30.194	0.4198	BDL	0.7682	0.0798
11 Hasholme Hall small matrix	0.6206	23.436	3.102	0.04475	46.786	2.6626	0.4228	0.2614	13.722
12 Hasholme Hall large wustite	0.079	93.046	0.0294	0.009	0.2956	0.0195	0.071	0.164	0.8596
13 Hasholme Hall large fayalite	0.088	64.714	0.0264	BDL	30.322	0.2116	BDL	0.5244	0.1684
14 Hasholme Hall large matrix	1.2488	24.296	5.512	0.006	34.738	4.178	0.044	0.1524	15.854
15 Bursea house smith wustite	0.013	92.576	0.0328	0.025	0.326	0.012	0.6318	0.1422	0.5604
16 Bursea house smith fayalite	BDL	65.406	0.0218	0.004	30.384	0.183	BDL	0.8338	0.07
17 Bursea house smith matrix	1.91925	22.052	5.791	0.0105	36.306	7.0446	0.25325	0.199	15.5768
18 Bursea House smelt wustite	0.03875	83.684	0.0306	0.007	9.0212	0.107	0.3142	0.3784	0.3162
19 Bursea House smelt fayalite	0.05125	63.468	0.035	0.003	29.818	0.454	BDL	0.8554	0.226
20 Bursea House smelt matrix	0.4888	13.322	12.308	0.026	41.65	3.2142	0.2365	0.0776	28.348
21 Bursea House green fayalite	0.3468	7.922	1.3228	0.014	47.158	0.1224	0.8852	0.1472	12.764
22 Bursea House green matrix	0.5674	23.48333	3.125	0.005	45.812	0.2268	1.089	0.0874	15.6872
23 Moors Farm slag heap ore	0.036	64.892	0.1428	BDL	5.858	0.0812	0.025	0.2935	1.1486
24 Moors Farm high quality bog ore	0.057	63.86	0.2378	0.002	12.132	1.7642	BDL	0.8922	0.5168

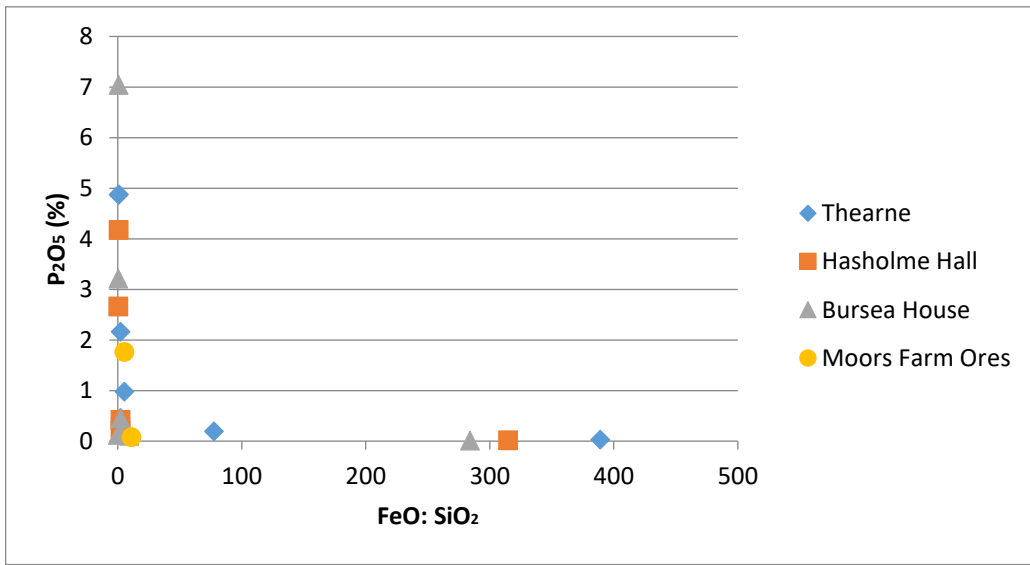
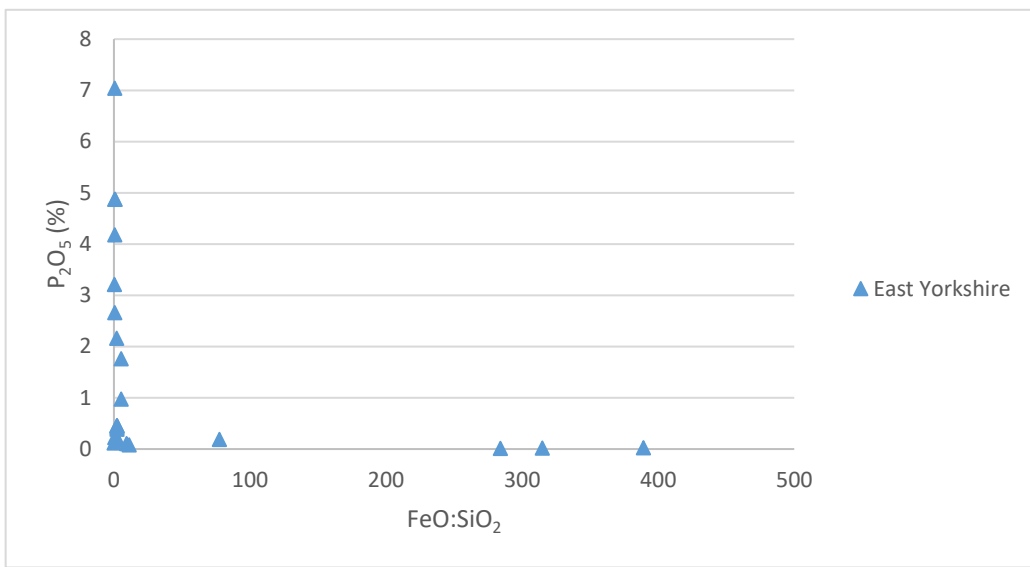
	FeO:SiO2	P2O5
1		
2 Thearne drip1 wustite	389.1482	0.0285
3 Thearne drip1 fayalite	2.154614	0.4588
4 Thearne drip1 matrix	2.119039	2.1618
5 Thearne drip2 wustite	77.46302	0.191
6 Thearne drip2 fayalite	2.141618	0.3864
7 Thearne drip2 matrix	0.946332	4.876
8 Thearne drip3 wustite	5.209577	0.97575
9 Thearne drip3 fayalite	2.247262	0.4428
10 Thearne drip3 matrix	0.694756	4.872
11 Hasholme Hall small fayalite	2.139167	0.4198
12 Hasholme Hall small matrix	0.500919	2.6626
13 Hasholme Hall large wustite	314.77	0.0195
14 Hasholme Hall large fayalite	2.134226	0.2116
15 Hasholme Hall large matrix	0.699407	4.178
16 Bursea house smith wustite	283.9755	0.012
17 Bursea house smith fayalite	2.152646	0.183
18 Bursea house smith matrix	0.607393	7.0446
19 Bursea House smelt wustite	9.276371	0.107
20 Bursea House smelt fayalite	2.135757	0.454
21 Bursea House smelt matrix	0.319856	3.2142
22 Bursea House green fayalite	0.167988	0.1224
23 Bursea House green matrix	0.512602	0.2268
24 Moors Farm slag heap ore	11.06675	0.0812
25 Moors Farm high quality bog ore	5.263765	1.7642

Thearne drip1 fayalite	2.154614	0.4588
Thearne drip1 matrix	2.119039	2.1618
Thearne drip2 fayalite	2.141618	0.3864
Thearne drip2 matrix	0.946332	4.876
Thearne drip3 fayalite	2.247262	0.4428
Thearne drip3 matrix	0.694756	4.872
Hasholme Hall small fayalite	2.139167	0.4198
Hasholme Hall small matrix	0.500919	2.6626
Hasholme Hall large fayalite	2.134226	0.2116
Hasholme Hall large matrix	0.699407	4.178
Bursea house smith fayalite	2.152646	0.183
Bursea house smith matrix	0.607393	7.0446
Bursea House smelt fayalite	2.135757	0.454
Bursea House smelt matrix	0.319856	3.2142
Bursea House green fayalite	0.167988	0.1224
Bursea House green matrix	0.512602	0.2268
Moors Farm slag heap ore	11.06675	0.0812
Moors Farm high quality bog ore	5.263765	1.7642

**Blank Page**

<b>Ag<sub>2</sub>O</b>	<b>BaO</b>	<b>CoO</b>	<b>As<sub>2</sub>O<sub>5</sub></b>	<b>CuO</b>	<b>CaO</b>	<b>NiO</b>	<b>MgO</b>	<b>Cl</b>	<b>Sb<sub>2</sub>O<sub>5</sub></b>	<b>SnO<sub>2</sub></b>	<b>PbO</b>	<b>SO<sub>3</sub></b>	<b>ZnO</b>
BDL	BDL	0.1458	0.0898	0.01	0.04675	0.015667	BDL	BDL	0.027	0.0518	0.0545	0.047667	0.027667
BDL	BDL	0.0972	0.0395	0.017	0.4494	0.0296	0.2762	BDL	BDL	0.0768	0.0435	0.0225	0.038
BDL	0.147	0.0744	0.056	BDL	3.2644	0.0364	0.059333	0.12	BDL	0.085	0.041	0.3402	0.01625
BDL	BDL	0.138	0.077	BDL	0.285	0.0248	BDL	0.006	0.024	0.0626	0.0224	0.0625	0.018667
BDL	BDL	0.0954	0.047	0.016	0.5124	0.0294	0.2712	BDL	BDL	0.088	BDL	0.0445	0.0205
BDL	1.4156	0.0436	BDL	0.022	9.828	0.0406	BDL	0.0094	BDL	BDL	BDL	0.7054	0.015
BDL	BDL	0.1154	0.08	BDL	1.06125	0.02554	0.1245	0.020667	BDL	0.0932	0.05	0.043	0.024667
BDL	BDL	0.0962	0.05675	0.021	0.5064	0.0244	0.277	0.008	BDL	0.0942	BDL	0.019	0.0205
BDL	2.662	0.0346	BDL	BDL	11.6	0.0316	BDL	0.0084	BDL	BDL	BDL	0.8764	0.016
BDL	BDL	0.1034	0.059	0.026	0.24	0.0276	0.4096	BDL	BDL	0.0976	0.045667	0.02	0.01525
0.034	0.2158	0.0408	BDL	0.0245	6.676	0.0324	0.022	0.008	BDL	BDL	BDL	0.5364	0.017
BDL	BDL	0.1462	0.085	0.02425	0.02025	0.0216	0.028	BDL	BDL	0.077	0.0655	0.0205	0.017667
BDL	BDL	0.1042	0.0485	0.019	0.8812	0.02725	0.8018	BDL	BDL	0.0972	0.0408	0.036	0.0178
BDL	0.3652	0.0366	BDL	0.025333	13.72	0.044	BDL	0.009333	BDL	BDL	BDL	0.9806	0.0145
BDL	BDL	0.147	0.06075	0.024	0.0518	0.0242	BDL	BDL	BDL	0.086	0.0505	0.03575	0.028
BDL	BDL	0.101	0.068	0.027	0.2408	0.0288	0.652	0.006	BDL	0.1038	0.05	0.043	0.022
BDL	1.4545	0.03725	0.078	0.018333	9.1976	0.0422	0.032	0.046	BDL	0.059	0.014	1.3376	0.021
0.002	BDL	0.1348	0.094	0.0206	0.7876	0.025	0.33	0.007	BDL	0.0858	0.0348	0.06025	0.01625
0.0045	BDL	0.0992	0.046	0.0215	1.1104	0.0306	0.7714	0.0025	0.018	0.098	0.0245	0.0245	0.0148
0.007	0.7586	0.0212	0.027	0.0214	3.2578	0.05	0.106	0.0052	BDL	0.03	0.005	0.2392	0.01425
BDL	0.039	0.012	BDL	0.0206	19.978	0.0642	6.2232	0.00425	BDL	0.066	0.021667	0.004	0.0234
0.004333	0.0485	0.0256	0.119	0.0216	12.0202	0.0524	0.1602	0.0052	BDL	0.06125	0.007	0.03225	0.02
BDL	BDL	0.1056	0.04875	0.024	0.2878	0.0264	0.1436	0.002667	0.015	0.0734	0.0232	0.0338	0.013
0.014	0.054	0.1	0.1014	0.00875	2.128	0.0312	0.1158	0.103333	BDL	0.072	0.01525	0.2026	0.0352

FeO	SiO2
91.372	0.2348
62.988	29.234
44.688	21.0888
89.036	1.1494
63.182	29.502
28.538	30.204
72.634	13.9424
64.474	29.58
22.788	32.8
64.59	30.194
23.436	46.786
93.046	0.2956
64.714	30.322
24.296	34.738
92.576	0.326
65.406	30.384
22.052	36.306
83.684	9.0212
63.468	29.818
13.322	41.65
7.922	47.158
23.48333	45.812
64.892	5.858
63.86	12.132



Blank Page

**V2O3** ----- **Total**

0.0384

BDL

0.040333

0.0502

0.019667

0.016

0.0385

BDL

BDL

0.0295

0.0324

0.0348

0.03

BDL

0.1432

BDL

0.004667

0.0345

0.017667

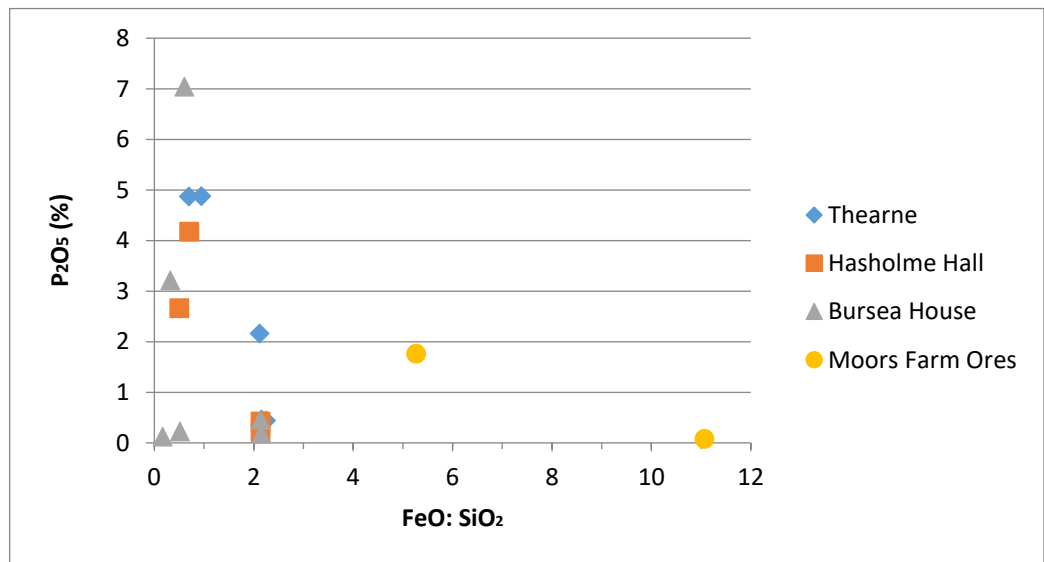
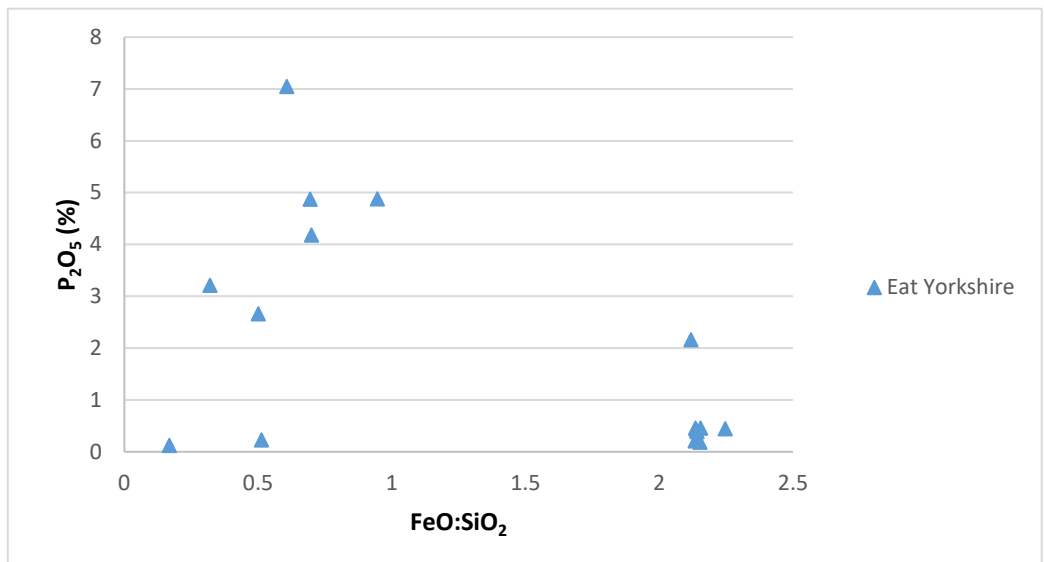
0.024

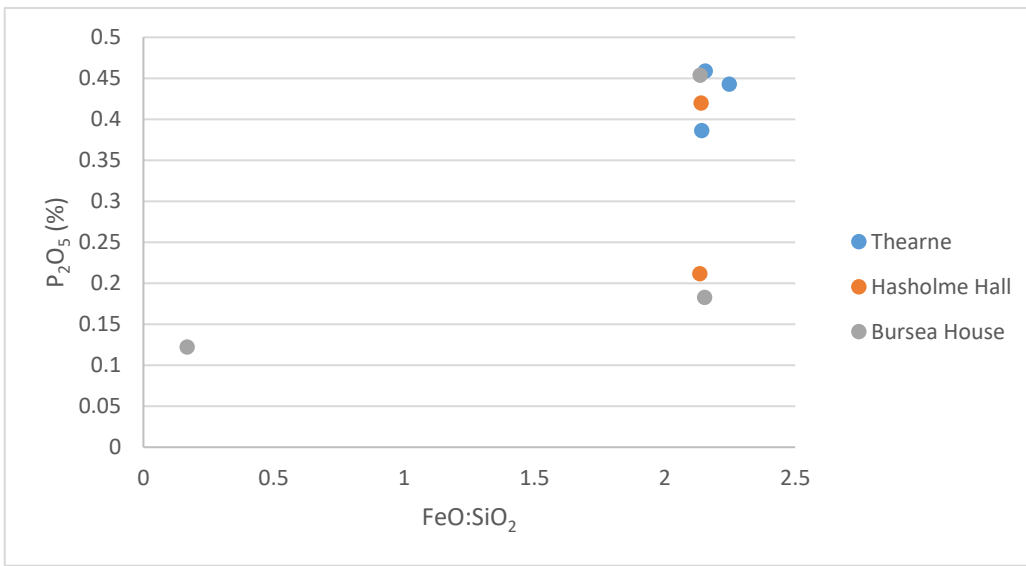
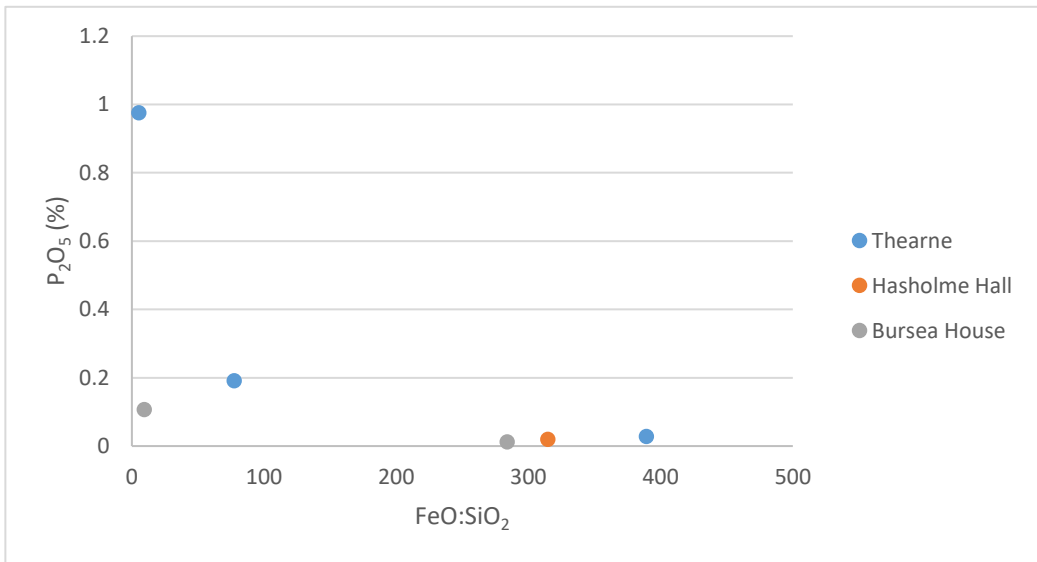
0.00775

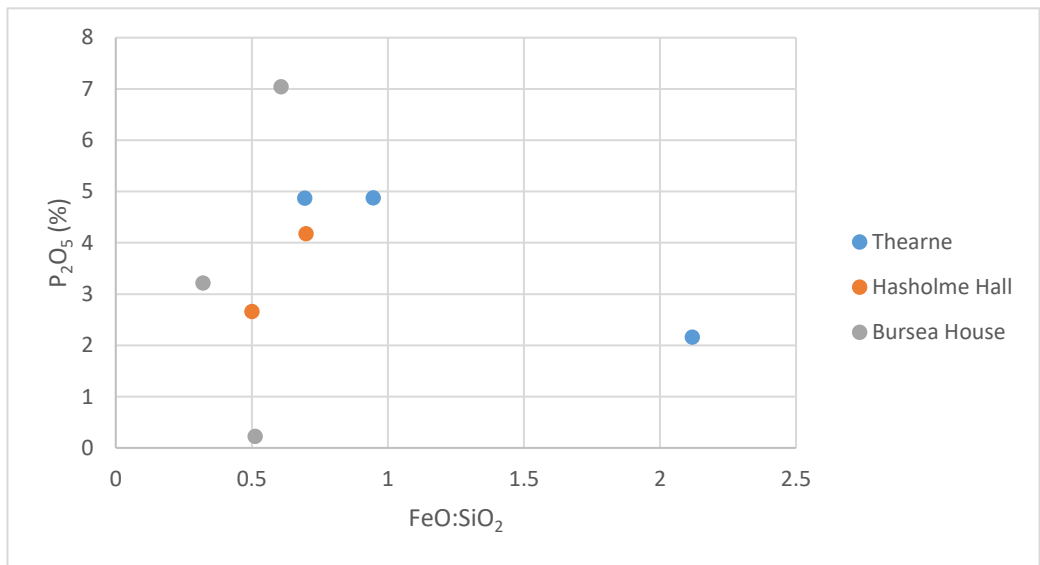
0.0275

0.0125

0.013

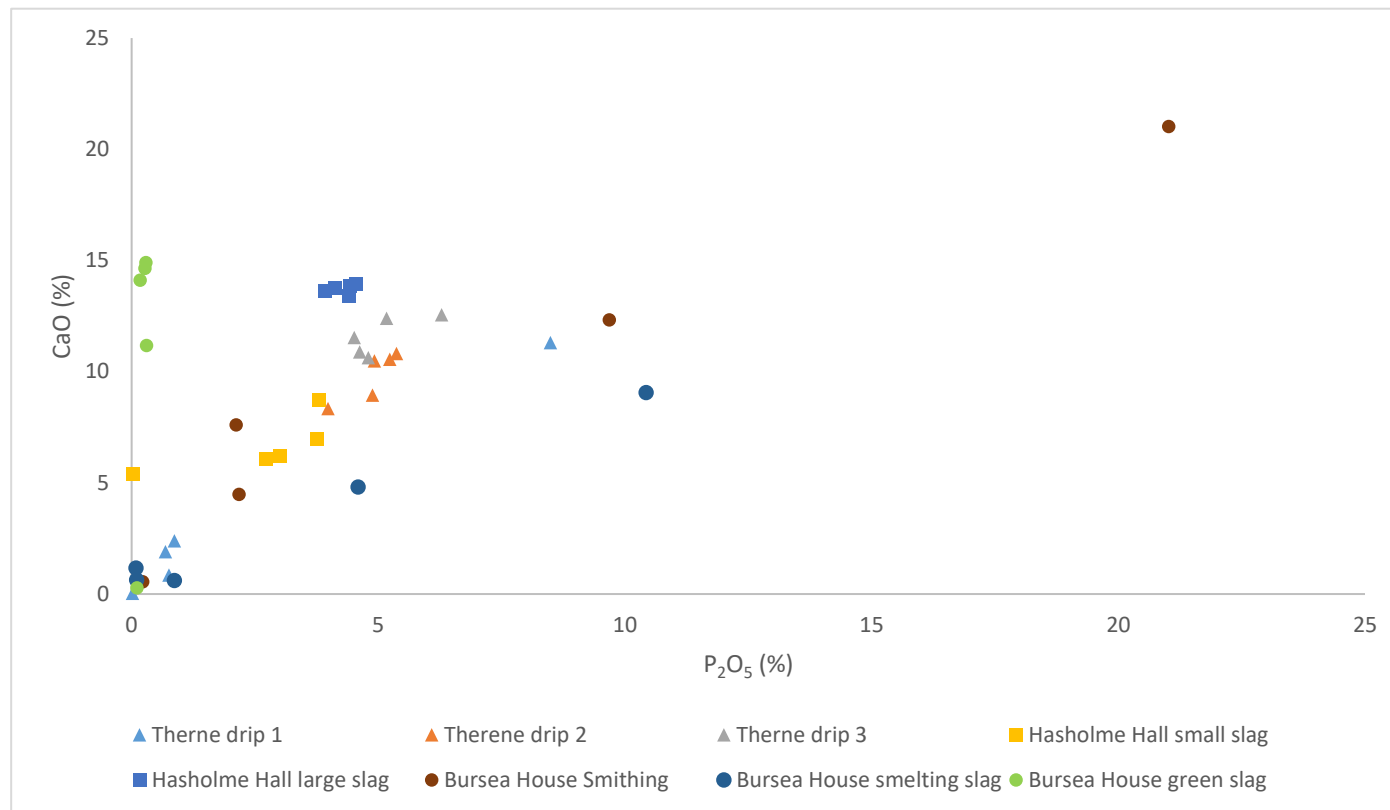






	P2O5	CaO
Thearne d1 matrix 1	0.682	1.91
Thearne d1 matrix 2	0.014	0.034
Thearne d1 matrix 3	0.866	2.39
Thearne d1 matrix 4	0.757	0.858
Thearne d1 matrix 5	8.49	11.31
Thearne d2 matrix 1	5.23	10.56
Thearne d2 matrix 2	5.37	10.81
Thearne d2 matrix 3	4.92	10.49
Thearne d2 matrix 4	3.98	8.34
Thearne d2 matrix 5	4.88	8.94
Thearne d3 matrix 1	6.28	12.56
Thearne d3 matrix 2	4.8	10.63
Thearne d3 matrix 3	4.62	10.88
Thearne d3 matrix 4	4.51	11.53
Thearne d3 matrix 5	5.17	12.4
Hasholme Hall small matrix 1	2.73	6.1
Hasholme Hall small matrix 2	3.75	6.97
Hasholme Hall small matrix 3	3.8	8.71
Hasholme Hall small matrix 4	0.023	5.39
Hasholme Hall small matrix 5	3.01	6.21
Hasholme Hall large matrix 1	4.4	13.41
Hasholme Hall large matrix 2	4.43	13.87
Hasholme Hall large matrix 3	4.55	13.96
Hasholme Hall large matrix 4	3.93	13.61
Hasholme Hall large matrix 5	4.12	13.75
Bursea house smith matrix 1	9.68	12.33
Bursea house smith matrix 2	2.178	4.48
Bursea house smith matrix 3	2.118	7.61
Bursea house smith matrix 4	21.02	21.02
Bursea house smith matrix 5	0.227	0.548
Bursea House smelt matrix 1	4.59	4.81
Bursea House smelt matrix 2	0.864	0.61

Bursea House smelt matrix 3	0.102	0.639
Bursea House smelt matrix 4	10.43	9.06
Bursea House smelt matrix 5	0.085	1.17
Bursea House green matrix 1	0.301	11.17
Bursea House green matrix 2	0.271	14.64
Bursea House green matrix 3	0.286	14.9
Bursea House green matrix 4	0.171	14.11
Bursea House green matrix 1	0.105	0.281



Element	Na2O	FeO	K2O	Cr2O3	SiO2	P2O5	TiO2	MnO	Al2O3
1 CRT09-2008 Lath near large prill1	BDL	65.21	0.06	BDL	29.25	0.099	BDL	0.134	BDL
2 CRT09-2008 Lath near large prill2	0.057	64.84	0.06	0.002	28.83	0.192	BDL	0.137	BDL
3 CRT09-2008 Lath near large prill3	BDL	64.17	0.195	BDL	29.28	0.135	0.05	0.13	0.144
4 CRT09-2008 Lath near large prill4	BDL	64.32	0.053	BDL	29.49	0.056	BDL	0.135	BDL
5 CRT09-2008 Lath near large prill5	BDL	64.38	0.068	0.006	29.46	0.073	BDL	0.135	0.024
6 CRT09-2008 Intlath material nr lrg pr	0.87	14.98	6.24	0.007	61.59	0.394	0.324	0.035	7.94
7 CRT09-2008 Intlath material nr lrg pr	0.473	43.41	3.28	BDL	41.29	0.177	0.116	0.075	4.54
8 CRT09-2008 Intlath material nr lrg pr	0.602	40.28	3.98	BDL	44.1	0.176	0.11	0.071	5.01
9 CRT09-2008 Intlath material nr lrg pr	0.874	11.82	7.22	0.004	63.55	0.234	0.259	0.023	9.66
10 CRT09-2008 Intlath material nr lrg pr	0.786	35.86	4.62	0.002	52.62	0.101	0.099	0.075	BDL
11 CRT09-2008 Large grain/lath1	BDL	65.7	0.032	0.007	28.94	0.027	BDL	0.094	BDL
12 CRT09-2008 Large grain/lath 2	BDL	64.75	0.083	BDL	28.72	0.018	BDL	0.096	BDL
13 CRT09-2008 Large grain/lath3	BDL	65.71	0.065	0.012	28.66	0.033	BDL	0.102	BDL
14 CRT09-2008 Large grain/lath4	BDL	65.16	0.05	0.012	28.75	0.018	BDL	0.098	BDL
15 CRT09-2008 Large grain/lath5	BDL	65.05	0.041	BDL	29.01	0.012	BDL	0.097	BDL
16 CRT09-2008 Inter grain/lath mid-densi	0.97	19.36	4.77	0.01	49.74	0.816	0.818	0.016	8.26
17 CRT09-2008 Inter grain/lath mid-densi	0.713	22.5	3.59	0.004	46.23	0.988	0.89	0.023	6.37
18 CRT09-2008 Inter grain/lath mid-densi	0.838	21.46	4.77	BDL	47.73	0.87	0.893	0.025	7.36
19 CRT09-2008 Inter grain/lath mid-densi	0.776	22.59	4.8	BDL	47.24	0.928	0.794	0.024	6.95
20 CRT09-2008 Inter grain/lath mid-densi	0.88	29.67	5.1	0.006	44.44	0.483	0.322	0.041	7.51
21 CRT09-2008 Matrix1	0.836	20.95	7.08	0.01	50.25	0.195	0.275	0.024	9.25
22 CRT09-2008 Matrix2	1.107	13.14	7.67	BDL	57.27	0.367	0.449	0.014	11.75
23 CRT09-2008 Matrix3	1.049	14.88	7.54	0.008	56.75	0.34	0.419	0.012	11.38
24 CRT09-2008 Matrix4	0.989	31.55	5.19	0.003	47.91	0.344	0.3	0.036	8.15
25 CRT09-2008 Matrix5	1.16	14.99	7.82	0.009	56.66	0.268	0.386	0.015	11.65
26 CRT09-2008 Lath nr second prill1	BDL	65.21	0.036	0.003	29.05	0.058	BDL	0.129	BDL
27 CRT09-2008 Lath nr second prill2	BDL	65.13	0.036	0.003	29.12	0.059	BDL	0.126	BDL
28 CRT09-2008 Lath nr second prill3	BDL	65.48	0.037	BDL	29.1	0.054	BDL	0.133	BDL
29 CRT09-2008 Lath nr second prill4	BDL	65.13	0.054	BDL	29.38	0.038	BDL	0.135	BDL
30 CRT09-2008 Lath nr second prill5	0.233	54.26	1.69	BDL	34.09	0.081	BDL	0.116	1.877
31 CRT09-2008 Matrix nr second prill1	0.864	14.61	6.19	0.005	60.29	0.34	0.401	0.023	8.87
32 CRT09-2008 Matrix nr second prill2	0.842	15.42	6.7	0.007	56.27	0.288	0.355	0.033	8.75

33	CRT09-2008 Matrix nr second prill3	0.919	14.07	6.82	BDL	0.003	60.03	0.217	0.349	0.016	8.54
34	CRT09-2008 Matrix nr second prill4	0.433	19.24	3.56	0.003	51.77	0.571	0.767	BDL		6.1
35	CRT09-2008 Matrix nr second prill5	0.347	22.12	2.87	0.008	51.35	0.564	0.791	0.017		5.57
1	CRT09-09a blk fuel inc1.1	BDL	1.4	0.96	0.029	51.05	0.046	3.7	BDL		39.59
2	CRT09-09a blk fuel inc1.2	0.134	1.209	1.27	0.034	50.44	0.109	0.942	BDL		39.13
3	CRT09-09a blk fuel inc1.3	0.064	1.36	1.026	0.039	53.71	0.078	0.965	BDL		39.49
4	CRT09-09a blk fuel inc1.4	0.075	1.77	1.5	0.035	51.12	0.083	0.783	0.013		37.93
5	CRT09-09a blk fuel inc1.5	BDL	1.37	1.145	0.023	53.39	BDL	0.793	BDL		38.47
6	CRT09-09a low density near fuel inc1.1	BDL	BDL	BDL	BDL		97.25	BDL	BDL	BDL	BDL
7	CRT09-09a low density near fuel inc1.2	BDL		0.029	BDL	BDL	97.38	BDL	BDL	BDL	BDL
8	CRT09-09a low density near fuel inc1.3	BDL		0.027	BDL	BDL	97.53	BDL	BDL	BDL	BDL
9	CRT09-09a low density near fuel inc1.4	BDL		0.055	BDL	BDL	97.14	BDL	BDL	BDL	BDL
10	CRT09-09a low density near fuel inc1.5	BDL		0.02	BDL	BDL	97.91	BDL	BDL	BDL	BDL
11	CRT09-09a Glassy matrix1.1	2.16	1.38	0.819	BDL		47.24	0.041	0.027	BDL	32.28
12	CRT09-09a Glassy matrix1.2	2.16	1.34	0.794	BDL		47.28	0.035	0.036	BDL	32.35
13	CRT09-09a Glassy matrix1.3	1.223	0.817	0.403	BDL		44.89	0.045	0.055	0.01	34.9
14	CRT09-09a Glassy matrix1.4	2.71	1.3	1.39	0.005	50.45	0.037	0.026	BDL		30.83
15	CRT09-09a Glassy matrix1.5	2.11	1.202	0.718	0.007	47.82	0.023	0.034	BDL		32.73
16	CRT09-09a Potential Fylt with dend1.1	1.26	23.69	2.5	0.002	46.36	0.355	0.542	0.107		17.26
17	CRT09-09a Potential Fylt with dend1.2	0.577	24.39	3.58	BDL		46.6	0.389	0.606	0.105	16.47
18	CRT09-09a Potential Fylt with dend1.3	1.255	24.39	2.57	BDL		45.54	0.316	0.615	0.106	17.69
19	CRT09-09a Potential Fylt with dend1.4	0.671	17.97	2.99	0.003	50.11	0.367	0.62	0.107		18.53
20	CRT09-09a Potential Fylt with dend1.5	0.612	24.34	3.29	BDL		47.77	0.443	0.901	0.122	15.56
21	CRT09-09a Cored feature high dens1.1	BDL	65.38	0.081	0.06	1.685	BDL	1.282	0.07		25.85
22	CRT09-09a Cored feature high dens1.2	BDL	63.47	0.048	0.073	0.4	BDL	1.569	0.065		32.16
23	CRT09-09a Cored feature high dens1.3	BDL	56.05	0.058	0.1	1.022	BDL	1.73	0.071		39.41
24	CRT09-09a Cored feature high dens1.4	BDL	50.8	0.081	0.086	0.973	0.016	1.056	0.075		44.07
25	CRT09-09a Cored feature high dens1.5	BDL	63.91	0.032	0.07	0.312	BDL	1.279	0.067		29.26
26	CRT09-09a Cored feature low dens1.1	0.356	39.98	2.27	0.003	25.41	0.144	2.02	0.061		22.41
27	CRT09-09a Cored feature low dens1.2	BDL	43.35	0.111	0.121	1.824	0.01	0.533	0.07		52.33
28	CRT09-09a Cored feature low dens1.3	0.273	34.09	2.02	0.041	21.47	0.118	0.723	0.065		33.48
29	CRT09-09a Cored feature low dens1.4	BDL	63.08	0.045	0.082	0.928	BDL	1.81	0.062		29.95
30	CRT09-09a Cored feature low dens1.5	BDL	43.5	0.611	0.026	9.25	0.041	1.013	0.064		42.27

31	CRT09-09a Dendrite 1.1		0.52	30.16	2.75	BDL	38.18	0.286	1.532	0.091	19.17
32	CRT09-09a Dendrite 1.2		BDL	34.01	2.46	BDL	35.07	0.233	1.652	0.075	23.97
33	CRT09-09a Dendrite 1.3		0.44	52.16	1.47	BDL	22.42	0.204	3.38	0.083	18.04
34	CRT09-09a Dendrite 1.4		0.663	27.41	3.25	BDL	43.48	0.506	1.246	0.108	15.31
35	CRT09-09a Dendrite 1.5		0.643	33.72	2.66	0.009	30.56	0.207	1.469	0.076	21.39
36	CRT09-1137.Q6 Fayalite grains 1.1		BDL	66.83	0.014	BDL	29.98	0.071	BDL	0.083	BDL
37	CRT09-1137.Q6 Fayalite grains 1.2		BDL	66.65	0.023	0.009	29.54	0.07	BDL	0.088	BDL
38	CRT09-1137.Q6 Fayalite grains 1.3		BDL	66.92	0.015	BDL	29.21	0.166	BDL	0.076	BDL
39	CRT09-1137.Q6 Fayalite grains 1.4		BDL	66.74	0.014	BDL	29.4	0.146	BDL	0.084	0.033
40	CRT09-1137.Q6 Fayalite grains 1.5		BDL	66.63	0.012	0.003	29.8	0.106	BDL	0.082	BDL
41	CRT09-1137.Q6 Glassy matrix 1.1		1.264	12.04	11.94	BDL	38.65	5.25	0.047	BDL	19.12
42	CRT09-1137.Q6 Glassy matrix 1.2		1.38	2.83	14.25	BDL	48.2	5.49	BDL	BDL	22.77
43	CRT09-1137.Q6 Glassy matrix 1.3		3.56	11.2	10.24	BDL	38.42	5.32	0.076	BDL	22.19
44	CRT09-1137.Q6 Glassy matrix 1.4		1.65	10.68	10.43	0.02	39.2	5.92	0.069	BDL	20.83
45	CRT09-1137.Q6 Glassy matrix 1.5		4.06	13.22	11.05	0.002	42.73	2.74	0.051	BDL	24.92
46	CRT09-1137.Q6 Dendrite 1.1		0.06	92.33	0.03	BDL	0.443	0.015	0.125	BDL	0.785
47	CRT09-1137.Q6 Dendrite 1.2		BDL	92.61	0.034	BDL	0.524	BDL	0.144	BDL	0.715
48	CRT09-1137.Q6 Dendrite 1.3		BDL	92.93	0.024	BDL	0.538	BDL	0.108	0.024	0.715
49	CRT09-1137.Q6 Dendrite 1.4		0.049	92.59	0.027	BDL	0.524	0.015	0.105	0.015	1.092
50	CRT09-1137.Q6 Dendrite 1.5		0.049	92.61	0.022	BDL	0.542	BDL	0.056	0.013	0.891
51	CRT09-1137.Q6 Adhering mineral 1.1		BDL	0.321	BDL	BDL	96.37	0.036	BDL	BDL	0.129
52	CRT09-1137.Q6 Adhering mineral 1.2		0.802	7.42	4.25	BDL	62.53	BDL	0.081	0.049	20.07
53	CRT09-1137.Q6 Adhering mineral 1.3		BDL	0.028	BDL	BDL	97.83	0.014	BDL	BDL	BDL
54	CRT09-1137.Q6 Adhering mineral 1.1		1.113	4.85	5.02	0.002	63.35	0.012	BDL	0.021	20.93
55	CRT09-1137.Q6 Adhering mineral 1.5		BDL	BDL	BDL	BDL	97.89	BDL	BDL	BDL	BDL
56	CRT09-06 Possible oxidised Fe 1.1		0.061	83.71	0.022	BDL	0.992	BDL	0.221	BDL	1.825
57	CRT09-06 Possible oxidised Fe 1.2		BDL	83.23	0.056	0.003	1.4	BDL	0.079	0.016	1.098
58	CRT09-06 Possible oxidised Fe 1.3		0.064	83.66	0.053	BDL	1.381	BDL	0.077	0.023	1.101
59	CRT09-06 Possible oxidised Fe 1.4		BDL	78.27	0.021	0.043	0.89	0.023	1.75	0.009	5.6
60	CRT09-06 Possible oxidised Fe 1.5		BDL	84.89	0.034	0.004	1.383	BDL	BDL	BDL	BDL
61	CRT09-06 Glassy matrix 1.1		2.54	0.883	1.38	0.004	49.9	0.034	0.058	0.009	30.79
62	CRT09-06 Glassy matrix 1.1		2.6	1.23	1.95	BDL	50.22	0.023	0.054	0.013	29.73
63	CRT09-06 Glassy matrix 1.3		2.2	1.037	1.44	0.007	47.96	0.064	0.047	0.009	31.01

64 CRT09-06 Glassy matrix 1.4	2.17	1.01	1.26	BDL	48.5	0.04	0.046	0.009	31.5
65 CRT09-06 Glassy matrix 1.5	1.94	0.749	0.857	BDL	47.29	0.021	0.037	BDL	32.38
66 CRT09-06 Slag away frm glassy area 1.1	1.39	24.15	2.49	BDL	44.59	0.27	0.758	0.086	17.06
67 CRT09-06 Slag away frm glassy area 1.2	1.37	24.5	2.64	BDL	43.84	0.278	1.124	0.084	16.42
68 CRT09-06 Slag away frm glassy area 1.3	1.36	24.12	2.38	BDL	44.61	0.231	0.655	0.072	16.84
69 CRT09-06 Slag away frm glassy area 1.4	1.45	24.14	2.54	0.001	43.84	0.289	0.804	0.088	16.67
70 CRT09-06 Slag away frm glassy area 1.5	1.4	22.88	2.83	BDL	45.03	0.215	0.656	0.087	16.94
71 CRT09-06 Crystals in slag body 1.1	BDL	36.32	0.057	0.093	0.053	BDL	0.337	0.07	58.01
72 CRT09-06 Crystals in slag body 1.2	BDL	37.06	0.051	0.132	0.097	BDL	0.269	0.055	57.43
73 CRT09-06 Crystals in slag body 1.3	BDL	36.42	0.047	0.194	0.079	BDL	0.276	0.062	58.08
74 CRT09-06 Crystals in slag body 1.4	BDL	37.37	0.136	0.123	0.696	BDL	0.279	0.053	57.07
75 CRT09-06 Crystals in slag body 1.5	BDL	36.76	0.047	0.169	0.065	BDL	0.236	0.051	57.83
76 CRT09-1187 Metal rich 1.1	BDL	71.95	0.004	BDL	2.71	0.679	BDL	0.035	2.79
77 CRT09-1187 Metal rich 1.2	BDL	71.91	0.055	0.004	1.88	0.94	BDL	BDL	3.4
78 CRT09-1187 Metal rich 1.3	BDL	68.73	0.013	BDL	2.63	0.6	BDL	0.034	3.72
79 CRT09-1187 Metal rich 1.4	0.075	69.09	BDL	BDL	2.99	0.801	BDL	BDL	4.16
80 CRT09-1187 Metal rich 1.5	BDL	71.52	0.059	0.004	2.096	0.663	BDL	0.019	3.34
81 CRT09-1137Q13 Metal rich 1.1	0.045	69.76	0.015	0.018	0.877	1.043	BDL	0.05	5.42
82 CRT09-1137Q13 Metal rich 1.2	BDL	70.6	0.012	0.015	1.415	0.524	BDL	0.023	1.94
83 CRT09-1137Q13 Metal rich 1.3	BDL	68.96	BDL	0.038	0.699	1.33	BDL	0.024	7.07
84 CRT09-1137Q13 Metal rich 1.4	BDL	68.05	0.015	0.023	0.778	1.026	BDL	0.018	6.88
85 CRT09-1137Q13 Metal rich 1.5	BDL	69.46	BDL	0.023	0.697	1.201	BDL	0.029	7
86 CRT09-1137Q13 Metal rich 1.6	BDL	71.39	0.014	0.024	1.542	0.532	BDL	0.022	2.16
87 CRT09-1137Q13 Metal rich 1.7	0.067	70.49	0.019	0.017	1.372	0.673	BDL	0.046	2.95
88 CRT09-1137Q13 Metal rich 1.8	BDL	71.07	0.018	0.019	1.331	0.565	BDL	0.013	2.22
89 CRT09-1137Q13 Metal rich 1.9	BDL	71.59	0.027	0.023	0.797	1.069	BDL	0.023	5.39
90 CRT09-1137Q13 Metal rich 1.10	0.064	70.29	0.021	0.059	1.21	0.627	0.065	0.02	2.71
91 CRT09-1187 Metal rich 1.6	0.267	56.54	0.728	0.006	20.53	0.313	BDL	0.013	9.65
92 CRT09-1187 Metal rich 1.7	BDL	70.71	0.037	BDL	2.37	0.552	BDL	BDL	3.59
93 CRT09-1187 Metal rich 1.8	BDL	70.66	0.018	0.001	2.86	0.593	BDL	BDL	1.097
94 CRT09-1187 Metal rich 1.9	BDL	70.63	0.032	0.003	3.59	0.269	BDL	BDL	1.125
95 CRT09-1187 Metal rich 1.10	BDL	70.73	0.013	0.003	2.35	0.359	BDL	0.016	1.337
1 CRT09-1198 1.1	BDL	0.046	BDL	BDL	95.76	BDL	BDL	BDL	0.113

2 CRT09-1198 1.2	BDL	BDL	BDL	BDL	95.75	0.012	BDL	BDL	0.046
3 CRT09-1198 1.3	BDL	0.091	BDL	BDL	96.38	BDL	BDL	BDL	0.108
4 CRT09-1198 higher density 1.1	0.044	70.96	0.02	BDL	2.29	0.614	BDL	0.601	0.403
5 CRT09-1198 higher density 1.2	BDL	68.89	0.013	BDL	1.639	0.947	BDL	2.32	1.283
6 CRT09-1198 higher density 1.1	BDL	69.91	0.015	BDL	1.618	0.9	BDL	2.02	1.265
7 CRT09-01unstrat.dendrite1.1	BDL	90.42	0.017	BDL	0.24	BDL	BDL	0.148	0.149
8 CRT09-01unstrat.dendrite1.2	BDL	90.31	0.016	0.002	0.22	0.033	BDL	0.254	0.099
9 CRT09-01unstrat.dendrite1.3	0.052	92.07	0.016	0.005	0.185	0.01	BDL	0.377	0.065
10 CRT09-01unstrat.dendrite1.4	BDL	92.44	0.01	0.004	0.232	0.02	BDL	0.356	0.055
11 CRT09-01unstrat.dendrite1.5	BDL	94.63	0.012	0.002	0.223	BDL	BDL	0.394	0.029
12 CRT09-01unstrat.fayalite1.1	BDL	61.32	0.015	0.007	29.36	0.185	BDL	0.972	BDL
13 CRT09-01unstrat.fayalite1.2	0.117	62.01	0.018	BDL	28.51	0.337	BDL	0.989	BDL
14 CRT09-01unstrat.fayalite1.3	BDL	61.41	0.022	0.005	29.19	0.189	BDL	0.973	BDL
15 CRT09-01unstrat.fayalite1.4	BDL	66.12	0.015	BDL	24.47	0.121	BDL	0.829	BDL
16 CRT09-01unstrat.fayalite1.5	BDL	62.32	0.012	0.002	28.42	0.09	BDL	0.981	BDL
17 CRT09-01unstrat.matrix1.1	0.654	5.74	1.66	BDL	0.219	28.03	BDL	0.127	BDL
18 CRT09-01unstrat.matrix1.2	0.857	5.44	1.86	BDL	0.204	26.87	BDL	0.123	BDL
19 CRT09-01unstrat.matrix1.3	0.715	8.01	1.84	BDL	0.267	26.43	BDL	0.122	BDL
20 CRT09-01unstrat.matrix1.4	0.872	11.03	0.859	0.008	0.192	25.12	BDL	0.117	BDL
21 CRT09-01unstrat.matrix1.5	1.018	11.09	1.119	0.002	0.246	26.61	BDL	0.112	BDL
22 CRT09-09b grey/black material 1.1	0.528	5.01	6.24	0.022	52.73	0.09	0.442	0.026	31.62
23 CRT09-09b grey/black material 1.2	0.505	3.1	5.84	0.012	52.79	0.064	0.52	0.028	33.25
24 CRT09-09b grey/black material 1.2	0.5	3.28	6.05	0.02	54.41	0.052	1.413	0.017	29.95
25 CRT09-09b grey/black material 1.4	0.465	4.02	5.86	0.019	53.97	0.076	1.396	0.032	30.01
26 CRT09-09b grey/black material 1.5	0.445	0.813	5	0.002	69.83	0.042	0.475	0.025	18.2
27 CRT09-09b bright inclusion 1.1	BDL	0.185	0.036	0.002	35	BDL	BDL	BDL	BDL
28 CRT09-09b bright inclusion 1.2	BDL	0.212	0.049	BDL	34.99	BDL	BDL	BDL	BDL
29 CRT09-09b bright inclusion 2.1	0.048	0.364	BDL	BDL	5.53	BDL	BDL	BDL	4.01
30 CRT09-09b crystals in white area 1.1	0.045	43.03	0.421	0.034	7.18	0.014	0.694	0.05	43.6
31 CRT09-09b crystals in white area 1.2	BDL	39.59	0.689	0.074	10.95	BDL	0.571	0.028	41.55
32 CRT09-09b crystals in white area 1.3	0.162	37.27	1.22	0.021	25.26	BDL	0.774	0.04	35.12
33 CRT09-09b crystals in white area 1.4	0.346	23.27	2.49	0.014	41.13	0.036	0.747	0.023	22.67
34 CRT09-09b crystals in white area 1.5	0.18	38.21	1.192	0.028	21.47	0.034	0.774	0.038	33.82

35	CRT09-1017 Blue colour 1.1	0.849	18.53	4.17	0.005	63.35	0.173	0.225	0.162	3.74
36	CRT09-1017 Blue colour 1.2	0.835	19.58	3.85	0.007	61.83	0.201	0.19	0.195	3.73
37	CRT09-1017 Blue colour 1.3	0.838	20.21	3.73	0.004	61.03	0.254	0.268	0.21	3.59
38	CRT09-1017 Blue colour 1.4	0.818	19.17	4	BDL	62.29	0.201	0.206	0.176	3.62
39	CRT09-1017 Blue colour 1.5	0.827	21.41	4.05	0.002	60.48	0.222	0.241	0.187	3.4
40	CRT09-1017 Fayalite laths 1.1	BDL	64.56	BDL	0.002	30.23	0.046	BDL	0.173	BDL
41	CRT09-1017 Fayalite laths 1.2	BDL	64.81	0.012	0.006	29.36	0.108	BDL	0.189	BDL
42	CRT09-1017 Fayalite laths 1.3	BDL	64.71	0.015	BDL	29.2	0.083	BDL	0.185	BDL
43	CRT09-1017 Fayalite laths 1.4	BDL	64.28	0.017	0.005	29.89	0.131	BDL	0.186	BDL
44	CRT09-1017 Fayalite laths 1.5	BDL	64.7	0.02	0.003	29.9	0.115	BDL	0.176	BDL
45	CRT09-1017 circular feature 1.1	BDL	60.35	0.119	BDL	23.1	0.468	BDL	0.029	0.266
46	CRT09-1017 circular feature 1.2	BDL	60.49	0.134	0.003	22.82	0.485	BDL	0.024	0.309
47	CRT09-1017 circular feature 1.3	0.149	64.17	0.112	0.004	11.69	0.099	0.035	0.034	BDL
48	CRT09-2004 oxidised metallic area 1.1	0.044	79.27	0.05	0.074	2.033	0.163	0.601	0.118	5.09
49	CRT09-2004 oxidised metallic area 1.2	BDL	79.14	0.11	0.059	1.778	0.17	0.353	0.108	5.68
50	CRT09-2004 blue colour 1.1	0.507	4.59	3.74	BDL	68.12	0.092	0.887	0.072	14.27
51	CRT09-2004 blue colour 1.2	0.451	4.71	3.86	0.009	69.43	0.088	0.618	0.065	13.89
52	CRT09-2004 blue colour 1.3	0.451	3.62	3.82	0.005	72.91	0.076	0.752	0.053	12.18
53	CRT09-2004 blue colour 1.4	0.452	3.03	3.39	BDL	77.12	0.054	0.577	0.047	10.61
54	CRT09-2004 blue colour 1.5	0.541	3.69	3.57	0.004	71.14	0.092	0.688	0.073	13.32
55	CRT09-2004 possible yellow colour 1.1	0.403	12.48	3.24	0.011	56.05	0.695	0.46	0.433	7.56
56	CRT09-2004 possible yellow colour 1.2	0.414	12.75	2.82	0.018	55.86	0.743	0.498	0.467	7.25
57	CRT09-2004 possible yellow colour 1.3	0.374	13.3	3.5	0.005	57.56	0.694	0.406	0.467	6.49
58	CRT09-2004 possible yellow colour 1.4	0.439	11.64	2.98	0.013	56.06	0.625	0.439	0.435	8.35
59	CRT09-2004 possible yellow colour 1.5	0.4	13.17	3.27	0.014	55.56	0.774	0.503	0.433	7.31
60	CRT09-2004 red colour 1.1	0.24	10.2	1.51	0.007	53.27	0.969	0.386	0.617	7.52
61	CRT09-2004 red colour 1.2	0.271	7.97	1.203	BDL	52.84	1.27	0.368	0.653	8.83
62	CRT09-2004 red colour 1.3	0.268	10.07	1.49	BDL	53.33	1.005	0.399	0.629	7.52
63	CRT09-2004 red colour 1.4	0.232	8.45	1.32	0.002	52.53	1.124	0.387	0.658	8.65
64	CRT09-2004 red colour 1.5	0.201	8.56	1.31	BDL	52.37	1.236	0.391	0.66	8.5
65	CRT09-2024 ceramic body 1.1	BDL	70.26	0.011	BDL	2.47	1.106	BDL	0.681	0.77
66	CRT09-2024 ceramic body 1.2	BDL	70.39	0.014	0.002	2.69	1.795	BDL	0.562	1.012
67	CRT09-2024 ceramic body 1.3	BDL	70.1	0.013	BDL	2.33	1.605	BDL	0.678	0.948

68 CRT09-2024 ceramic body 1.4	BDL	70.1	BDL	BDL	2.21	1.779	BDL	0.676	0.951
69 CRT09-2024 ceramic body 1.5	BDL	70.58	0.025	BDL	2.08	1.16	BDL	0.529	0.597
70 CRT09-2024 flint inclusion 1.1	BDL	0.119	0.02	BDL	94.18	0.023	BDL	BDL	0.037
71 CRT09-2024 flint inclusion 1.2	BDL	0.392	0.02	BDL	96.37	0.022	BDL	BDL	0.086
72 CRT09-2024 flint inclusion 1.3	BDL	0.029	0.02	BDL	92.45	0.019	BDL	BDL	0.04
73 CRT09-2024 flint inclusion 1.4	BDL	BDL	BDL	BDL	96.84	BDL	BDL	BDL	0.029
74 CRT09-2024 flint inclusion 1.5	BDL	0.797	0.026	BDL	95.95	0.039	BDL	0.01	0.157

<b>Ag<sub>2</sub>O</b>	<b>BaO</b>	<b>CoO</b>	<b>As<sub>2</sub>O<sub>5</sub></b>	<b>CuO</b>	<b>CaO</b>	<b>NiO</b>	<b>MgO</b>	<b>Cl</b>	<b>Sb<sub>2</sub>O<sub>5</sub></b>	<b>SnO<sub>2</sub></b>	<b>PbO</b>	<b>SO<sub>3</sub></b>	<b>ZnO</b>
BDL	BDL		0.09 BDL		0.033	0.553 BDL		0.548 BDL	BDL	BDL	BDL	0.041	0.013
BDL	BDL		0.098 BDL		0.029	0.982 BDL		0.536 BDL	BDL	BDL	BDL	0.023	0.025
BDL	BDL		0.095 BDL		0.008	0.849 BDL		0.457 BDL	BDL	BDL	BDL	0.013	0.012
BDL	BDL		0.101 0.072	0.022	0.697 BDL		0.392 BDL	BDL	BDL	BDL	BDL	BDL	BDL
BDL	BDL		0.105 0.03	0.024	0.683 BDL		0.431	0.008 BDL	BDL	BDL	BDL	0.024	BDL
BDL	BDL		0.013 BDL		0.027	6.02 BDL	BDL	BDL	BDL	BDL	BDL	0.104	0.015
BDL	BDL		0.064 BDL		0.031	1.63 BDL		0.22 BDL	BDL	BDL	BDL	0.03	0.016
BDL	BDL		0.063 BDL		0.039	2.02 BDL		0.163 BDL	BDL	BDL	BDL	0.055	0.018
BDL	BDL		0.025 BDL		0.036	3.93 BDL	BDL		0.006 BDL	BDL	BDL	0.064	BDL
BDL	BDL		0.053 BDL		0.052	1.97 BDL		0.22 BDL	BDL	BDL	BDL	0.042	BDL
BDL	BDL		0.106 BDL		0.023	0.758 BDL		0.295 BDL	BDL	BDL	BDL	BDL	BDL
BDL	BDL		0.107 BDL		0.034	1.018 BDL		0.229 BDL	BDL	BDL	BDL	0.027	0.018
BDL	BDL		0.107 BDL		0.001	0.745 BDL		0.338	0.006 BDL	BDL	BDL	0.025	0.018
BDL	BDL		0.107 0.058	0.036	1.082 BDL		0.257 BDL	BDL	BDL	BDL	BDL	BDL	0.017
BDL	BDL		0.094 BDL		0.029	1.257 BDL		0.217 BDL	BDL	BDL	BDL	BDL	0.015
BDL	0.052		0.032 BDL		0.038	12.95 BDL	BDL		0.01 BDL	BDL	BDL	0.269	BDL
BDL	0.117		0.025 BDL	BDL		15.26 BDL	BDL		0.01 BDL	BDL	BDL	0.34	BDL
BDL	0.063		0.037 BDL		0.046	12.99 BDL	BDL		0.008 BDL	BDL	BDL	0.314	0.021
BDL	0.052		0.039 BDL		0.024	12.96 BDL	BDL	BDL	BDL	BDL	BDL	0.332	0.012
BDL	0.008		0.037 BDL		0.036	6.89 BDL		0.036 BDL	BDL	BDL	BDL	0.108	BDL
BDL	0.009		0.036 BDL		0.022	4.98 BDL	BDL		0.007 BDL	BDL	BDL	0.064	0.012
BDL	0.059		0.026 BDL		0.027	6.21 BDL	BDL		0.009 BDL	BDL	BDL	0.109	BDL
BDL	0.049		0.025 BDL		0.014	6.48 BDL	BDL	BDL	BDL	BDL	BDL	0.136	BDL
BDL	BDL		0.045 BDL		0.019	5.02 BDL		0.037	0.013 BDL	BDL	BDL	0.091	0.022
BDL	BDL		0.024 BDL		0.032	5.59 BDL	BDL	BDL	BDL	BDL	BDL	0.08	0.016
BDL	BDL		0.101 BDL		0.032	0.533 BDL		0.572 BDL	BDL	BDL		0.037 BDL	0.021
BDL	BDL		0.101 BDL		0.022	0.399 BDL		0.685 BDL		0.039 BDL	BDL		0.014 BDL
BDL	BDL		0.101 BDL		0.024	0.53 BDL		0.551 BDL	BDL	BDL	BDL	BDL	BDL
BDL	BDL		0.093 0.044	0.032	0.64 BDL		0.562	0.006 BDL	BDL	BDL	BDL	BDL	0.02
BDL	BDL		0.083 BDL		0.033	1.86 BDL		0.25 BDL	BDL	BDL	BDL	0.03	0.021
BDL	0.085		0.033 BDL		0.031	6.68 BDL	BDL	BDL	BDL	BDL	BDL	0.129	BDL
BDL	0.06		0.018 BDL		0.025	5.23 BDL	BDL		0.007 BDL	BDL	BDL	0.091	0.013

BDL	BDL	0.02 BDL	0.032	5.8 BDL	BDL	0.011 BDL	BDL	BDL	0.086 BDL
BDL	BDL	0.028 BDL	0.04	3.65 BDL	0.013 BDL	BDL	BDL	BDL	0.06 0.021
BDL	0.029	0.049 BDL	0.033	4.2 BDL	0.014 BDL	BDL	BDL	BDL	0.094 BDL
BDL	BDL	BDL BDL	0.055	0.026 BDL	0.533	0.007 BDL	BDL	BDL	0.182 BDL
BDL	0.255	0.012 BDL	0.093	0.203	0.011	0.969	0.009 BDL	BDL	BDL 0.419 BDL
BDL	0.219	BDL BDL	0.065	0.137	0.01	1.156	0.009 BDL	BDL	BDL 0.146 BDL
BDL	0.04	BDL BDL	0.069	0.125 BDL		1.153	0.006 BDL	BDL	BDL 0.217 0.022
BDL	BDL	BDL BDL	0.069	0.1 BDL	BDL	0.009 BDL	BDL	BDL	0.148 BDL
BDL	BDL	BDL BDL	0.049	BDL BDL	BDL	0.007 BDL	BDL	BDL	BDL BDL
BDL	BDL	BDL BDL	0.059	BDL BDL	BDL	0.006 BDL	BDL	BDL	0.049 BDL
BDL	BDL	BDL BDL	0.078	BDL BDL	BDL	0.008 BDL	BDL	BDL	BDL 0.019
BDL	BDL	BDL BDL	0.046	BDL BDL	BDL	0.018 BDL	BDL	BDL	0.025 BDL
BDL	BDL	BDL BDL	0.052	BDL BDL	0.013	BDL	0.008 BDL	BDL	BDL BDL 0.013
BDL	BDL	BDL BDL	0.066	14.71	BDL	0.043	0.007 BDL	BDL	BDL 0.013 BDL
BDL	0.06	BDL BDL	0.06	14.8	BDL	0.031	0.007 BDL	BDL	BDL 0.02 0.014
BDL	BDL	BDL BDL	0.049	17.08	BDL	0.044	BDL BDL	BDL	BDL BDL
BDL	0.134	BDL BDL	0.056	13.18	BDL	BDL	0.007 BDL	BDL	BDL 0.032 BDL
BDL	0.045	BDL BDL	0.036	15.08	BDL	0.041	0.011 BDL	BDL	BDL 0.023 BDL
BDL	0.042	0.038 BDL	0.08	5.55	BDL	1.88	BDL BDL	BDL	BDL 0.316 BDL
BDL	0.074	0.045 BDL	0.071	3.65	BDL	1.656	BDL BDL	BDL	BDL 0.365 BDL
BDL	0.025	0.038 BDL	0.097	5.26	BDL	1.71	BDL BDL	BDL	BDL 0.363 0.016
BDL	0.104	0.032 BDL	0.054	5.59	BDL	1.419	0.01 BDL	BDL	BDL 0.326 0.013
BDL	0.077	0.046 BDL	0.077	3.84	BDL	2.12	0.004 BDL	BDL	BDL 0.462 0.028
BDL	BDL	0.121 0.04	0.089	0.235	0.102	1.79	0.007 BDL	BDL	BDL 0.019 BDL
BDL	BDL	0.123 BDL	0.071	0.093	0.115	2.01	0.009 BDL	BDL	BDL 0.02 BDL
BDL	BDL	0.109 BDL	0.073	0.239	0.133	2.34	0.008 BDL	BDL	BDL BDL BDL
BDL	BDL	0.099 BDL	0.078	0.169	0.153	3.05	BDL BDL	BDL	BDL BDL 0.022
BDL	BDL	0.119 0.078	0.051	0.075	0.116	1.94	0.008 BDL	BDL	BDL BDL 0.043
BDL	0.069	0.075 BDL	0.073	1.57	0.025	1.452	0.008 BDL	BDL	BDL 0.103 0.022
BDL	BDL	0.091 BDL	0.065	0.167	0.166	4.16	0.009 BDL	BDL	BDL BDL BDL
BDL	BDL	0.081 BDL	0.066	1.001	0.056	2.46	BDL BDL	BDL	BDL 0.058 BDL
BDL	BDL	0.113 BDL	0.056	0.218	0.103	1.75	BDL BDL	BDL	BDL 0.015 0.017
0.015	BDL	0.086 BDL	0.057	0.483	0.075	3.23	0.011 BDL	BDL	BDL 0.045 0.027

BDL	0.076	0.055 BDL	0.078	3 BDL	1.302	0.006 BDL	BDL	BDL	0.212	0.028
BDL	BDL	0.055 BDL	0.054	2.68 BDL	1.78 BDL	BDL	BDL	BDL	0.213	BDL
BDL	BDL	0.099 BDL	0.064	1.47 BDL	1.439 BDL	BDL	BDL	0.035	0.092	0.016
BDL	0.081	0.052 BDL	0.111	3.5 BDL	1.73	0.008 BDL	BDL	BDL	0.343	BDL
BDL	BDL	0.065 BDL	0.062	1.69 BDL	1.422	0.009 BDL	BDL	BDL	0.136	BDL
BDL	BDL	0.115 BDL	0.039	0.124 BDL	0.617 BDL	BDL	BDL	0.044	BDL	BDL
BDL	BDL	0.117 BDL	0.049	0.143 BDL	0.47 BDL	BDL	BDL	0.047	BDL	BDL
BDL	BDL	0.111 BDL	0.029	0.17 BDL	0.258 BDL	BDL	BDL	0.041	0.031	0.017
BDL	BDL	0.111 BDL	0.043	0.159 BDL	0.407 BDL	BDL	BDL	0.034	BDL	BDL
BDL	BDL	0.11	0.034	0.044	0.126 BDL	0.602 BDL	BDL	BDL	0.047	BDL
BDL	BDL	0.013 BDL		0.051	8.44 BDL	BDL	0.006 BDL	BDL	BDL	0.045 BDL
BDL	0.106	BDL	BDL	0.539	7.66 BDL	BDL	0.006 BDL	BDL	BDL	0.044 BDL
BDL	0.215	0.015 BDL		0.078	7.95 BDL	BDL	0.007 BDL	BDL	BDL	0.351 BDL
BDL	0.164	0.023 BDL		0.071	10.48 BDL	BDL	BDL	BDL	BDL	0.137 BDL
BDL	0.181	0.011 BDL		0.068	3.96 BDL	BDL	0.006 BDL	BDL	BDL	0.225 BDL
BDL	BDL	0.158	0.152	0.031	0.015 BDL	BDL	BDL	BDL	BDL	0.016
BDL	BDL	0.158	0.048	0.038 BDL	BDL	BDL	BDL	BDL	BDL	0.022 BDL
BDL	BDL	0.165	0.09	0.067	0.014 BDL	BDL	BDL	BDL	0.036	BDL
BDL	BDL	0.14	BDL	0.048 BDL	BDL	BDL	BDL	BDL	BDL	0.019
BDL	BDL	0.15	0.067	0.04 BDL	BDL	BDL	BDL	BDL	BDL	0.014 BDL
BDL	BDL	BDL	BDL	0.053	0.016 BDL	BDL	0.006 BDL	BDL	BDL	0.025
BDL	0.094	BDL	BDL	0.031	0.837 BDL	1.389 BDL	BDL	BDL	0.041	BDL
BDL	BDL	BDL	BDL	0.051	BDL	BDL	BDL	0.014	BDL	BDL
BDL	BDL	BDL	BDL	0.154	0.97 BDL	0.453 BDL	BDL	BDL	BDL	BDL
BDL	BDL	BDL	BDL	0.049	BDL	BDL	BDL	BDL	BDL	0.015
BDL	BDL	0.14	BDL	0.041 BDL	BDL	BDL	BDL	BDL	BDL	0.019
BDL	BDL	0.142	0.125	0.043	0.022 BDL	BDL	0.007 BDL	BDL	0.05	0.04 BDL
BDL	BDL	0.132	0.065	0.031	0.033 BDL	BDL	0.007 BDL	BDL	BDL	BDL
BDL	BDL	0.133	BDL	0.054	0.022 BDL	BDL	BDL	BDL	0.066	BDL
BDL	BDL	0.143	BDL	0.06	0.056 BDL	BDL	0.009 BDL	BDL	0.044	0.15
BDL	BDL	BDL	BDL	0.026	13.48 BDL	0.05 BDL	BDL	BDL	0.014	BDL
BDL	0.041	BDL	BDL	0.01	12.74 BDL	0.067 BDL	BDL	BDL	BDL	BDL
BDL	0.047	BDL	BDL	0.029	14.25 BDL	0.056 BDL	BDL	BDL	BDL	BDL

BDL	BDL	BDL	BDL	0.012	14.38	BDL	0.065	BDL	BDL	BDL	0.041	0.019	
BDL	BDL	BDL	BDL	BDL	15.29	BDL	0.059	BDL	BDL	BDL	0.019	BDL	
BDL	BDL	0.052	BDL	0.063	6.86	BDL	1.404	BDL	BDL	BDL	0.462	BDL	
BDL	BDL	0.043	BDL	0.07	6.64	BDL	1.125	BDL	BDL	BDL	0.714	0.016	
BDL	BDL	0.035	BDL	0.026	6.93	BDL	1.389	BDL	BDL	BDL	0.47	BDL	
BDL	0.049	0.044	BDL	0.053	6.9	BDL	1.066	0.007	BDL	BDL	BDL	0.636	BDL
BDL	BDL	0.033	BDL	0.034	6.77	BDL	1.225	BDL	BDL	BDL	BDL	0.37	0.024
BDL	BDL	0.09	BDL	0.023	0.094	0.232	4.8	BDL	BDL	BDL	BDL	0.038	0.026
BDL	BDL	0.08	BDL	BDL	0.101	0.141	4.57	BDL	BDL	BDL	BDL	0.03	0.021
BDL	BDL	0.095	BDL	0.025	0.083	0.155	4.68	BDL	BDL	BDL	BDL	0.028	0.029
BDL	BDL	0.095	BDL	0.037	0.157	0.168	4.2	BDL	BDL	BDL	BDL	0.061	0.034
BDL	BDL	0.09	BDL	0.026	0.084	0.19	4.58	BDL	BDL	BDL	BDL	0.018	0.03
BDL	BDL	0.114	0.06	0.033	0.39	BDL	0.049	0.006	BDL	BDL	0.035	0.184	0.084
BDL	BDL	0.124	0.051	0.07	0.356	BDL	0.066	0.014	BDL	BDL	BDL	0.056	0.088
BDL	BDL	0.107	0.062	0.03	0.319	BDL	BDL	BDL	BDL	BDL	0.041	0.25	0.089
BDL	BDL	0.116	BDL	0.021	0.463	BDL	0.07	BDL	BDL	BDL	0.053	0.161	0.093
BDL	BDL	0.117	BDL	0.02	0.365	BDL	0.081	0.006	BDL	BDL	0.045	0.214	0.106
BDL	BDL	0.119	0.112	0.039	0.414	BDL	0.041	0.012	BDL	BDL	0.051	0.052	0.048
BDL	BDL	0.121	0.091	0.042	0.278	BDL	BDL	0.023	BDL	BDL	BDL	0.015	0.028
BDL	BDL	0.119	0.034	0.041	0.884	0.032	0.11	0.039	BDL	BDL	BDL	0.151	0.064
BDL	BDL	0.113	0.131	0.049	0.426	BDL	0.082	0.007	BDL	BDL	BDL	0.033	0.04
BDL	BDL	0.121	0.093	0.05	0.496	0.02	0.059	0.009	BDL	BDL	BDL	0.067	0.045
BDL	BDL	0.124	0.069	0.041	0.294	BDL	BDL	0.01	BDL	BDL	0.051	0.03	0.048
BDL	BDL	0.126	BDL	0.041	0.377	0.021	0.07	0.004	BDL	BDL	0.046	0.057	0.053
BDL	BDL	0.12	BDL	0.045	0.277	BDL	BDL	0.009	BDL	BDL	BDL	0.026	0.04
BDL	BDL	0.118	BDL	0.064	0.632	0.013	0.09	0.066	BDL	BDL	BDL	0.136	0.055
BDL	BDL	0.117	BDL	0.02	0.217	BDL	0.031	0.006	BDL	BDL	0.039	0.038	0.024
BDL	BDL	0.11	BDL	0.054	0.228	BDL	0.19	0.018	BDL	BDL	BDL	0.064	0.242
BDL	BDL	0.121	0.041	0.036	0.197	BDL	BDL	0.006	BDL	BDL	0.067	0.13	0.072
BDL	BDL	0.116	0.078	0.041	0.258	BDL	0.039	BDL	BDL	BDL	0.057	0.023	0.045
BDL	BDL	0.103	0.049	0.018	0.143	BDL	BDL	BDL	BDL	BDL	0.052	0.052	0.042
BDL	BDL	0.113	0.092	0.038	0.194	BDL	BDL	0.019	BDL	BDL	0.07	0.248	0.051
BDL	BDL	BDL	BDL	0.026	0.04	BDL	BDL	0.053	BDL	BDL	BDL	BDL	BDL

BDL	BDL	BDL	BDL	0.017	0.012	BDL	BDL	0.052	BDL	BDL	BDL	0.038	BDL
BDL	BDL	BDL	BDL	0.027	0.034	BDL	BDL	0.029	BDL	BDL	BDL	0.015	0.016
BDL	BDL	0.117	0.115	0.022	0.24	BDL	0.195	0.015	BDL	BDL	BDL	0.034	0.039
BDL	BDL	0.119	0.089	0.056	0.297	BDL	0.14	0.029	BDL	BDL	0.091	0.074	0.047
BDL	BDL	0.112	0.091	0.032	0.285	BDL	0.111	0.023	BDL	BDL	0.065	0.042	0.063
BDL	BDL	0.13	BDL	0.054	0.011	BDL	0.021	BDL	BDL	BDL	BDL	BDL	0.013
BDL	BDL	0.156	BDL	0.072	0.03	BDL	0.031	BDL	BDL	BDL	BDL	0.056	BDL
BDL	BDL	0.146	0.048	0.096	0.049	BDL	0.019	BDL	BDL	BDL	BDL	BDL	0.016
BDL	BDL	0.158	0.041	0.062	0.01	BDL	0.019	BDL	BDL	BDL	BDL	BDL	BDL
BDL	BDL	0.15	BDL	0.053	0.01	BDL	0.032	BDL	BDL	BDL	BDL	BDL	0.015
BDL	BDL	0.095	BDL	0.059	4.22	BDL	0.342	BDL	BDL	BDL	BDL	BDL	0.017
BDL	BDL	0.101	BDL	0.064	3.98	BDL	0.311	BDL	BDL	BDL	BDL	0.041	BDL
BDL	BDL	0.096	BDL	0.08	3.17	BDL	0.433	BDL	BDL	BDL	BDL	BDL	0.023
BDL	BDL	0.107	BDL	0.043	3.34	BDL	0.351	0.038	BDL	BDL	BDL	0.038	0.03
BDL	BDL	0.09	BDL	0.058	3.51	BDL	0.358	BDL	BDL	BDL	0.052	BDL	BDL
BDL	BDL	BDL	BDL	0.047	45.6	BDL	0.133	0.023	BDL	BDL	BDL	0.024	BDL
BDL	BDL	BDL	BDL	0.062	45.44	BDL	0.19	0.013	BDL	BDL	BDL	0.047	BDL
BDL	0.092	BDL	BDL	0.071	43.64	0.01	0.165	0.041	BDL	BDL	BDL	0.02	BDL
BDL	BDL	BDL	BDL	0.046	42.87	BDL	0.202	0.409	BDL	BDL	BDL	0.248	BDL
BDL	0.183	0.023	BDL	0.063	41.03	BDL	0.235	0.055	BDL	BDL	BDL	0.16	BDL
BDL	BDL	0.01	BDL	0.029	0.142	BDL	2.83	BDL	BDL	BDL	BDL	0.029	BDL
BDL	BDL	BDL	BDL	0.018	0.225	BDL	2.5	0.007	BDL	BDL	BDL	BDL	BDL
BDL	BDL	0.011	BDL	0.019	0.107	BDL	2.05	BDL	BDL	BDL	BDL	0.023	BDL
BDL	BDL	0.009	BDL	0.064	0.185	0.01	2.27	0.007	BDL	BDL	BDL	0.016	0.017
BDL	BDL	BDL	BDL	0.03	0.169	0.012	1.075	BDL	BDL	BDL	BDL	0.027	BDL
BDL	BDL	BDL	BDL	0.023	BDL	BDL	BDL	BDL	BDL	BDL	BDL	0.037	BDL
BDL	BDL	BDL	0.043	0.032	BDL	BDL	BDL	BDL	BDL	BDL	BDL	0.032	BDL
BDL	BDL	BDL	BDL	0.318	1.68	BDL	0.952	0.025	BDL	118.66	BDL	0.094	0.018
BDL	BDL	0.08	BDL	0.037	0.16	0.079	3.81	BDL	BDL	BDL	BDL	BDL	0.018
BDL	BDL	0.076	BDL	0.042	0.297	0.075	3.59	BDL	BDL	BDL	BDL	BDL	0.031
BDL	BDL	0.064	BDL	0.033	0.656	0.069	2.75	BDL	BDL	BDL	0.036	BDL	0.016
BDL	BDL	0.05	BDL	0.036	1.48	0.026	1.336	BDL	BDL	BDL	BDL	BDL	0.024
BDL	BDL	0.068	BDL	0.03	0.528	0.039	2.98	BDL	BDL	BDL	BDL	0.028	0.037

BDL	BDL	0.023 BDL	0.095	5.52 BDL	0.576	0.007 BDL	BDL	BDL	0.083	0.014
BDL	BDL	0.036 BDL	0.092	6.38 BDL	0.644 BDL	BDL	BDL	BDL	0.097 BDL	
BDL	BDL	0.037 BDL	0.098	6.54 BDL	0.684 BDL	BDL	BDL	BDL	0.091	0.015
BDL	BDL	0.029 BDL	0.086	5.94 BDL	0.636 BDL	BDL	BDL	BDL	0.069 BDL	
BDL	BDL	0.024 BDL	0.103	5.96 BDL	0.645 BDL	BDL	BDL	BDL	0.049 BDL	
BDL	BDL	0.096 0.029	0.072	1.07 BDL	1.271 BDL	BDL	BDL	BDL	BDL	BDL
BDL	BDL	0.112 BDL	0.078	1.024 BDL	1.451 BDL	BDL	BDL	BDL	BDL	BDL
BDL	BDL	0.104 0.032	0.078	1.04 BDL	1.391 BDL	BDL	BDL	BDL	BDL	0.026
BDL	BDL	0.1 BDL	0.063	1.064 BDL	1.579 BDL	BDL	BDL	0.046	0.032 BDL	
BDL	BDL	0.098 0.031	0.084	1.073 BDL	1.498 BDL	BDL	BDL	0.036	0.017	0.026
BDL	BDL	0.094 0.052	0.036	0.33 BDL	0.027 BDL	BDL	BDL	BDL	0.019	0.013
BDL	BDL	0.097 BDL	0.021	0.302 BDL	BDL	BDL	BDL	0.055	0.02	0.029
BDL	BDL	0.101 0.077	0.233	0.257 BDL	BDL	0.026 BDL	BDL	BDL	0.041	0.03
BDL	BDL	0.12 0.052	0.023	0.079 0.023	0.24 BDL	BDL	BDL	0.04 BDL		0.029
BDL	BDL	0.116 0.031	0.03	0.058 0.023	0.265 BDL	BDL	BDL	0.044 BDL		0.016
BDL	BDL	BDL BDL	0.031	2.29 BDL	1.405 BDL	BDL	BDL	BDL	BDL	0.019
BDL	BDL	0.01 BDL	0.066	2.09 BDL	1.275 BDL	BDL	BDL	BDL	BDL	0.023
BDL	BDL	BDL BDL	0.032	1.75 BDL	1.012 0.008 BDL	BDL	BDL	BDL	0.026 BDL	
BDL	BDL	BDL BDL	0.035	1.49 BDL	0.899 BDL	BDL	BDL	BDL	BDL	0.015 BDL
BDL	BDL	BDL BDL	0.039	2.06 0.016	1.175 BDL	BDL	BDL	BDL	BDL	0.021
BDL	0.072	0.03 BDL	0.037	13.25 0.012	1.76 BDL	BDL	BDL	BDL	BDL	BDL
BDL	0.063	0.019 BDL	0.066	13.49 BDL	1.67 0.008 BDL	BDL	BDL	BDL	0.063	0.013
BDL	BDL	0.024 BDL	0.02	11.96 0.016	1.76 BDL	BDL	BDL	BDL	BDL	0.012
BDL	0.051	0.015 BDL	0.04	13.25 BDL	1.479 BDL	BDL	BDL	BDL	BDL	BDL
BDL	0.057	0.028 BDL	0.045	12.84 0.015	1.77 BDL	BDL	BDL	BDL	0.019	0.023
BDL	0.045	0.026 BDL	0.038	18.08 0.011	2.62 BDL	BDL	BDL	BDL	0.013	0.013
BDL	0.074	0.016 BDL	0.038	18.87 BDL	2.91 BDL	BDL	BDL	BDL	BDL	0.023
BDL	0.085	0.03 BDL	0.05	18.2 0.023	2.7 BDL	BDL	BDL	BDL	0.021	0.02
BDL	0.116	0.025 BDL	0.056	18.9 0.018	2.95 BDL	BDL	BDL	BDL	0.017 BDL	
BDL	0.086	0.023 BDL	0.042	19.31 BDL	2.97 BDL	BDL	BDL	BDL	0.048	0.026
BDL	BDL	0.132 BDL	0.168	0.712 0.034	0.185 0.009 BDL	BDL	0.034	0.093	0.291	
BDL	BDL	0.124 0.093	0.107	1.127 0.016	0.18 BDL	BDL	BDL	0.036	0.031	0.242
BDL	BDL	0.115 0.043	0.101	1.041 0.025	0.218 BDL	BDL	BDL	BDL	0.054	0.264

BDL	BDL	0.115	0.059	0.116	1.142	0.023	0.229	0.009	BDL	BDL	BDL	0.065	0.251
BDL	BDL	0.137	0.063	0.135	0.644	0.04	0.092	0.006	BDL	BDL	0.055	0.041	0.319
BDL	BDL	BDL	BDL	0.087	0.019	BDL	BDL	0.008	BDL	BDL	BDL	BDL	0.026
BDL	BDL	BDL	BDL	0.076	0.035	0.01	BDL	BDL	BDL	BDL	BDL	0.037	0.017
BDL	BDL	BDL	BDL	0.08	0.029	0.011	BDL	BDL	BDL	BDL	BDL	BDL	BDL
BDL	BDL	BDL	BDL	0.094	BDL	BDL	BDL	BDL	BDL	BDL	BDL	0.015	0.018
BDL	BDL	BDL	BDL	0.093	0.058	BDL	BDL	BDL	BDL	BDL	BDL	0.032	0.018

V2O3	Total
-----	96.06
-----	95.82
-----	95.59
-----	95.38
-----	95.527
-----	98.588
-----	95.353
-----	96.713
-----	97.705
-----	102.972
-----	96.004
-----	95.133
-----	95.861
-----	95.663
-----	95.873
-----	98.145
-----	97.082
-----	97.442
-----	97.524
-----	95.59
-----	94.014
-----	98.215
-----	99.108
-----	99.722
-----	98.734
-----	95.815
-----	95.779
-----	96.037
-----	96.192
-----	94.697
-----	98.57
-----	94.132

-----	96.912
-----	86.274
-----	88.066
0.11	97.743
0.057	95.32
0.079	98.557
0.058	95.008
0.068	96.743
BDL	97.354
BDL	97.548
BDL	97.684
BDL	97.301
BDL	98.031
BDL	98.827
BDL	98.994
BDL	99.557
BDL	100.197
BDL	99.897
BDL	99.995
0.036	98.668
BDL	100.006
BDL	98.949
0.03	99.741
0.21	97.086
0.309	100.613
0.396	101.785
0.433	101.234
0.268	97.667
0.155	96.239
0.468	103.544
0.246	96.259
0.253	98.541
0.326	101.203

0.049	97.495
0.088	102.788
0.188	101.603
0.056	97.903
0.186	94.347
0.019	97.975
BDL	97.26
BDL	97.095
0.022	97.218
BDL	97.626
BDL	96.999
BDL	103.344
BDL	99.648
BDL	99.701
BDL	103.26
BDL	94.191
BDL	94.327
BDL	94.731
0.034	94.731
BDL	94.476
BDL	97.024
BDL	97.607
BDL	97.966
BDL	96.911
BDL	97.955
0.038	87.117
BDL	86.353
BDL	86.65
1.047	87.996
BDL	86.833
BDL	99.231
BDL	98.704
BDL	98.195

0.02	99.078
BDL	98.667
BDL	99.645
BDL	98.89
BDL	99.161
BDL	98.603
0.023	98.564
0.811	101.135
0.729	100.816
0.8	101.121
0.674	101.187
0.742	100.943
BDL	79.16
0.02	79.06
BDL	76.632
BDL	78.147
BDL	78.676
0.038	78.165
BDL	75.17
0.072	79.729
0.102	77.805
0.052	79.453
0.027	76.41
0.026	76.452
0.025	75.812
0.021	80.174
0.061	75.636
0.026	89.008
0.021	77.954
0.03	75.931
BDL	76.12
BDL	75.645
BDL	-----
	96.07

BDL	-----	95.959
BDL	-----	96.702
0.027	-----	75.778
BDL	-----	76.079
BDL	-----	76.638
0.022	-----	91.264
BDL	-----	91.344
BDL	-----	93.183
BDL	-----	93.452
BDL	-----	95.561
BDL	-----	96.599
BDL	-----	96.513
BDL	-----	95.637
BDL	-----	95.566
BDL	-----	95.897
BDL	-----	82.29
0.016	-----	81.175
BDL	-----	81.432
BDL	-----	82.019
BDL	-----	81.957
0.018	-----	99.795
0.022	-----	98.924
BDL	-----	97.927
0.036	-----	98.488
BDL	-----	96.191
0.021	-----	35.353
BDL	-----	35.398
BDL	-----	131.698
0.223	-----	99.486
0.209	-----	97.823
0.154	-----	103.673
0.106	-----	93.815
0.226	-----	99.689

BDL	-----	97.535
BDL	-----	97.73
BDL	-----	97.608
BDL	-----	97.28
BDL	-----	97.614
BDL	-----	97.602
BDL	-----	97.179
BDL	-----	96.925
BDL	-----	97.404
BDL	-----	97.811
BDL	-----	84.957
BDL	-----	84.85
BDL	-----	77.09
0.165	-----	88.213
0.126	-----	88.142
0.044	-----	96.097
BDL	-----	96.615
BDL	-----	96.748
BDL	-----	97.752
0.023	-----	96.474
BDL	-----	96.534
BDL	-----	96.226
BDL	-----	96.652
BDL	-----	95.835
0.018	-----	96.261
BDL	-----	95.609
BDL	-----	95.363
0.02	-----	95.863
0.03	-----	95.48
BDL	-----	95.759
BDL	-----	76.988
BDL	-----	78.43
BDL	-----	77.58

BDL	-----	77.759
BDL	-----	76.525
BDL	-----	94.533
BDL	-----	97.083
BDL	-----	92.704
BDL	-----	97.016
0.016	-----	97.207

FAYALITE FEO:SiO<sub>2</sub> plots

	<b>FeO</b>	<b>SiO<sub>2</sub></b>	<b>FeO:SiO<sub>2</sub></b>	<b>P<sub>2</sub>O<sub>5</sub></b>
CRT09-01unstrat.fayalite1.1	61.32	29.36	2.088556	0.185
CRT09-01unstrat.fayalite1.2	62.01	28.51	2.175026	0.337
CRT09-01unstrat.fayalite1.3	61.41	29.19	2.103803	0.189
CRT09-01unstrat.fayalite1.4	66.12	24.47	2.702084	0.121
CRT09-01unstrat.fayalite1.5	62.32	28.42	2.192822	0.09
CRT09-1017 Fayalite laths 1.1	64.56	30.23	2.135627	0.046
CRT09-1017 Fayalite laths 1.2	64.81	29.36	2.207425	0.108
CRT09-1017 Fayalite laths 1.3	64.71	29.2	2.216096	0.083
CRT09-1017 Fayalite laths 1.4	64.28	29.89	2.150552	0.131
CRT09-1017 Fayalite laths 1.5	64.7	29.9	2.16388	0.115
CRT09-1137.Q6 Fayalite grains 1.1	66.83	29.98	2.229153	0.071
CRT09-1137.Q6 Fayalite grains 1.2	66.65	29.54	2.256263	0.07
CRT09-1137.Q6 Fayalite grains 1.3	66.92	29.21	2.290996	0.166
CRT09-1137.Q6 Fayalite grains 1.4	66.74	29.4	2.270068	0.146
CRT09-1137.Q6 Fayalite grains 1.5	66.63	29.8	2.235906	0.106
CRT09-2008 Large grain/lath1	65.7	28.94	2.270214	0.027
CRT09-2008 Large grain/lath 2	64.75	28.72	2.254526	0.018
CRT09-2008 Large grain/lath3	65.71	28.66	2.292742	0.033
CRT09-2008 Large grain/lath4	65.16	28.75	2.266435	0.018
CRT09-2008 Large grain/lath5	65.05	29.01	2.24233	0.012

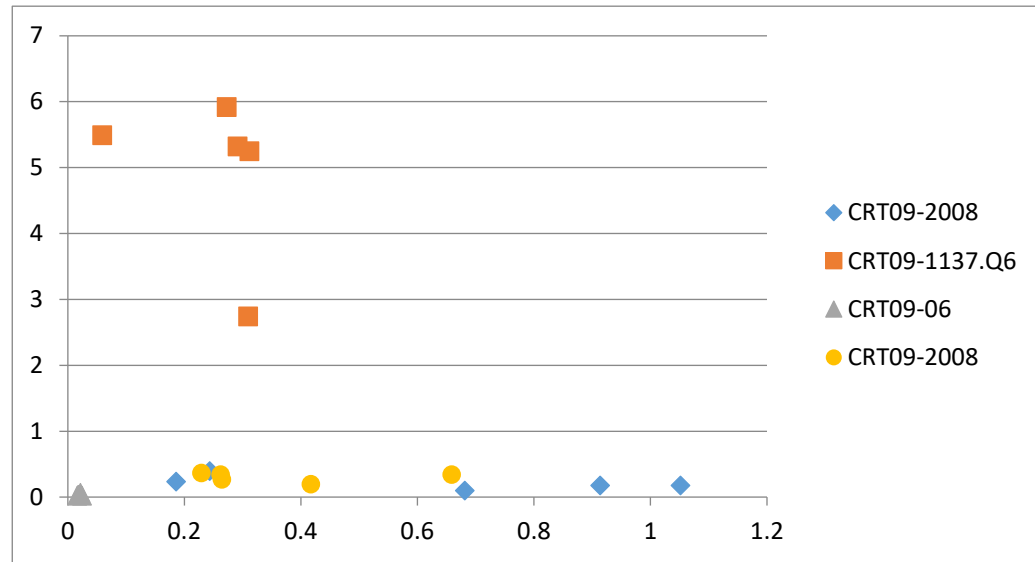
### FAYALITE RAW DATA

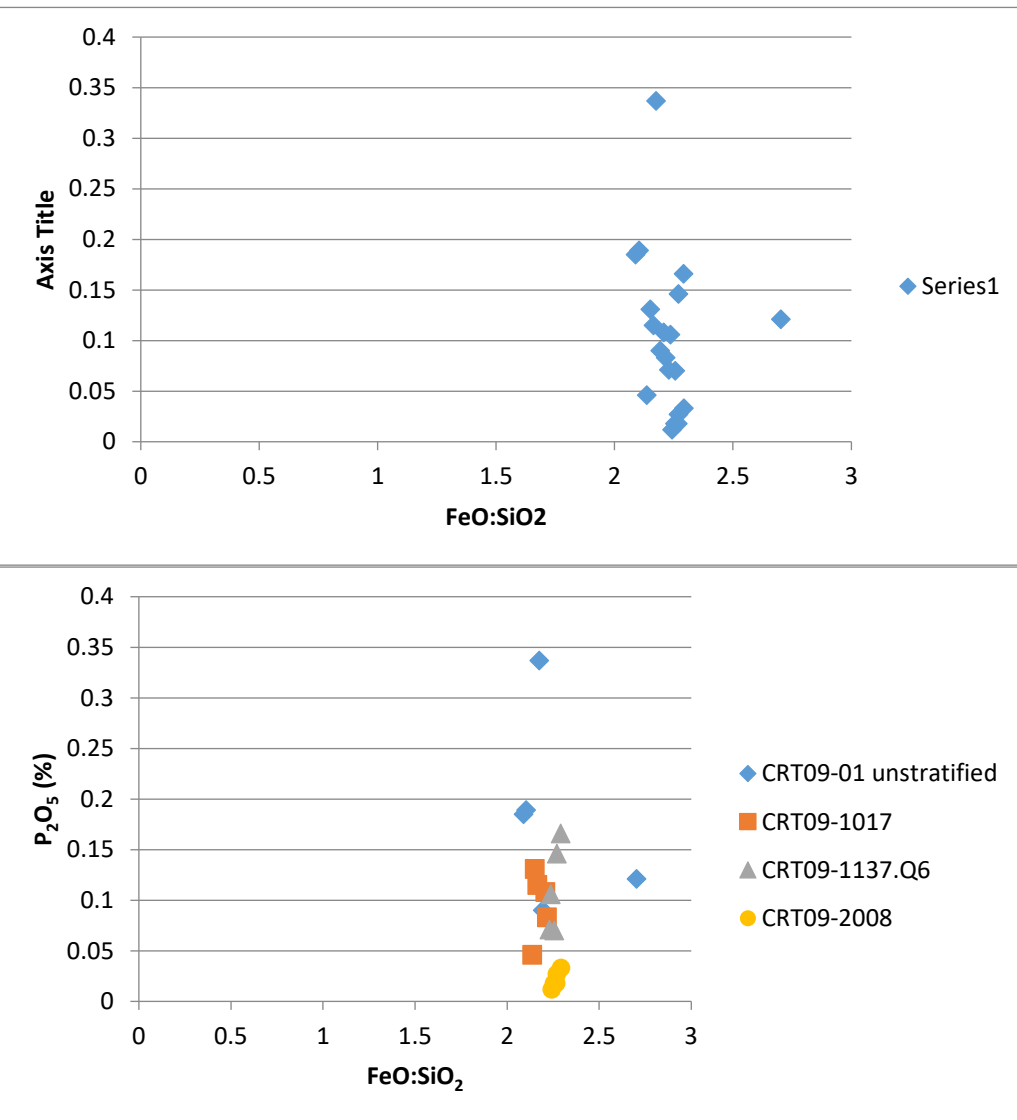
Element		Na2O	FeO	K2O	Cr2O3	SiO2	P2O5	TiO2	MnO	Al2O3
11	CRT09-2008 Large grain/lath1	BDL		65.7	0.032	0.007	28.94	0.027	BDL	0.094
12	CRT09-2008 Large grain/lath 2	BDL		64.75	0.083	BDL	28.72	0.018	BDL	0.096
13	CRT09-2008 Large grain/lath3	BDL		65.71	0.065	0.012	28.66	0.033	BDL	0.102
14	CRT09-2008 Large grain/lath4	BDL		65.16	0.05	0.012	28.75	0.018	BDL	0.098
15	CRT09-2008 Large grain/lath5	BDL		65.05	0.041	BDL	29.01	0.012	BDL	0.097
40	CRT09-1017 Fayalite laths 1.1	BDL		64.56	BDL	0.002	30.23	0.046	BDL	0.173
41	CRT09-1017 Fayalite laths 1.2	BDL		64.81	0.012	0.006	29.36	0.108	BDL	0.189
42	CRT09-1017 Fayalite laths 1.3	BDL		64.71	0.015	BDL	29.2	0.083	BDL	0.185
43	CRT09-1017 Fayalite laths 1.4	BDL		64.28	0.017	0.005	29.89	0.131	BDL	0.186
44	CRT09-1017 Fayalite laths 1.5	BDL		64.7	0.02	0.003	29.9	0.115	BDL	0.176
36	CRT09-1137.Q6 Fayalite grains 1.1	BDL		66.83	0.014	BDL	29.98	0.071	BDL	0.083
37	CRT09-1137.Q6 Fayalite grains 1.2	BDL		66.65	0.023	0.009	29.54	0.07	BDL	0.088
38	CRT09-1137.Q6 Fayalite grains 1.3	BDL		66.92	0.015	BDL	29.21	0.166	BDL	0.076
39	CRT09-1137.Q6 Fayalite grains 1.4	BDL		66.74	0.014	BDL	29.4	0.146	BDL	0.084
40	CRT09-1137.Q6 Fayalite grains 1.5	BDL		66.63	0.012	0.003	29.8	0.106	BDL	0.082
11	CRT09-2008 Large grain/lath1	BDL		65.7	0.032	0.007	28.94	0.027	BDL	0.094
12	CRT09-2008 Large grain/lath 2	BDL		64.75	0.083	BDL	28.72	0.018	BDL	0.096
13	CRT09-2008 Large grain/lath3	BDL		65.71	0.065	0.012	28.66	0.033	BDL	0.102
14	CRT09-2008 Large grain/lath4	BDL		65.16	0.05	0.012	28.75	0.018	BDL	0.098
15	CRT09-2008 Large grain/lath5	BDL		65.05	0.041	BDL	29.01	0.012	BDL	0.097

**MATRIX RAW DATA**

Element	Na2O	FeO	K2O	Cr2O3	SiO2	P2O5	TiO2	MnO	Al2O3
6 CRT09-2008 Intlath material nr lrg pr	0.87	14.98	6.24	0.007	61.59	0.394	0.324	0.035	7.94
7 CRT09-2008 Intlath material nr lrg pr	0.473	43.41	3.28 BDL		41.29	0.177	0.116	0.075	4.54
8 CRT09-2008 Intlath material nr lrg pr	0.602	40.28	3.98 BDL		44.1	0.176	0.11	0.071	5.01
9 CRT09-2008 Intlath material nr lrg pr	0.874	11.82	7.22	0.004	63.55	0.234	0.259	0.023	9.66
10 CRT09-2008 Intlath material nr lrg pr	0.786	35.86	4.62	0.002	52.62	0.101	0.099	0.075 BDL	
11 CRT09-2008 Large grain/lath1	BDL	65.7	0.032	0.007	28.94	0.027 BDL		0.094 BDL	
41 CRT09-1137.Q6 Glassy matrix 1.1	1.264	12.04	11.94 BDL		38.65	5.25	0.047 BDL		19.12
42 CRT09-1137.Q6 Glassy matrix 1.2	1.38	2.83	14.25 BDL		48.2	5.49 BDL	BDL		22.77
43 CRT09-1137.Q6 Glassy matrix 1.3	3.56	11.2	10.24 BDL		38.42	5.32	0.076 BDL		22.19
44 CRT09-1137.Q6 Glassy matrix 1.4	1.65	10.68	10.43	0.02	39.2	5.92	0.069 BDL		20.83
45 CRT09-1137.Q6 Glassy matrix 1.5	4.06	13.22	11.05	0.002	42.73	2.74	0.051 BDL		24.92
61 CRT09-06 Glassy matrix 1.1	2.54	0.883	1.38	0.004	49.9	0.034	0.058	0.009	30.79
62 CRT09-06 Glassy matrix 1.1	2.6	1.23	1.95 BDL		50.22	0.023	0.054	0.013	29.73
63 CRT09-06 Glassy matrix 1.3	2.2	1.037	1.44	0.007	47.96	0.064	0.047	0.009	31.01
64 CRT09-06 Glassy matrix 1.4	2.17	1.01	1.26 BDL		48.5	0.04	0.046	0.009	31.5
65 CRT09-06 Glassy matrix 1.5	1.94	0.749	0.857 BDL		47.29	0.021	0.037 BDL		32.38
21 CRT09-2008 Matrix1	0.836	20.95	7.08	0.01	50.25	0.195	0.275	0.024	9.25
22 CRT09-2008 Matrix2	1.107	13.14	7.67 BDL		57.27	0.367	0.449	0.014	11.75
23 CRT09-2008 Matrix3	1.049	14.88	7.54	0.008	56.75	0.34	0.419	0.012	11.38
24 CRT09-2008 Matrix4	0.989	31.55	5.19	0.003	47.91	0.344	0.3	0.036	8.15
25 CRT09-2008 Matrix5	1.16	14.99	7.82	0.009	56.66	0.268	0.386	0.015	11.65

	<b>FeO</b>	<b>SiO2</b>	<b>FeO:SiO2</b>	<b>P2O5</b>
CRT09-2008 Intlath material nr lrg pr	14.98	61.59	0.243221	0.394
CRT09-2008 Intlath material nr lrg pr	43.41	41.29	1.051344	0.177
CRT09-2008 Intlath material nr lrg pr	40.28	44.1	0.913379	0.176
CRT09-2008 Intlath material nr lrg pr	11.82	63.55	0.185995	0.234
CRT09-2008 Intlath material nr lrg pr	35.86	52.62	0.68149	0.101
CRT09-1137.Q6 Glassy matrix 1.1	12.04	38.65	0.311514	5.25
CRT09-1137.Q6 Glassy matrix 1.2	2.83	48.2	0.058714	5.49
CRT09-1137.Q6 Glassy matrix 1.3	11.2	38.42	0.291515	5.32
CRT09-1137.Q6 Glassy matrix 1.4	10.68	39.2	0.272449	5.92
CRT09-1137.Q6 Glassy matrix 1.5	13.22	42.73	0.309385	2.74
CRT09-06 Glassy matrix 1.1	0.883	49.9	0.017695	0.034
CRT09-06 Glassy matrix 1.1	1.23	50.22	0.024492	0.023
CRT09-06 Glassy matrix 1.3	1.037	47.96	0.021622	0.064
CRT09-06 Glassy matrix 1.4	1.01	48.5	0.020825	0.04
CRT09-06 Glassy matrix 1.5	0.749	47.29	0.015838	0.021
CRT09-2008 Matrix1	20.95	50.25	0.416915	0.195
CRT09-2008 Matrix2	13.14	57.27	0.229439	0.367
CRT09-2008 Matrix3	14.88	56.75	0.262203	0.34
CRT09-2008 Matrix4	31.55	47.91	0.658526	0.344
CRT09-2008 Matrix5	14.99	56.66	0.264561	0.268





<b>Ag<sub>2</sub>O</b>	<b>BaO</b>	<b>CoO</b>	<b>As<sub>2</sub>O<sub>5</sub></b>	<b>CuO</b>	<b>CaO</b>	<b>NiO</b>	<b>MgO</b>	<b>Cl</b>	<b>Sb<sub>2</sub>O<sub>5</sub></b>	<b>SnO<sub>2</sub></b>	<b>PbO</b>	<b>SO<sub>3</sub></b>	<b>ZnO</b>
BDL	BDL		0.106 BDL		0.023	0.758 BDL		0.295 BDL	BDL	BDL	BDL	BDL	BDL
BDL	BDL		0.107 BDL		0.034	1.018 BDL		0.229 BDL	BDL	BDL	BDL	0.027	0.018
BDL	BDL		0.107 BDL		0.001	0.745 BDL		0.338	0.006 BDL	BDL	BDL	0.025	0.018
BDL	BDL		0.107 0.058		0.036	1.082 BDL		0.257 BDL	BDL	BDL	BDL	BDL	0.017
BDL	BDL		0.094 BDL		0.029	1.257 BDL		0.217 BDL	BDL	BDL	BDL	BDL	0.015
BDL	BDL		0.096 0.029		0.072	1.07 BDL		1.271 BDL	BDL	BDL	BDL	BDL	BDL
BDL	BDL		0.112 BDL		0.078	1.024 BDL		1.451 BDL	BDL	BDL	BDL	BDL	BDL
BDL	BDL		0.104 0.032		0.078	1.04 BDL		1.391 BDL	BDL	BDL	BDL	BDL	0.026
BDL	BDL		0.1 BDL		0.063	1.064 BDL		1.579 BDL	BDL	BDL	0.046	0.032 BDL	
BDL	BDL		0.098 0.031		0.084	1.073 BDL		1.498 BDL	BDL	BDL	0.036	0.017	0.026
BDL	BDL		0.115 BDL		0.039	0.124 BDL		0.617 BDL	BDL	BDL	0.044 BDL	BDL	
BDL	BDL		0.117 BDL		0.049	0.143 BDL		0.47 BDL	BDL	BDL	0.047 BDL	BDL	
BDL	BDL		0.111 BDL		0.029	0.17 BDL		0.258 BDL	BDL	BDL	0.041	0.031	0.017
BDL	BDL		0.111 BDL		0.043	0.159 BDL		0.407 BDL	BDL	BDL	0.034 BDL	BDL	
BDL	BDL		0.11 0.034		0.044	0.126 BDL		0.602 BDL	BDL	BDL	0.047 BDL	BDL	
BDL	BDL		0.106 BDL		0.023	0.758 BDL		0.295 BDL	BDL	BDL	BDL	BDL	BDL
BDL	BDL		0.107 BDL		0.034	1.018 BDL		0.229 BDL	BDL	BDL	BDL	0.027	0.018
BDL	BDL		0.107 BDL		0.001	0.745 BDL		0.338	0.006 BDL	BDL	BDL	0.025	0.018
BDL	BDL		0.107 0.058		0.036	1.082 BDL		0.257 BDL	BDL	BDL	BDL	BDL	0.017
BDL	BDL		0.094 BDL		0.029	1.257 BDL		0.217 BDL	BDL	BDL	BDL	BDL	0.015

Ag2O	BaO	CoO	As2O5	CuO	CaO	NiO	MgO	Cl	Sb2O5	SnO2	PbO	SO3	ZnO
BDL	BDL		0.013 BDL		0.027	6.02 BDL	BDL	BDL	BDL	BDL	BDL	0.104	0.015
BDL	BDL		0.064 BDL		0.031	1.63 BDL		0.22 BDL	BDL	BDL	BDL	0.03	0.016
BDL	BDL		0.063 BDL		0.039	2.02 BDL		0.163 BDL	BDL	BDL	BDL	0.055	0.018
BDL	BDL		0.025 BDL		0.036	3.93 BDL	BDL		0.006 BDL	BDL	BDL	0.064	BDL
BDL	BDL		0.053 BDL		0.052	1.97 BDL		0.22 BDL	BDL	BDL	BDL	0.042	BDL
BDL	BDL		0.106 BDL		0.023	0.758 BDL		0.295 BDL	BDL	BDL	BDL	BDL	BDL
BDL	BDL		0.013 BDL		0.051	8.44 BDL	BDL		0.006 BDL	BDL	BDL	0.045	BDL
BDL		0.106 BDL	BDL		0.539	7.66 BDL	BDL		0.006 BDL	BDL	BDL	0.044	BDL
BDL	0.215	0.015 BDL			0.078	7.95 BDL	BDL		0.007 BDL	BDL	BDL	0.351	BDL
BDL	0.164	0.023 BDL			0.071	10.48 BDL	BDL	BDL	BDL	BDL	BDL	0.137	BDL
BDL	0.181	0.011 BDL			0.068	3.96 BDL	BDL		0.006 BDL	BDL	BDL	0.225	BDL
BDL	BDL	BDL	BDL		0.026	13.48 BDL		0.05 BDL	BDL	BDL	BDL	0.014	BDL
BDL		0.041 BDL	BDL		0.01	12.74 BDL		0.067 BDL	BDL	BDL	BDL	BDL	BDL
BDL		0.047 BDL	BDL		0.029	14.25 BDL		0.056 BDL	BDL	BDL	BDL	BDL	BDL
BDL	BDL	BDL	BDL		0.012	14.38 BDL		0.065 BDL	BDL	BDL	BDL	0.041	0.019
BDL	BDL	BDL	BDL	BDL		15.29 BDL		0.059 BDL	BDL	BDL	BDL	0.019	BDL
BDL	0.009	0.036 BDL			0.022	4.98 BDL	BDL		0.007 BDL	BDL	BDL	0.064	0.012
BDL	0.059	0.026 BDL			0.027	6.21 BDL	BDL		0.009 BDL	BDL	BDL	0.109	BDL
BDL	0.049	0.025 BDL			0.014	6.48 BDL	BDL	BDL	BDL	BDL	BDL	0.136	BDL
BDL	BDL		0.045 BDL		0.019	5.02 BDL		0.037	0.013 BDL	BDL	BDL	0.091	0.022
BDL	BDL		0.024 BDL		0.032	5.59 BDL	BDL	BDL	BDL	BDL	BDL	0.08	0.016

Blank Page

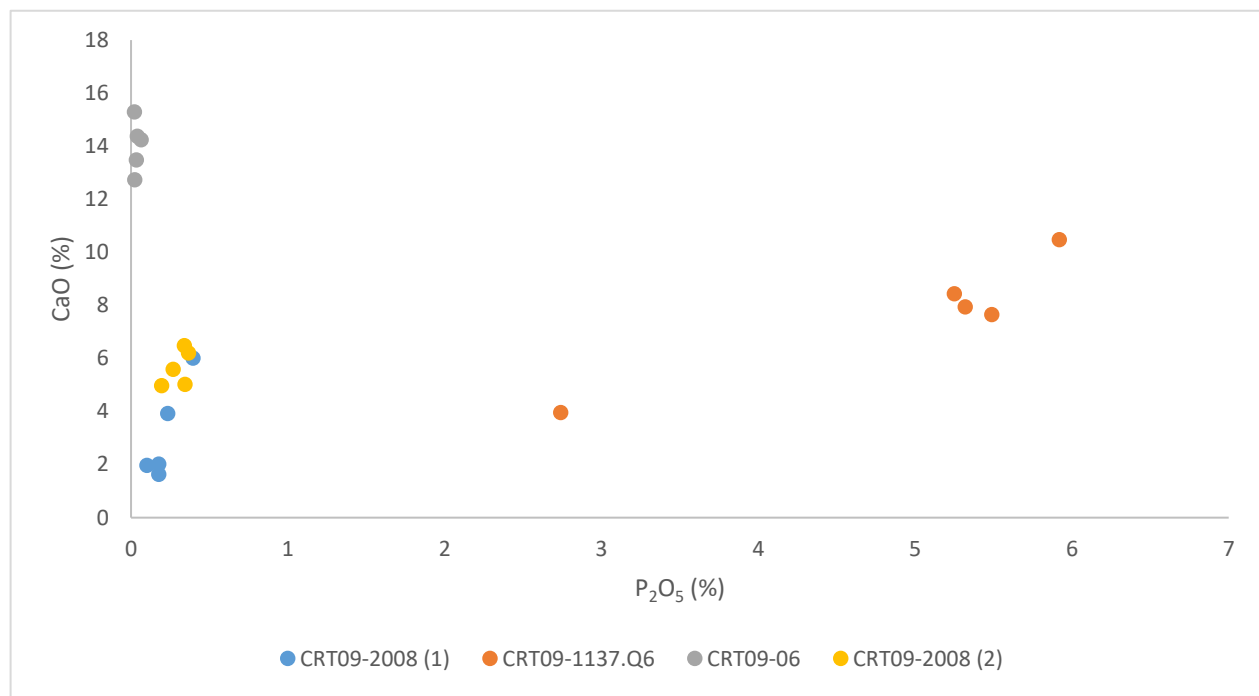
Blank Page

Blank Page

V2O3	Total
/	96.004
/	95.133
/	95.861
/	95.663
/	95.873
BDL	97.602
BDL	97.179
BDL	96.925
BDL	97.404
BDL	97.811
0.019	97.975
BDL	97.26
BDL	97.095
0.022	97.218
BDL	97.626
/	96.004
/	95.133
/	95.861
/	95.663
/	95.873

V2O3	Total
/ -----	98.588
/ -----	95.353
/ -----	96.713
/ -----	97.705
/ -----	102.972
/ -----	96.004
BDL	96.999
BDL	103.344
BDL	99.648
BDL	99.701
BDL	103.26
BDL	99.231
BDL	98.704
BDL	98.195
0.02	99.078
BDL	98.667
/ -----	94.014
/ -----	98.215
/ -----	99.108
/ -----	99.722
/ -----	98.734

	<b>P2O5</b>	<b>CaO</b>
CRT09-2008 Intlath material nr lrg pr	0.394	6.02
CRT09-2008 Intlath material nr lrg pr	0.177	1.63
CRT09-2008 Intlath material nr lrg pr	0.176	2.02
CRT09-2008 Intlath material nr lrg pr	0.234	3.93
CRT09-2008 Intlath material nr lrg pr	0.101	1.97
CRT09-2008 Large grain/lath1	0.027	0.758
CRT09-1137.Q6 Glassy matrix 1.1	5.25	8.44
CRT09-1137.Q6 Glassy matrix 1.2	5.49	7.66
CRT09-1137.Q6 Glassy matrix 1.3	5.32	7.95
CRT09-1137.Q6 Glassy matrix 1.4	5.92	10.48
CRT09-1137.Q6 Glassy matrix 1.5	2.74	3.96
CRT09-06 Glassy matrix 1.1	0.034	13.48
CRT09-06 Glassy matrix 1.1	0.023	12.74
CRT09-06 Glassy matrix 1.3	0.064	14.25
CRT09-06 Glassy matrix 1.4	0.04	14.38
CRT09-06 Glassy matrix 1.5	0.021	15.29
CRT09-2008 Matrix1	0.195	4.98
CRT09-2008 Matrix2	0.367	6.21
CRT09-2008 Matrix3	0.34	6.48
CRT09-2008 Matrix4	0.344	5.02
CRT09-2008 Matrix5	0.268	5.59



Element		Na2O	FeO	K2O	Cr2O3	SiO2	P2O5	TiO2	MnO	Al2O3	
36	QCH93 024 tap 1 wustite 1	BDL		81.7	0.31	0.008	3.75	0.027	0.404	0.151	1.161
37	QCH93 024 tap 1 wustite 2	BDL		72.54	0.055	-	15.23	0.062	0.29	0.28	1.093
38	QCH93 024 tap 1 wustite 3	0.126		88.29	0.058	0.015	0.905	0.021	0.687	0.113	0.784
39	QCH93 024 tap 1 wustite 4	0.075		88.4	0.034	0.022	0.769	0.047	0.556	0.121	0.558
40	QCH93 024 tap 1 wustite 5	BDL		86.25	0.059	-	1.25	-	0.602	0.088	0.787
41	QCH93 024 tap 1 fayalite 1	BDL		64.92	0.027	-	30.55	0.069	0.022	0.47	0.367
42	QCH93 024 tap 1 fayalite 2	0.05		64.06	0.019	0	30.41	0.039	0.015	0.489	0.396
43	QCH93 024 tap 1 fayalite 3	BDL		64.57	0.032	-	29.54	0.059	0.018	0.471	0.386
44	QCH93 024 tap 1 fayalite 4	BDL		63.09	0.03	0.002	30.19	0.057	0.013	0.485	0.309
45	QCH93 024 tap 1 fayalite 5	BDL		64.39	0.025	-	29.9	0.047	0.027	0.496	0.408
46	QCH93 024 tap 1 matrix 1	1.35		12	8.57	-	43.84	0.63	0.257	0.031	23.46
47	QCH93 024 tap 1 matrix 2	0.054		18.93	0.116	-	47.52	0.813	0.234	0.144	14.1
48	QCH93 024 tap 1 matrix 3	0.085		22.18	0.503	-	42.74	0.714	0.398	0.186	16.46
49	QCH93 024 tap 1 matrix 4	0.235		25.94	4.61	-	31.06	0.501	0.854	0.086	29.98
50	QCH93 024 tap 1 matrix 5	1.69		23.3	9.81	-	37.29	0.554	0.254	0.1	18.3
51	QCH93 024 tap 2 wustite 1	0.164		67.89	0.485	-	19.14	0.111	0.137	0.47	3.43
52	QCH93 024 tap 2 wustite 2	BDL		92.91	0.034	0.02	0.235	0.007	0.25	0.191	1.158
53	QCH93 024 tap 2 wustite 3	BDL		93.07	0.027	0.018	0.237	0.002	0.249	0.193	1.422
54	QCH93 024 tap 2 wustite 4	BDL		91.85	0.02	0.014	0.27	-	0.246	0.187	1.323
55	QCH93 024 tap 2 wustite 5	BDL		92.28	0.035	-	0.262	0.007	0.224	0.205	1.277
56	QCH93 024 tap 2 fayalite 1	BDL		65.71	0.029	-	29.97	0.084	0.013	0.575	0.371
57	QCH93 024 tap 2 fayalite 2	BDL		65.26	0.046	-	29.69	0.037	0.023	0.58	0.533
58	QCH93 024 tap 2 fayalite 3	BDL		64.9	0.034	-	29.88	0.082	0.002	0.596	0.479
59	QCH93 024 tap 2 fayalite 4	BDL		64.74	0.014	-	29.89	0.053	0.034	0.586	0.532
60	QCH93 024 tap 2 fayalite 5	BDL		66.03	0.032	0.002	30.05	0.037	0.017	0.577	0.301
61	QCH93 024 tap 2 matrix 1	0.714		31.27	5.5	-	31.62	0.421	0.254	0.196	24.35
62	QCH93 024 tap 2 matrix 2	0.908		25.67	7.57	-	36.08	0.344	0.115	0.158	23.56
63	QCH93 024 tap 2 matrix 3	1.151		47.46	4.89	-	30.63	0.302	0.231	0.234	18.06
64	QCH93 024 tap 2 matrix 4	0.792		30.94	5.01	-	35.68	0.314	0.182	0.23	18.94
65	QCH93 024 tap 2 matrix 5	BDL		36.94	0.063	-	31.45	0.288	0.336	0.209	26.98
66	QCH93 024 tap 3 wustite 1	BDL		90.51	0.034	0.043	0.311	0.022	0.721	0.2	0.617
67	QCH93 024 tap 3 wustite 2	BDL		92.66	0.016	0.012	0.383	0.01	0.83	0.17	0.52

68 QCH93 024 tap 3 wustite 3	BDL	90.2	0.006	-	0.373	0.039	0.705	0.174	0.613
69 QCH93 024 tap 3 wustite 4	BDL	91.38	0.024	0.02	0.592	0.012	0.59	0.242	0.357
70 QCH93 024 tap 3 wustite 5	BDL	93.43	0.013	0.045	0.355	0.012	0.71	0.212	0.45
71 QCH93 024 tap 3 fayalite 1	BDL	65.42	0.015	0.01	29.82	0.091	0.036	0.762	0.322
72 QCH93 024 tap 3 fayalite 2	BDL	65.38	0.01	-	29.78	0.126	0.05	0.617	0.286
73 QCH93 024 tap 3 fayalite 3	BDL	63.04	0.021	-	29.59	0.097	0.084	0.586	0.713
74 QCH93 024 tap 3 fayalite 4	0.047	65.01	0.02	-	30.29	0.06	0.005	0.695	0.227
75 QCH93 024 tap 3 fayalite 5	BDL	64.68	0.018	-	30.18	0.095	0.012	0.702	0.226
76 QCH93 024 tap 3 matrix 1	0.387	32.45	12.82	0.003	36.11	0.043	0.296	0.07	17.67
77 QCH93 024 tap 3 matrix 2	0.856	2.77	17.73	-	55.26	0.177	-	0.013	26.55
78 QCH93 024 tap 3 matrix 3	0.486	17.75	16.1	-	43.19	0.098	0.22	0.034	21.39
79 QCH93 024 tap 3 matrix 4	0.598	1.251	20.2	-	56.99	0.053	-	0.006	27.84
80 QCH93 024 tap 3 matrix 5	0.627	4.8	19.16	-	53.64	0.031	-	0.009	27.06
81 QCH93 024 tap 4 wustite 1	BDL	90.49	0.021	0.029	0.465	0.023	0.291	0.503	1.601
82 QCH93 024 tap 4 wustite 2	BDL	91.24	0.014	0.012	0.438	0.012	0.265	0.51	1.287
83 QCH93 024 tap 4 wustite 3	BDL	92.14	0.034	-	0.459	0.001	0.269	0.51	1.296
84 QCH93 024 tap 4 wustite 5	BDL	91.72	0.027	0.029	0.365	0.036	0.32	0.49	1.784
85 QCH93 024 tap 4 wustite 5	BDL	91.11	0.024	-	0.439	0.015	0.279	0.508	1.307
86 QCH93 024 tap 4 fayalite 1	BDL	63.24	0.02	-	29.75	0.138	0.034	1.41	0.51
87 QCH93 024 tap 4 fayalite 2	BDL	63.73	0.023	-	29.53	0.114	0.048	1.54	0.575
88 QCH93 024 tap 4 fayalite 3	BDL	64.13	0.036	-	29.76	0.082	-	1.48	0.309
89 QCH93 024 tap 4 fayalite 4	BDL	0.114	0.032	-	24.72	0.136	0.075	1.64	0.344
90 QCH93 024 tap 4 fayalite 5	BDL	63.49	0.022	-	29.94	0.045	0.002	1.55	0.253
91 QCH93 024 tap 4 matrix 1	0.813	26.89	4.43	-	34.53	0.725	0.196	0.482	21.87
92 QCH93 024 tap 4 matrix 2	0.791	25.95	4.8	-	34.36	0.669	0.177	0.48	22.38
93 QCH93 024 tap 4 matrix 3	0.554	38.86	3.04	-	32.41	0.511	0.325	0.693	17.8
94 QCH93 024 tap 4 matrix 4	0.562	39.38	2.92	-	32.91	0.534	0.179	0.799	14.57
95 QCH93 024 tap 4 matrix 5	0.664	32.73	3.43	-	31.25	0.634	0.344	0.567	20.17
96 QCH93 024 tap 5 wustite 1	BDL	89.92	0.025	0.041	0.323	0.021	0.443	0.271	0.683
97 QCH93 024 tap 5 wustite 2	0.125	82.15	0.418	0.025	4.25	0.064	0.493	0.325	4.03
98 QCH93 024 tap 5 wustite 3	BDL	89.01	0.025	0.032	0.379	0.017	0.681	0.273	3.36
99 QCH93 024 tap 5 wustite 4	BDL	92.12	0.041	0.032	0.402	0.022	0.436	0.268	0.611
100 QCH93 024 tap 5 wustite 5	0.078	90.74	0.108	0.047	0.668	0.004	0.439	0.257	0.846

101	QCH93 024 tap 5 fayalite 1	BDL	64.03	0.014 -		29.58	0.087	0.026	0.995	0.356	
102	QCH93 024 tap 5 fayalite 2	BDL	64.71	0.022	0.005	29.53	0.039	0.02	0.988	0.388	
103	QCH93 024 tap 5 fayalite 3	BDL	64.71	0.03	-	29.57	0.046	0.023	0.993	0.465	
104	QCH93 024 tap 5 fayalite 4	BDL	63.75	0.02	-	30.09	0.048	-	0.995	0.14	
105	QCH93 024 tap 5 fayalite 5		0.091	64.25	0.046	-	29.65	0.031	0.02	0.9	0.248
106	QCH93 024 tap 5 matrix 1		1.028	27.48	5.57	-	35.19	0.492	0.206	0.27	20.47
107	QCH93 024 tap 5 matrix 2		0.816	34.4	4.4	-	34.14	0.509	0.198	0.366	17.65
108	QCH93 024 tap 5 matrix 3		0.91	33.73	4.94	-	34.59	0.459	0.168	0.384	18.8
109	QCH93 024 tap 5 matrix 4		0.693	25.22	4.32	-	34.99	0.577	0.29	0.218	23.12
110	QCH93 024 tap 5 matrix 5		0.788	33.1	4.22	-	33.08	0.434	0.295	0.342	18.62
111	QCH93 1389 tap 1 wustite 1	BDL	84.78	0.047	0.438	0.443	0.007	0.796	0.056	3.07	
112	QCH93 1389 tap 1 wustite 2		0.054	84.61	0.042	0.022	0.349	0.031	0.554	0.056	2.48
113	QCH93 1389 tap 1 wustite 3	BDL	84.71	0.027	0.297	0.422	-	0.772	0.06	2.72	
114	QCH93 1389 tap 1 wustite 4		0.065	84.17	0.033	-	0.385	0.039	0.614	0.051	2.77
115	QCH93 1389 tap 1 wustite 5	BDL	83.88	0.039	0.126	0.343	0.017	0.591	0.06	2.53	
116	QCH93 1389 tap 1 fayalite 1		0.201	53.19	1.51	-	36.29	0.067	-	0.229	3.48
117	QCH93 1389 tap 1 fayalite 2		0.332	52.5	1.73	-	38.62	0.105	0.123	0.266	3.53
118	QCH93 1389 tap 1 fayalite 3		0.345	50.53	1.77	0.002	38.04	0.1	0.08	0.238	4.2
119	QCH93 1389 tap 1 fayalite 4		0.221	53.05	1.44	0.013	37.65	0.074	0.023	0.238	3.26
120	QCH93 1389 tap 1 fayalite 5		0.311	51.94	1.53	0.005	38.87	0.078	0.018	0.242	4.24
121	QCH93 1389 tap 1 matrix 1		0.986	16.21	3.94	-	51.98	0.345	0.286	0.118	15.62
122	QCH93 1389 tap 1 matrix 2		0.084	50.03	0.077	0.002	28.82	-	0.04	0.321	3.85
123	QCH93 1389 tap 1 matrix 3		0.137	25.56	1.078	-	48.32	0.178	0.173	0.517	9.92
124	QCH93 1389 tap 1 matrix 4		0.862	16.54	3.86	-	54.27	-	0.862	0.085	15.99
125	QCH93 1389 tap 1 matrix 5	BDL	19.23	0.078	-		36.58	1.047	0.204	0.212	17.15
126	QCH93 1389 tap 2 fayalite 1		0.055	61.76	0.506	0.002	30.59	0.345	0.029	0.107	0.974
127	QCH93 1389 tap 2 fayalite 2	BDL	62.24	0.118	0.002		30.1	0.308	0.032	0.098	0.522
128	QCH93 1389 tap 2 fayalite 3	BDL	60.81	0.59	0.012		29.62	0.566	0.062	0.095	0.701
129	QCH93 1389 tap 2 fayalite 4		0.071	61.39	0.643	0.004	30.69	0.459	0.065	0.099	1.033
130	QCH93 1389 tap 2 fayalite 5		0.198	55.01	1.9	-	31.32	0.789	0.147	0.088	2.19
131	QCH93 1389 tap 2 matrix 1		0.794	34.64	5.42	-	34.94	0.002	0.488	0.024	9.19
132	QCH93 1389 tap 2 matrix 2		0.693	31.14	6.44	-	36.38	2.046	0.539	0.038	9.08
133	QCH93 1389 tap 2 matrix 3	BDL	47.78	0.378	0.003		29.69	0.002	0.077	0.027	0.601

134	QCH93 1389 tap 2 matrix 4	0.811	34.11	5.39 -		37.92	1.819	0.336	0.041	6.15
135	QCH93 1389 tap 2 matrix 5	0.744	35.93	5.12	0.003	37.18	2.019	0.4	0.043	8.62
136	QCH93 1389 tap 3 wustite 1	BDL	90.56	0.028	-	0.348	-	0.193	0.288	1.337
137	QCH93 1389 tap 3 wustite 2	0.009	91.18	0.066	0.035	0.556	0.001	0.474	0.243	1.524
138	QCH93 1389 tap 3 wustite 3	-	89.84	0.106	0.01	0.59	-	0.627	0.208	1.691
1	QCH93 1389 tap 3 wustite 4	0.014	91.99	0.032	0.051	0.995	0.006	0.29	0.302	1.404
2	QCH93 1389 tap 3 wustite 5	0.131	74.27	1.122	-	15.13	0.232	0.42	0.356	4.89
3	QCH93 1389 tap 3 fayalite 1	0.263	38.85	3.39	-	32.81	0.587	0.267	0.403	10.49
4	QCH93 1389 tap 3 fayalite 2	0.36	34.58	3.91	-	34.01	0.744	0.48	0.299	15.77
5	QCH93 1389 tap 3 fayalite 3	0.136	56.14	1.21	-	30.95	0.356	0.142	0.685	4.39
6	QCH93 1389 tap 3 fayalite 4	0.108	48.8	2.5	-	31.93	0.484	0.194	0.637	5.58
7	QCH93 1389 tap 3 fayalite 5	0.117	51.72	2.06	-	31.5	0.451	0.128	0.629	4.81
8	QCH93 1389 tap 3 matrix 1	0.095	67.1	1.003	-	21.84	0.319	0.354	0.482	5.77
9	QCH93 1389 tap 3 matrix 2	0.324	63.52	2.7	-	21.68	0.701	0.543	0.201	19.68
10	QCH93 1389 tap 3 matrix 3	0.48	23.29	5.83	-	36.41	0.895	0.414	0.201	17.3
11	QCH93 1389 tap 3 matrix 4	0.435	24.53	5.39	-	35.67	0.913	0.437	0.217	17.99
12	QCH93 1389 tap 3 matrix 5	0.352	30.75	4.34	0.008	35.47	0.841	0.447	0.232	13.3
13	QCH93 1389 plate wustite 1	0.154	88.86	0.045	0.005	1.473	0.025	0.319	0.184	1.851
14	QCH93 1389 plate wustite 2	0.161	84.07	0.037	-	7.54	0.088	0.245	0.257	1.608
15	QCH93 1389 plate wustite 3	0.193	63.62	0.252	0.017	23.83	0.276	0.182	0.405	6.72
16	QCH93 1389 plate wustite 4	0.233	72.15	0.359	0.005	15.93	0.197	0.153	0.401	1.636
17	QCH93 1389 plate wustite 5	0.284	80.61	0.16	-	7.29	0.12	0.243	0.303	2.45
18	QCH93 1389 plate fayalite 1	0.176	58.64	0.87	-	30.49	0.288	0.019	0.435	2.55
19	QCH93 1389 plate fayalite 2	0.13	64.77	0.051	-	30.04	0.175	-	0.466	0.279
20	QCH93 1389 plate fayalite 3	0.115	63.92	0.027	-	29.46	0.127	0.035	0.529	0.439
21	QCH93 1389 plate fayalite 4	0.145	64.29	0.054	-	25.64	0.158	-	0.489	0.325
22	QCH93 1389 plate fayalite 5	0.173	64.24	0.09	-	29.86	0.174	0.041	0.527	0.542
23	QCH93 1389 plate matrix 1	0.902	28.92	5.77	0.008	31.03	0.919	0.257	0.132	19.08
24	QCH93 1389 plate matrix 2	0.69	21.94	5.65	-	35.23	1.151	0.195	0.133	21.82
25	QCH93 1389 plate matrix 3	0.772	24.47	6.15	-	36.81	1.017	0.224	0.107	18.75
26	QCH93 1389 plate matrix 4	0.745	25.15	6.29	-	35.99	1.005	0.171	0.129	21.16
27	QCH93 1389 plate matrix 5	0.138	63.82	0.18	-	29.8	0.206	0.015	0.62	1.091
28	FLX89 803 14333 tech sample 1	0.068	81.58	0.042	0.004	1.056	0.45	0.023	0.715	0.419

29	FLX89 803 14333 tech sample 2	0.063	78.69	0.024	-	1.603	0.876	-	0.822	0.755
30	FLX89 803 14333 tech sample 3	0.026	79.05	0.029	0.001	1.81	0.945	-	1.162	0.579
31	FLX89 803 14333 tech sample 4	-	78.67	0.023	-	2.4	0.953	-	1.148	0.868
32	FLX89 803 14333 tech sample 5	0.047	78.62	0.017	0.005	1.77	1.098	-	1.43	1.079
33	QCH93 + wustite 1	-	91.42	0.035	0.003	0.321	0.009	0.323	0.265	0.83
34	QCH93 + wustite 2	0.051	91.58	0.086	-	0.321	0.014	0.301	0.261	0.711
35	QCH93 + wustite 3	-	90.74	0.037	0.006	0.284	0.045	0.564	0.205	0.472
36	QCH93 + wustite 4	0.025	90.84	0.028	-	0.306	-	0.603	0.201	0.839
37	QCH93 + wustite 5	0.006	90.78	0.084	0.008	0.347	0.027	0.564	0.192	0.894
38	QCH93 + fayalite 1	-	63.97	0.009	-	30.13	0.168	-	0.859	0.393
39	QCH93 + fayalite 2	-	63.78	0.014	-	30.27	0.111	-	0.858	0.226
40	QCH93 + fayalite 3	-	63.77	0.008	0.006	30.22	0.14	-	0.848	0.356
41	QCH93 + fayalite 4	-	64.09	0.027	-	27.57	0.078	-	0.749	0.167
42	QCH93 + fayalite 5	-	64.6	0.014	-	30.14	0.128	0.001	0.853	0.362
43	QCH93 + matrix 1	1.062	0.936	17.9	-	58.1	0.064	-	-	26.82
44	QCH93 + matrix 2	0.504	2.26	20.41	-	55.58	0.074	-	-	26.27
45	QCH93 + matrix 3	0.716	7.17	16.54	0.001	51.23	0.235	0.001	0.044	23.79
46	QCH93 + matrix 4	1.36	14.23	13.41	0.004	48.71	0.664	0.024	0.067	23.66
47	QCH93 + matrix 5	0.887	5.76	18.54	-	52.93	0.173	-	0.03	25.03
48	QCH93 +R wustite 1	-	91.86	0.034	0.02	0.444	-	0.492	0.189	0.338
49	QCH93 +R wustite 2	0.038	62.72	0.488	0.016	16.66	0.098	0.383	0.39	17.13
50	QCH93 +R wustite 3	0.031	92.87	0.026	-	0.327	0.029	0.464	0.198	0.546
51	QCH93 +R wustite 4	0.1	62.38	0.106	-	21.45	0.117	0.273	0.512	13.99
52	QCH93 +R wustite 5	0.202	81.52	0.534	-	5.85	0.068	0.457	0.24	7.6
53	QCH93 +R fayalite 1	-	62.79	0.352	-	29.45	0.065	0.002	0.628	2.38
54	QCH93 +R fayalite 2	-	65.66	0.044	0.004	30.32	0.067	0.03	0.645	0.288
55	QCH93 +R fayalite 3	0.023	65.97	0.053	0.013	30.52	0.086	0.016	0.743	0.409
56	QCH93 +R fayalite 4	0.041	65.02	0.071	0.003	29.76	0.08	0.022	0.656	0.359
57	QCH93 +R fayalite 5	0.037	64.78	0.049	0.003	30.13	0.069	0.005	0.685	0.483
58	QCH93 +R matrix 1	1.324	30.69	6.35	-	33.59	0.519	0.054	0.243	15.52
59	QCH93 +R matrix 2	-	64.99	0.062	0.004	29.99	0.073	0.031	0.598	0.521
60	QCH93 +R matrix 3	1.56	46.64	4.05	0.002	37.7	0.353	0.083	0.373	12.97
61	QCH93 +R matrix 4	0.748	51.52	2.69	0.009	32.31	0.25	0.048	0.411	7.34

62 QCH93 +R matrix 5	1.67	23.82	8.33 -	38.03	0.596	0.196	0.143	19.22
----------------------	------	-------	--------	-------	-------	-------	-------	-------

#### Fayalite raw data plot

	FeO	SiO2	FeO:SiO2	P2O5
QCH93 024 tap 1 fayalite 1	64.92	30.55	2.125041	0.069
QCH93 024 tap 1 fayalite 2	64.06	30.41	2.106544	0.039
QCH93 024 tap 1 fayalite 3	64.57	29.54	2.18585	0.059
QCH93 024 tap 1 fayalite 4	63.09	30.19	2.089765	0.057
QCH93 024 tap 1 fayalite 5	64.39	29.9	2.153512	0.047
QCH93 024 tap 2 fayalite 1	65.71	29.97	2.192526	0.084
QCH93 024 tap 2 fayalite 2	65.26	29.69	2.198046	0.037
QCH93 024 tap 2 fayalite 3	64.9	29.88	2.172021	0.082
QCH93 024 tap 2 fayalite 4	64.74	29.89	2.165942	0.053
QCH93 024 tap 2 fayalite 5	66.03	30.05	2.197338	0.037
QCH93 024 tap 3 fayalite 1	65.42	29.82	2.19383	0.091
QCH93 024 tap 3 fayalite 2	65.38	29.78	2.195433	0.126
QCH93 024 tap 3 fayalite 3	63.04	29.59	2.130449	0.097
QCH93 024 tap 3 fayalite 4	65.01	30.29	2.146253	0.06
QCH93 024 tap 3 fayalite 5	64.68	30.18	2.143141	0.095
QCH93 024 tap 4 fayalite 1	63.24	29.75	2.125714	0.138
QCH93 024 tap 4 fayalite 2	63.73	29.53	2.158144	0.114
QCH93 024 tap 4 fayalite 3	64.13	29.76	2.154906	0.082
QCH93 024 tap 4 fayalite 5	63.49	29.94	2.120574	0.045
QCH93 024 tap 5 fayalite 1	64.03	29.58	2.164638	0.087
QCH93 024 tap 5 fayalite 2	64.71	29.53	2.191331	0.039
QCH93 024 tap 5 fayalite 3	64.71	29.57	2.188367	0.046
QCH93 024 tap 5 fayalite 4	63.75	30.09	2.118644	0.048

QCH93 024 tap 5 fayalite 5	64.25	29.65	2.166948	0.031
QCH93 1389 tap 1 fayalite 1	53.19	36.29	1.465693	0.067
QCH93 1389 tap 1 fayalite 2	52.5	38.62	1.359399	0.105
QCH93 1389 tap 1 fayalite 3	50.53	38.04	1.328339	0.1
QCH93 1389 tap 1 fayalite 4	53.05	37.65	1.409031	0.074
QCH93 1389 tap 1 fayalite 5	51.94	38.87	1.336249	0.078
QCH93 1389 tap 2 fayalite 1	61.76	30.59	2.01896	0.345
QCH93 1389 tap 2 fayalite 2	62.24	30.1	2.067774	0.308
QCH93 1389 tap 2 fayalite 3	60.81	29.62	2.053005	0.566
QCH93 1389 tap 2 fayalite 4	61.39	30.69	2.000326	0.459
QCH93 1389 tap 2 fayalite 5	55.01	31.32	1.756386	0.789
QCH93 1389 tap 3 fayalite 1	38.85	32.81	1.18409	0.587
QCH93 1389 tap 3 fayalite 2	34.58	34.01	1.01676	0.744
QCH93 1389 tap 3 fayalite 3	56.14	30.95	1.813893	0.356
QCH93 1389 tap 3 fayalite 4	48.8	31.93	1.528343	0.484
QCH93 1389 tap 3 fayalite 5	51.72	31.5	1.641905	0.451
QCH93 1389 plate fayalite 1	58.64	30.49	1.923254	0.288
QCH93 1389 plate fayalite 2	64.77	30.04	2.156125	0.175
QCH93 1389 plate fayalite 3	63.92	29.46	2.169722	0.127
QCH93 1389 plate fayalite 4	64.29	25.64	2.50741	0.158
QCH93 1389 plate fayalite 5	64.24	29.86	2.151373	0.174
QCH93 + fayalite 1	63.97	30.13	2.123133	0.168
QCH93 + fayalite 2	63.78	30.27	2.107037	0.111
QCH93 + fayalite 3	63.77	30.22	2.110192	0.14
QCH93 + fayalite 4	64.09	27.57	2.324628	0.078
QCH93 + fayalite 5	64.6	30.14	2.143331	0.128
QCH93 +R fayalite 1	62.79	29.45	2.132088	0.065
QCH93 +R fayalite 2	65.66	30.32	2.165567	0.067
QCH93 +R fayalite 3	65.97	30.52	2.161533	0.086
QCH93 +R fayalite 4	65.02	29.76	2.184812	0.08
QCH93 +R fayalite 5	64.78	30.13	2.150017	0.069

## Matrix data plot

	FeO	SiO2	FeO:SiO2	P2O5
QCH93 024 tap 1 matrix 1	12	43.84	0.273723	0.63
QCH93 024 tap 1 matrix 2	18.93	47.52	0.398359	0.813
QCH93 024 tap 1 matrix 3	22.18	42.74	0.518952	0.714
QCH93 024 tap 1 matrix 4	25.94	31.06	0.835158	0.501
QCH93 024 tap 1 matrix 5	23.3	37.29	0.624832	0.554
QCH93 024 tap 2 matrix 1	31.27	31.62	0.988931	0.421
QCH93 024 tap 2 matrix 2	25.67	36.08	0.711475	0.344
QCH93 024 tap 2 matrix 3	47.46	30.63	1.549461	0.302
QCH93 024 tap 2 matrix 4	30.94	35.68	0.867152	0.314
QCH93 024 tap 2 matrix 5	36.94	31.45	1.174563	0.288
QCH93 024 tap 3 matrix 1	32.45	36.11	0.898643	0.043
QCH93 024 tap 3 matrix 2	2.77	55.26	0.050127	0.177
QCH93 024 tap 3 matrix 3	17.75	43.19	0.410975	0.098
QCH93 024 tap 3 matrix 4	1.251	56.99	0.021951	0.053
QCH93 024 tap 3 matrix 5	4.8	53.64	0.089485	0.031
QCH93 024 tap 4 matrix 1	26.89	34.53	0.778743	0.725
QCH93 024 tap 4 matrix 2	25.95	34.36	0.755239	0.669
QCH93 024 tap 4 matrix 3	38.86	32.41	1.199013	0.511
QCH93 024 tap 4 matrix 4	39.38	32.91	1.196597	0.534
QCH93 024 tap 4 matrix 5	32.73	31.25	1.04736	0.634
QCH93 024 tap 5 matrix 1	27.48	35.19	0.780904	0.492
QCH93 024 tap 5 matrix 2	34.4	34.14	1.007616	0.509
QCH93 024 tap 5 matrix 3	33.73	34.59	0.975137	0.459
QCH93 024 tap 5 matrix 4	25.22	34.99	0.720777	0.577
QCH93 024 tap 5 matrix 5	33.1	33.08	1.000605	0.434
QCH93 1389 tap 1 matrix 1	16.21	51.98	0.311851	0.345
QCH93 1389 tap 1 matrix 2	50.03	28.82	1.735947	0

QCH93 1389 tap 1 matrix 3	25.56	48.32	0.528974	0.178
QCH93 1389 tap 1 matrix 4	16.54	54.27	0.304772	0
QCH93 1389 tap 1 matrix 5	19.23	36.58	0.525697	1.047
QCH93 1389 tap 2 matrix 1	34.64	34.94	0.991414	0.002
QCH93 1389 tap 2 matrix 2	31.14	36.38	0.855965	2.046
QCH93 1389 tap 2 matrix 3	47.78	29.69	1.609296	0.002
QCH93 1389 tap 2 matrix 4	34.11	37.92	0.899525	1.819
QCH93 1389 tap 2 matrix 5	35.93	37.18	0.96638	2.019
QCH93 1389 tap 3 matrix 1	67.1	21.84	3.072344	0.319
QCH93 1389 tap 3 matrix 2	63.52	21.68	2.929889	0.701
QCH93 1389 tap 3 matrix 3	23.29	36.41	0.639659	0.895
QCH93 1389 tap 3 matrix 4	24.53	35.67	0.687693	0.913
QCH93 1389 tap 3 matrix 5	30.75	35.47	0.86693	0.841
QCH93 1389 plate matrix 1	28.92	31.03	0.932001	0.919
QCH93 1389 plate matrix 2	21.94	35.23	0.622765	1.151
QCH93 1389 plate matrix 3	24.47	36.81	0.664765	1.017
QCH93 1389 plate matrix 4	25.15	35.99	0.698805	1.005
QCH93 1389 plate matrix 5	63.82	29.8	2.141611	0.206
QCH93 + matrix 1	0.936	58.1	0.01611	0.064
QCH93 + matrix 2	2.26	55.58	0.040662	0.074
QCH93 + matrix 3	7.17	51.23	0.139957	0.235
QCH93 + matrix 4	14.23	48.71	0.292137	0.664
QCH93 + matrix 5	5.76	52.93	0.108823	0.173
QCH93 +R matrix 1	30.69	33.59	0.913665	0.519
QCH93 +R matrix 2	64.99	29.99	2.167056	0.073
QCH93 +R matrix 3	46.64	37.7	1.237135	0.353
QCH93 +R matrix 4	51.52	32.31	1.594553	0.25
QCH93 +R matrix 5	23.82	38.03	0.626348	0.596

Ag <sub>2</sub> O	BaO	CoO	As <sub>2</sub> O <sub>5</sub>	CuO	CaO	NiO	MgO	Cl	Sb <sub>2</sub> O <sub>5</sub>	SnO <sub>2</sub>	PbO	SO <sub>3</sub>	ZnO		
-	-		0.128	0.06	-	0.186	0.029	-	0.013	-	0.074	0.035	0.068	0.023	
-	-		0.114	0.067	0.021	0.399	0.045	0.093	0.021	-	0.09	0.038	0.046	0.025	
-	-		0.134	0.048	0.009	0.043	0.023	-	-	-	0.067	0.019	0.022	0.028	
0.016	-		0.148	0.083	0.012	0.003	0.024	-	-	-	0.063	0.058	0.027	0.031	
-	-		0.131	0.019	0.019	0.069	0.036	-	-	-	0.068	0.013	0.013	0.019	
-	-		0.113	0.019	0	0.315	0.041	0.344	-	-	0.065	0.016	-	0.007	
-	-		0.102	-	0.014	0.295	0.04	0.455	0.003	-	0.091	0.005	0.016	0.013	
-	-		0.094	0.044	0.012	0.282	0.042	0.47	-	0.017	0.1	-	0.039	0.018	
-	-		0.096	-	0.009	0.285	0.032	0.373	0.02	-	0.089	0.012	-	0.014	
-	-		0.115	0.036	0.007	0.293	0.034	0.488	0.006	-	0.105	0.011	0.009	0.012	
-	0.01		0.025	-	0.018	6.01	0.06	-	0.084	-	-	-	1.123	0.008	
0.002	-		0.029	-	0.648	3.06	-	0.127	0.092	0.025	0.098	-	0.332	0.012	
-	-		0.044	-	0.013	3.01	0.034	0.124	0.118	-	0.094	0.011	0.305	0.025	
-	-		0.047	-	0.022	1.99	0.042	-	0.099	-	0.001	0.027	0.686	-	
0.002	-		0.035	-	0.031	7.43	0.038	-	0.01	-	-	0.016	1.656	0.017	
-	-		0.112	0.003	0	0.772	0.029	0.335	-	-	0.101	0.041	0.088	0.015	
-	-		0.151	0.027	0.004	0.007	0.022	-	0.001	-	0.084	-	0.011	0.026	
-	-		0.148	0.088	0.002	0.03	0.027	-	-	-	0.078	0.065	-	0.013	
-	-		0.143	0.044	-	-	0.037	0.029	0.003	-	0.078	0.013	0.015	0.021	
0	-		0.158	0.097	0.021	0.012	0.027	0.029	-	-	0.068	0.025	0.001	-	
-	-		0.094	0.087	-	0.47	0.021	0.367	-	-	0.1	0.026	0.012	0.021	
0.001	-		0.111	0.022	0.002	0.429	0.029	0.537	-	0.01	-	-	0.011	0.024	
-	-		0.099	-	-	0.376	0.03	0.502	0.01	-	0.085	0.049	-	0.018	
-	-		0.108	0.028	0.002	0.424	0.035	0.463	-	-	0.015	0.102	0.038	-	
-	-		0.108	0.04	0.003	0.543	0.031	0.176	-	-	0.002	0.097	0.069	-	
-	-		0.044	-	0.019	5.73	0.034	-	-	0.014	-	-	1.352	0.02	
0.002	-		0.038	-	0.018	6.1	0.044	-	0.003	-	-	-	1.142	0.009	
-	-		0.073	-	0.012	3.98	0.038	-	-	0.013	-	-	0.009	0.767	0.004
0.007	-		0.05	-	-	7.8	0.049	-	-	0.006	-	-	0.028	0.832	-
-	-		0.051	-	0.007	1.26	0.032	0.022	0.075	-	0.098	0.017	0.567	0.009	
-	-		0.152	0.083	0.003	-	0.026	0.023	0.004	-	0.068	0.023	0.039	0.028	
-	-		0.149	0.123	0.015	0.012	0.02	-	-	0.005	-	0.057	0.047	0.03	0.038

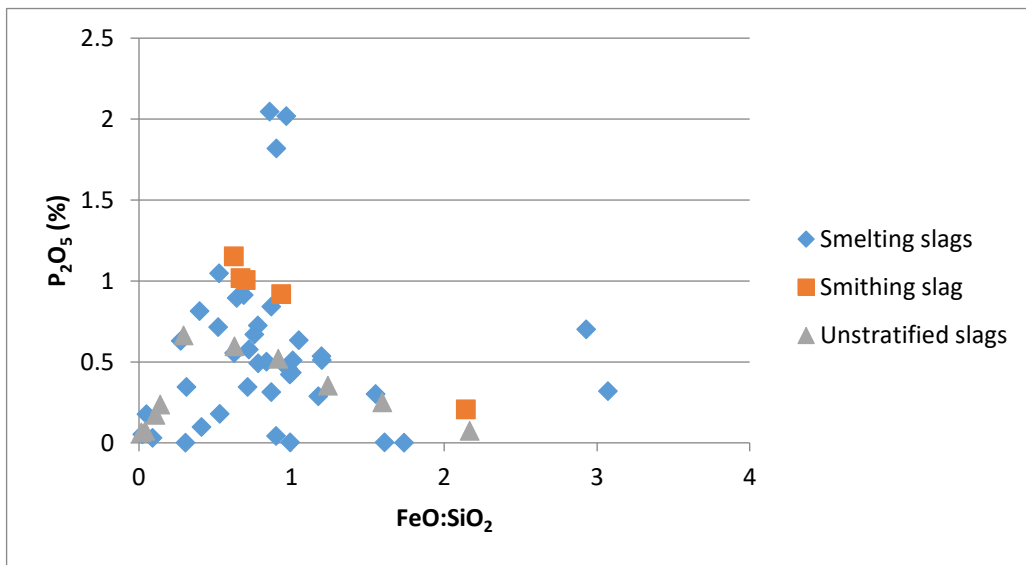
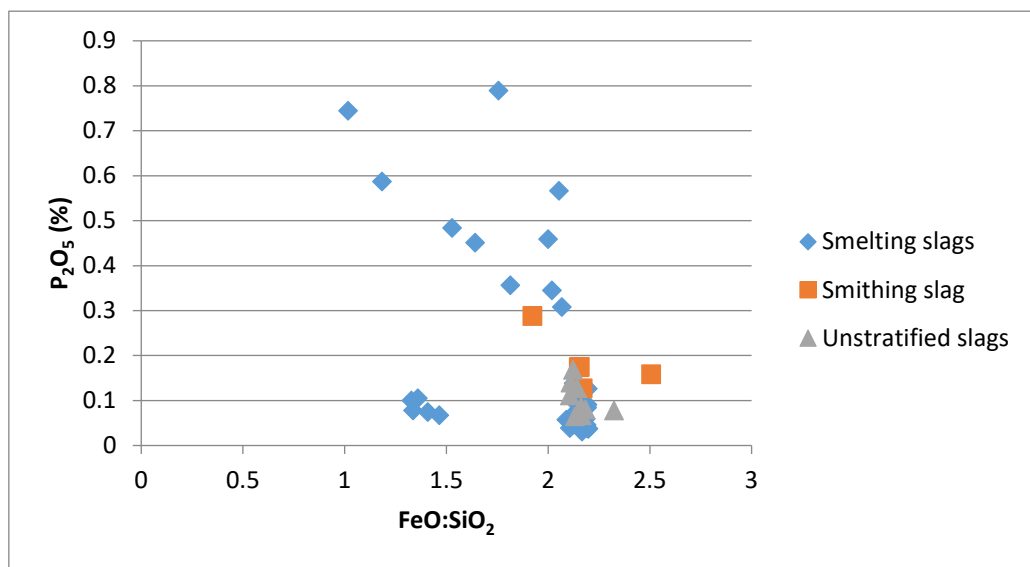
-	-	0.146	0.032	0.005	0.014	0.024	-	0.002	-	0.089	0.026	0.069	0.006
-	-	0.137	0.021	0.015	0.076	0.025	-	0.004	-	0.078	0.039	0.061	0.02
-	-	0.147	0.038	0.003	-	0.025	-	0.002	-	0.086	0.023	0.027	0.006
0.016	-	0.101	-	-	0.269	0.032	1.033	0.006	-	0.112	0.042	-	0.026
-	-	0.103	-	-	0.979	0.029	0.167	-	-	0.093	0.034	0.002	0.011
0.005	-	0.107	0.054	0.009	2.18	0.037	0.308	0.001	-	0.105	-	0.029	0.013
-	-	0.114	0.019	0.016	0.334	0.041	0.699	0.001	-	0.109	0.033	-	0.008
-	-	0.108	0.036	0.015	0.331	0.034	0.759	-	-	0.1	0.037	-	0.019
0.005	-	0.062	-	0.018	0.03	0.037	-	0.001	-	-	-	0.017	0.007
0.001	0.186	0.003	-	-	0.672	0.051	-	0.011	-	-	0.008	0.184	-
-	0.072	0.024	-	0.015	0.198	0.046	-	-	-	-	-	0.066	0.01
-	0.041	-	-	0.007	0.026	0.058	-	0.001	-	-	0.004	0.017	0.001
-	0.173	0.002	-	-	0.012	0.049	-	0.001	-	-	-	0.022	0.027
0.001	-	0.148	0.066	-	0.01	0.018	0.076	0.005	-	0.088	0.054	0.034	0.04
-	-	0.155	0.032	0.005	0.027	0.027	0.12	-	-	0.075	0.036	-	0.004
-	-	0.152	0.097	0.018	0.002	0.023	0.099	0.002	-	0.089	-	-	0.011
0.003	-	0.15	0.007	-	0.027	0.01	0.122	-	-	0.089	0.031	-	0.027
0.002	-	0.161	-	0.016	-	0.022	0.094	-	-	0.088	0.024	-	0.014
-	-	0.113	0.024	-	0.607	0.027	1.134	0.002	0.01	0.101	-	-	0.021
-	-	0.104	-	-	0.609	0.029	1.014	0.005	-	0.093	0.051	-	0.003
-	-	0.097	0.009	0.006	0.795	0.041	0.482	0.008	0.015	0.111	0.01	-	0.009
-	-	0.116	0.02	-	0.703	0.039	0.547	-	-	0.116	0.053	0.026	0.003
-	-	0.102	0.05	0.003	0.519	0.028	1.14	0.001	-	0.099	-	0.037	0.016
-	-	0.046	-	0.019	9.34	0.035	-	0.002	0.014	-	-	0.673	0.009
-	0.011	0.047	-	0.017	9.36	0.042	-	-	0.048	-	-	0.641	0.026
0.005	0.007	0.064	0.004	-	6.44	0.045	-	-	-	-	0.044	0.467	0.036
0.01	-	0.055	-	-	6.21	0.042	-	-	0.014	-	0.024	0.443	0.008
-	-	0.05	-	0.01	7.76	0.035	-	0.008	0.002	-	-	0.553	0.029
-	-	0.134	0.048	0.013	0.015	0.032	-	0.002	-	0.08	0.015	-	0.013
-	-	0.125	0.068	0.003	0.794	0.024	0.009	-	0.011	0.079	-	0.032	0.024
-	-	0.141	0.024	-	0.042	0.03	-	0.001	-	0.074	0.036	0.012	0.019
-	-	0.146	0.04	0.011	0.049	0.033	-	0.001	-	0.078	0.058	-	0.03
-	-	0.155	0.071	-	0.139	0.035	-	-	0.021	0.071	0.026	0.014	0.016

-	-	0.105	0.077	-	0.448	0.038	0.691	-	-	0.09	0.045	-	0.017
0.006	-	0.096	0.004	0.014	0.432	0.03	0.754	-	0.041	0.116	-	0.039	0.026
-	-	0.107	0.029	0.006	0.429	0.024	0.835	0.002	-	-	0.007	-	0.016
-	-	0.102	0.051	-	0.341	0.034	1.145	0.003	-	0.103	0.05	-	0.005
0.002	-	0.113	0.039	0.005	0.626	0.03	0.337	-	0.011	0.092	0.064	0.009	0.027
0.001	0.044	0.042	-	0.02	8.53	0.032	-	0.006	-	-	0.004	0.634	0.01
-	-	0.049	-	-	6.89	0.027	-	-	0.005	-	-	0.515	0.011
0.003	-	0.052	-	0.029	6.32	0.04	-	0.007	-	-	-	0.394	0.011
-	-	0.037	-	0.017	9.95	0.038	-	0.009	-	-	0.02	0.561	-
0.006	-	0.055	-	0.032	7.36	0.033	-	0.004	-	-	0.033	0.557	0.016
0.065	-	0.134	-	-	0.018	0.039	0.055	-	-	-	-	0.009	0.016
-	-	0.14	0.03	-	-	0.038	0.021	-	-	0.088	0.04	-	0.025
0	-	0.141	0.12	-	-	0.04	0.088	-	-	0.076	0.038	0.007	0.009
0.002	-	0.138	0.147	0.015	0.005	0.05	0.052	-	-	0.067	0.062	-	0.018
0.019	-	0.154	-	-	0.005	0.045	0.043	-	-	0.081	0.025	0.003	0.032
-	-	0.088	0.051	0.002	0.582	-	0.454	-	-	0.017	-	-	0.019
-	-	0.09	-	0.008	0.568	0.031	0.523	0	0.007	0.01	0.015	0.036	0.015
0.018	-	0.087	-	0.015	0.726	0.038	0.342	0.002	-	0.014	0.053	0.023	0.033
-	-	0.089	-	0.006	0.803	0.045	0.342	0.007	-	0.027	0.01	0.016	0.014
-	-	0.081	0.018	0.01	0.995	0.035	0.309	-	-	0.045	0.022	0.069	0.024
-	-	0.03	-	0.04	5.13	0.042	-	0.005	0.027	-	0.009	0.374	0.005
0.045	-	0.085	0.003	0.016	1.82	0.022	0.149	0.09	-	0.118	0.04	0.496	0.05
0.004	-	0.037	-	0.426	2.26	-	0.151	0.041	0.028	0.048	0.022	0.188	0.016
0.006	-	0.029	-	0.016	4.73	0.041	0.005	0.004	-	-	-	0.184	-
-	-	0.029	-	0.016	3.12	0.047	0.127	0.072	-	0.12	-	0.839	0.011
-	-	0.098	-	0.011	2.26	0.04	0.738	-	-	0.082	-	0.017	0.015
-	-	0.11	-	-	1.81	0.034	0.943	-	-	0.074	0.054	0.068	0.003
-	-	0.094	-	0.007	2.13	0.028	1.095	-	-	0.062	-	0.021	0.022
-	-	0.085	-	0.006	1.93	0.041	0.996	0.002	-	0.061	0.034	0.012	0.008
0.001	-	0.085	-	0	4.23	0.023	0.567	0.003	-	0.033	0.038	0.032	-
0.008	-	0.06	-	0.032	11.33	0.027	-	0.007	-	-	-	0.141	0.016
-	-	0.052	-	0.026	12.26	0.048	-	-	-	0.038	0.137	-	-
0.03	-	0.069	0.02	0.006	3.21	0.035	0.186	0.001	-	0.074	0.035	0.044	0.01

0.004	-	0.059	-	0.014	12.14	0.036	0.01	-	0.06	-	0.014	0.139	0.005
-	-	0.063	-	0.033	10.93	0.047	0.003	0.002	-	-	-	0.149	0.008
-	-	0.141	-	0.007	0.005	0.041	0.344	-	-	0.077	0.023	0.008	0.032
-	-	0.155	0.116	0.021	0.15	0.021	0.101	-	-	0.085	0.013	0.012	0.023
0.011	-	0.136	-	0.016	0.27	0.022	0.09	0.002	0.004	0.055	0.049	0.03	0.008
-	-	0.156	0.01	0.017	0.578	0.051	0.399	0.007	-	0.126	0.036	-	0.029
0.009	-	0.122	-	0.005	1.88	0.045	0.41	0.01	-	0.079	0.029	0.029	0.013
-	-	0.064	-	2.38	8.62	-	0.28	0.008	-	-	0.012	0.121	0.02
-	-	0.058	-	0.029	10.58	0.044	0.057	0.005	-	-	-	0.252	0.01
-	-	0.086	-	0.011	3.18	0.03	0.999	0.007	-	0.096	0.058	0.034	0.005
0.003	0.296	0.097	-	-	4.08	0.043	0.837	0.005	-	0.044	0.02	0.072	0.03
-	-	0.079	-	0.005	4.51	0.048	0.878	0.001	0.013	0.054	0.043	0.05	0.028
-	-	0.084	-	0.02	4.84	0.033	0.349	0.006	0.036	0.087	0.017	0.038	0.001
-	-	0.042	-	0.029	9.96	0.038	0.012	0.003	0.103	-	-	0.2	0.015
-	-	0.034	-	0.014	11.84	0.046	0.006	0.009	0.026	-	0.027	0.274	0.005
-	-	0.041	-	0.022	12.67	0.05	0.015	0.004	0.014	-	0.002	0.254	0.023
-	-	0.02	-	0.018	12.61	0.042	0.013	0.007	0.023	-	-	0.274	0.013
-	-	0.17	0.052	0.002	0.191	0.043	0.109	-	-	0.116	-	0.027	0.026
0.001	-	0.144	0.064	-	0.323	0.036	0.118	0.004	-	0.14	0.028	0.029	0.014
0.008	0.02	0.137	-	0.015	2.67	0.057	0.276	-	0.113	0.098	0.014	0.111	0.009
0.004	-	0.117	-	0.035	1.223	0.048	0.324	0.003	-	0.121	0.001	0.047	0.034
0.009	-	0.147	-	0.002	0.647	0.043	0.087	0.003	-	0.113	0.034	0.045	0.036
0.003	-	0.102	0.005	0.005	2.27	0.043	0.099	0.005	-	0.131	0.017	0.039	0.019
0.011	-	0.109	0.042	-	0.853	0.052	0.32	0.003	-	0.148	0.013	0.04	0.012
-	-	0.095	0.02	0.009	0.644	0.04	0.68	-	-	0.14	0.031	0.021	-
0.002	-	0.099	0.023	0.002	0.757	0.031	0.577	0.002	-	0.136	0.044	0.076	0.017
-	-	0.108	-	0.004	0.879	0.038	0.54	0.002	-	0.134	-	0.084	0.037
-	-	0.047	-	0.03	8.09	0.045	-	0.012	-	-	0.019	0.347	0.008
-	-	0.029	-	0.018	10.82	0.051	-	0.012	0.013	-	-	0.495	0.012
0.005	-	0.04	-	0.047	10.74	0.045	-	0.015	-	-	0.02	0.516	-
-	-	0.047	-	0.044	9.59	0.043	-	0.013	-	-	0.01	0.47	0.022
0.007	-	0.107	0.045	0.007	1.204	0.034	0.576	-	-	0.14	0.003	0.047	0.025
-	-	0.125	0.033	0.039	0.257	0.029	0.24	0.022	-	0.096	0.041	0.043	0.026

-	-	0.131	0.051	0.037	0.558	0.034	0.45	0.029	-	0.078	0.029	0.091	0.056
-	-	0.131	0.067	0.04	0.566	0.035	0.41	0.08	-	0.08	0.02	0.211	0.06
0.002	-	0.125	-	0.065	0.608	0.047	0.429	0.089	0.013	0.088	0.034	0.134	0.036
0.008	-	0.134	0.077	0.043	0.635	0.048	0.429	0.043	-	0.097	0.034	0.092	0.059
0.003	-	0.14	0.054	0.08	-	0.042	-	0.007	-	0.088	0.046	0.013	0.021
-	-	0.138	-	0.083	-	0.034	-	0.005	-	0.102	-	0.027	0.01
-	-	0.054	-	0.086	0.016	0.022	-	0.003	0.027	0.091	-	0.005	0.016
-	-	0.155	0.036	0.069	0.032	0.034	-	0.001	-	0.1	0.006	0.008	0.027
-	-	0.144	0.078	0.08	0.028	0.033	0.009	0.006	-	0.098	0.036	0.057	0.01
0.012	-	0.103	0.006	0.078	0.316	0.036	0.593	0.001	-	0.135	0.014	0.007	0.022
-	-	0.098	0.068	0.095	0.341	0.036	0.487	0.001	-	0.135	0.009	0.001	0.037
0.002	-	0.095	0.002	0.08	0.293	0.034	0.639	0.003	-	0.125	0.034	-	-
-	-	0.089	-	0.083	0.356	0.04	0.435	0.002	-	0.127	-	0.045	0.023
-	-	0.1	0.031	0.076	0.278	0.022	0.602	-	-	0.122	0.035	0.029	0.02
-	-	0.001	-	0.063	0.146	0.048	-	0.001	-	-	0.007	0.017	-
-	0.104	-	-	0.072	-	0.057	-	-	-	-	-	0.001	0.003
-	-	0.013	-	0.066	0.267	0.065	-	0.061	-	-	0.027	0.064	-
-	0.414	0.017	-	0.054	0.896	0.06	-	0.019	-	-	-	0.124	0.004
-	-	0.01	-	0.069	0.263	0.075	-	0.002	-	-	0.002	0.065	0.017
-	-	0.144	0.063	0.129	0.06	0.037	-	-	-	0.092	0.025	-	0.009
-	-	0.116	0.031	0.119	0.83	0.06	0.05	-	-	0.092	-	0.052	0.003
0.002	-	0.149	0.05	0.087	0.007	0.04	0.017	-	-	0.104	0.022	-	-
-	-	0.093	0.022	0.106	0.494	0.057	0.152	0.001	-	0.118	-	0.057	0.014
-	-	0.12	0.013	0.103	0.328	0.031	0.021	-	-	0.086	0.038	0.046	0.013
-	-	0.102	0.038	0.11	0.617	0.046	0.353	0.012	-	0.099	0.032	0.043	0.019
-	-	0.107	-	0.097	0.524	0.053	0.252	-	-	0.129	-	0.006	0.018
-	-	0.104	-	0.119	0.377	0.061	0.865	-	-	-	-	-	0.02
0.005	-	0.118	0.035	0.106	0.501	0.058	0.338	0.003	-	0.128	-	0.026	0.022
-	-	0.1	0.038	0.097	0.386	0.059	0.584	0.004	-	0.122	0.032	0.013	0.002
0.007	-	0.054	-	0.136	6.84	0.053	-	0.001	-	-	-	1.26	0.003
-	-	0.104	0.005	0.116	0.541	0.046	0.397	0.01	-	0.122	0.025	-	0.023
-	-	0.07	0.005	0.118	3.32	0.051	-	0.01	-	-	0.022	0.283	-
-	-	0.09	-	0.138	2.93	0.052	0.099	0.006	-	-	-	0.296	-

0.004 -      0.042 -      0.148      7.54      0.064 -      -      -      0.008 -      -      -      1.503 -



Blank Page

Blank Page

Blank Page

V2O3	-----	Total
0.042	-----	88.171
0.031	-----	90.539
0.052	-----	91.444
0.046	-----	91.093
0.049	-----	89.496
0.009	-----	97.378
0.011	-----	96.523
0.016	-----	96.246
0.017	-----	95.141
0.022	-----	96.431
0.017	-----	97.494
0.006	-----	86.341
0.011	-----	87.053
0.011	-----	96.19
0.007	-----	100.54
0.01	-----	93.333
0.053	-----	95.193
0.03	-----	95.7
0.05	-----	94.343
0.04	-----	94.768
0.008	-----	97.972
0.005	-----	97.351
-	-----	97.143
-	-----	97.095
0.016	-----	98.148
-	-----	101.538
-	-----	101.761
0.029	-----	107.883
-	-----	100.86
-	-----	98.443
0.111	-----	93.018
0.08	-----	95.194

0.066 -----	92.589
0.045 -----	93.738
0.147 -----	95.73
0.023 -----	98.166
- -----	97.705
0.004 -----	96.987
- -----	97.73
0.007 -----	97.367
0.002 -----	100.027
- -----	104.472
- -----	99.699
0.007 -----	107.099
- -----	105.613
0.045 -----	94.008
0.068 -----	94.344
0.064 -----	95.265
0.079 -----	95.33
0.045 -----	94.147
0.031 -----	97.171
- -----	97.466
- -----	97.409
0.007 -----	28.69
- -----	97.297
- -----	100.073
- -----	99.8
0.005 -----	101.31
- -----	98.658
- -----	98.237
0.073 -----	92.182
0.024 -----	93.076
0.07 -----	94.226
0.045 -----	94.424
0.059 -----	93.795

-	-----	96.6
-	-----	97.264
-	-----	97.29
0.005	-----	96.884
-	-----	96.591
-	-----	100.029
-	-----	99.976
0.002	-----	100.838
0.024	-----	100.084
-	-----	98.973
0.081	-----	90.053
0.027	-----	88.607
0.062	-----	89.59
0.021	-----	88.703
0.046	-----	88.039
0.003	-----	96.184
-	-----	98.508
-	-----	96.655
-	-----	97.328
0.02	-----	98.861
-	-----	95.145
-	-----	86.158
0.025	-----	89.128
0.019	-----	97.504
-	-----	78.883
0.019	-----	97.647
0.004	-----	96.521
0.016	-----	95.968
0	-----	97.628
0.039	-----	96.693
0.018	-----	97.137
0.015	-----	98.934
0.015	-----	82.323

0.005 -----	99.064
0.005 -----	101.299
0.017 -----	93.477
0.039 -----	94.825
- -----	93.765
0.027 -----	96.522
0.006 -----	99.188
0.005 -----	98.571
0.001 -----	101.19
0.019 -----	98.535
0.005 -----	95.764
- -----	97.124
0.006 -----	102.478
0.012 -----	119.763
- -----	97.101
0.014 -----	98.69
0.009 -----	98.77
0.018 -----	93.671
- -----	94.906
0.002 -----	99.025
0.008 -----	93.027
0.005 -----	92.63
- -----	96.205
0.016 -----	97.529
0.011 -----	96.343
0.005 -----	92.874
0.018 -----	97.491
0.001 -----	95.618
0.001 -----	98.26
- -----	99.728
- -----	100.879
0.004 -----	98.071
0.001 -----	85.309

0.002 -----	84.379
0.009 -----	85.311
0.022 -----	85.753
0.011 -----	85.776
0.012 -----	93.714
- -----	93.724
0.029 -----	92.704
0.013 -----	93.322
0.015 -----	93.495
- -----	96.85
- -----	96.566
0.001 -----	96.656
0.016 -----	93.897
0.006 -----	97.419
- -----	105.165
0.012 -----	105.346
0.007 -----	100.297
- -----	103.717
0.019 -----	103.872
0.106 -----	94.045
0.052 -----	99.329
0.096 -----	95.064
0.045 -----	100.085
0.108 -----	97.377
0.017 -----	97.153
0.017 -----	98.262
- -----	99.378
0.04 -----	97.393
- -----	97.678
- -----	96.645
0.016 -----	97.675
0.01 -----	107.62
0.023 -----	98.96

- ----- 101.314

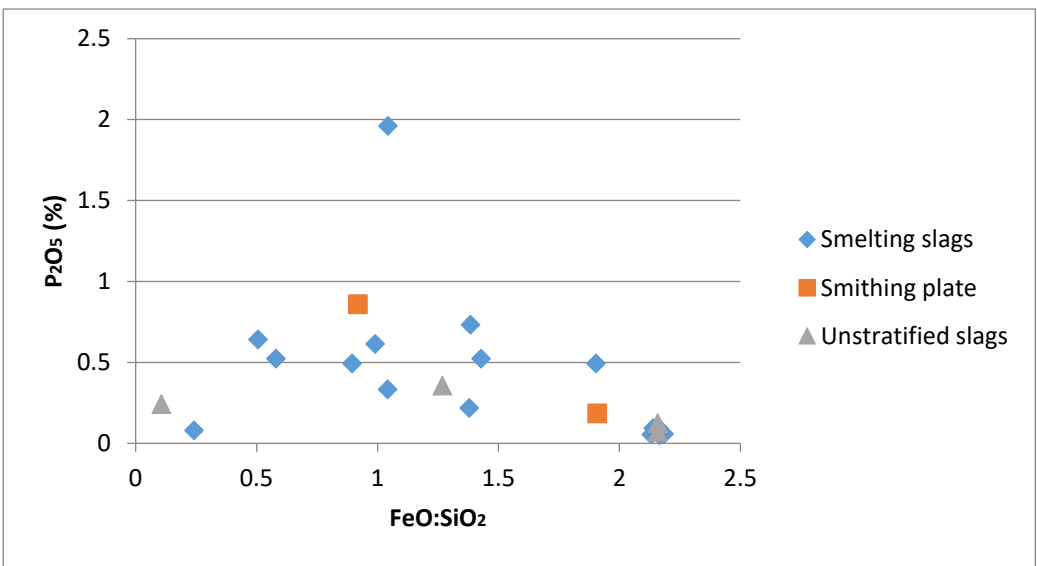
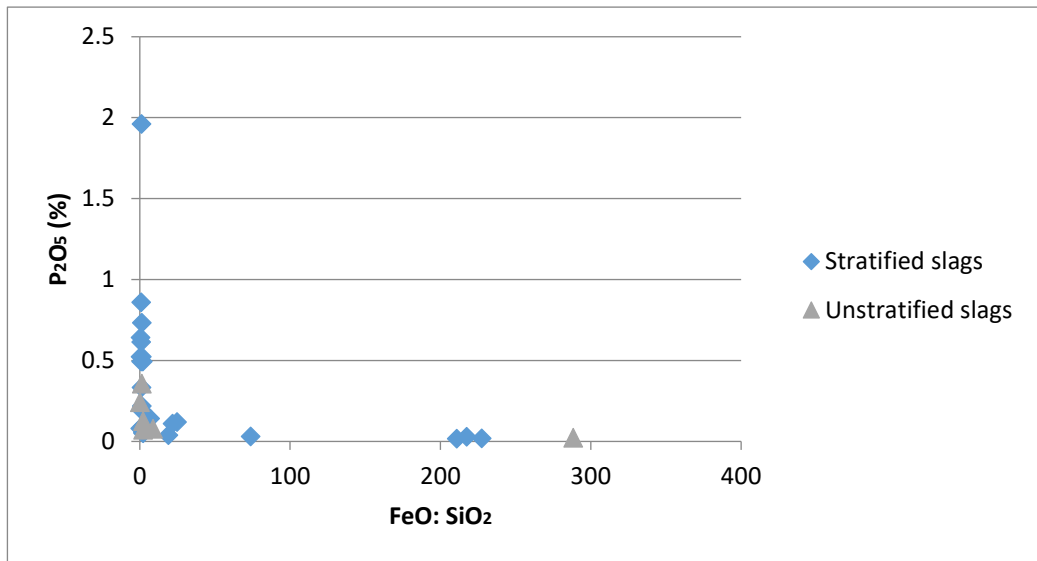
Element		Na2O	FeO	K2O	Cr2O3	SiO2	P2O5	TiO2	MnO	Al2O3	Ag2O
QCH93 024 tap 1 wustite		0.1005	83.436	0.1032	0.015	4.3808	0.03925	0.5078	0.1542	0.8766	0.016
QCH93 024 tap 1 fayalite		0.05	64.206	0.0266	0.002	30.118	0.0542	0.0205	0.4822	0.3732	BDL
QCH93 024 tap 1 matrix		0.6828	20.47	4.7218	BDL	40.49	0.6424	0.3994	0.1094	20.46	BDL
QCH93 024 tap 2 wustite		0.164	87.6	0.1202	0.017333	4.0288	0.111	0.2212	0.2492	1.722	BDL
QCH93 024 tap 2 fayalite		BDL	65.328	0.031	0.002	29.896	0.0586	0.024667	0.5828	0.4432	BDL
QCH93 024 tap 2 matrix		0.89125	34.456	4.6066	BDL	33.092	0.3338	0.2236	0.2054	22.378	BDL
QCH93 024 tap 3 wustite		BDL	91.636	0.0186	0.03	0.4028	0.019	0.7112	0.1996	0.5114	BDL
QCH93 024 tap 3 fayalite		0.047	64.706	0.0168	0.01	29.932	0.0938	0.04375	0.6724	0.3548	0.016
QCH93 024 tap 3 matrix		0.5908	11.8042	17.202	0.003	49.038	0.0804	0.258	0.0315	24.102	BDL
QCH93 024 tap 4 wustite		BDL	91.34	0.024	0.123333	0.4332	0.0172	0.2848	0.5042	1.455	BDL
QCH93 024 tap 4 fayalite		BDL	63.6475	0.02525	BDL	29.745	0.09475	0.028	1.495	0.41175	BDL
QCH93 024 tap 4 matrix		0.6768	32.762	3.724	BDL	33.092	0.6146	0.2442	0.6042	19.358	BDL
QCH93 024 tap 5 wustite		0.1015	88.788	0.1234	0.0354	1.2044	0.031	0.4984	0.2788	1.906	BDL
QCH93 024 tap 5 fayalite		0.091	64.29	0.0264	0.005	29.684	0.0502	0.02225	0.9742	0.3194	BDL
QCH93 024 tap 5 matrix		0.847	30.786	4.69	BDL	34.398	0.4942	0.2314	0.316	19.732	BDL
QCH93 1389 tap 1 wustite		0.0595	84.43	0.0376	0.22075	0.3884	0.029	0.6656	0.0566	2.714	0.042
QCH93 1389 tap 1 fayalite		0.282	52.242	1.596	0.006667	37.894	0.218	0.061	0.2426	3.742	0.018
QCH93 1389 tap 1 matrix		0.51725	25.514	1.8066	0.002	43.994	0.523333	0.313	0.2506	12.506	0.045
QCH93 1389 tap 2 fayalite		0.108	60.242	0.7514	0.005	31.664	0.4934	0.067	0.0974	1.084	BDL
QCH93 1389 tap 2 matrix		0.7605	36.72	4.6576	0.003	35.222	1.961333	0.368	0.0346	6.7282	0.03
QCH93 1389 tap 3 wustite		0.131	87.568	0.2708	0.032	3.5238	0.119	0.4008	0.2794	2.1692	0.011
QCH93 1389 tap 3 fayalite		0.1968	46.018	2.614	BDL	32.24	0.5244	0.2422	0.5306	8.316	BDL
QCH93 1389 tap 3 matrix		0.3372	41.838	3.8526	0.008	30.214	0.7338	0.439	0.2666	14.808	BDL
QCH93 1389 plate wustite		0.1978	77.862	0.1706	0.009	11.2126	0.1412	0.2284	0.31	2.853	BDL
QCH93 1389 plate fayalite		0.1478	63.172	0.2184	BDL	33.098	0.1844	0.031667	0.4892	0.827	BDL
QCH93 1389 plate matrix		0.6494	32.86	4.808	0.008	35.772	0.8596	0.1994	0.2242	16.3802	BDL
FLX89 803 14333 tech sample		0.059333	79.322	0.027	0.0045	1.7278	0.8644	0.023	1.0554	0.74	BDL
QCH93 + wustite		0.051	91.072	0.0632	0.005667	0.3158	0.02375	0.4712	0.2248	0.7492	BDL
QCH93 + fayalite		BDL	64.042	0.016	0.006	29.666	0.125	BDL	0.8334	0.3008	BDL
QCH93 + matrix		0.9058	5.6644	17.36	0.004	53.31	0.242	0.024	0.047	25.114	BDL
QCH93 +R wustite		0.151	78.27	0.2376	0.018	8.9462	0.078	0.4138	0.3058	7.9208	BDL
QCH93 +R fayalite		BDL	64.844	0.1138	0.00575	30.036	0.0734	0.022667	0.6714	0.7838	BDL

QCH93 +R matrix      1.3255    43.532    4.2964    0.005    34.324    0.3582    0.0824    0.3536    11.1142 BDL

	<b>FeO</b>	<b>SiO2</b>	<b>FeO:SiO2</b>	<b>P2O5</b>
QCH93 024 tap 1 wustite	83.436	4.3808	19.04584	0.03925
QCH93 024 tap 1 fayalite	64.206	30.118	2.131815	0.0542
QCH93 024 tap 1 matrix	20.47	40.49	0.505557	0.6424
QCH93 024 tap 2 wustite	87.6	4.0288	21.74345	0.111
QCH93 024 tap 2 fayalite	65.328	29.896	2.185175	0.0586
QCH93 024 tap 2 matrix	34.456	33.092	1.041218	0.3338
QCH93 024 tap 3 wustite	91.636	0.4028	227.4975	0.019
QCH93 024 tap 3 fayalite	64.706	29.932	2.161767	0.0938
QCH93 024 tap 3 matrix	11.8042	49.038	0.240715	0.0804
QCH93 024 tap 4 wustite	91.34	0.4332	210.8495	0.0172
QCH93 024 tap 4 fayalite	63.6475	29.745	2.139771	0.09475
QCH93 024 tap 4 matrix	32.762	33.092	0.990028	0.6146
QCH93 024 tap 5 wustite	88.788	1.2044	73.71969	0.031
QCH93 024 tap 5 fayalite	64.29	29.684	2.165813	0.0502
QCH93 024 tap 5 matrix	30.786	34.398	0.894994	0.4942
QCH93 1389 tap 1 wustite	84.43	0.3884	217.379	0.029
QCH93 1389 tap 1 fayalite	52.242	37.894	1.378635	0.218
QCH93 1389 tap 1 matrix	25.514	43.994	0.579943	0.523333
QCH93 1389 tap 2 fayalite	60.242	31.664	1.902539	0.4934
QCH93 1389 tap 2 matrix	36.72	35.222	1.04253	1.961333
QCH93 1389 tap 3 wustite	87.568	3.5238	24.85045	0.119
QCH93 1389 tap 3 fayalite	46.018	32.24	1.427357	0.5244
QCH93 1389 tap 3 matrix	41.838	30.214	1.384722	0.7338
QCH93 1389 plate wustite	77.862	11.2126	6.944152	0.1412
QCH93 1389 plate fayalite	63.172	33.098	1.908635	0.1844
QCH93 1389 plate matrix	32.86	35.772	0.918596	0.8596
QCH93 + wustite	91.072	0.3158	288.3851	0.02375
QCH93 + fayalite	64.042	29.666	2.158768	0.125
QCH93 + matrix	5.6644	53.31	0.106254	0.242
QCH93 +R wustite	78.27	8.9462	8.748966	0.078
QCH93 +R fayalite	64.844	30.036	2.158876	0.0734
QCH93 +R matrix	43.532	34.324	1.268267	0.3582

BaO	CoO	As2O5	CuO	CaO	NiO	MgO	Cl	Sb2O5	SnO2	PbO	SO3	ZnO	V2O3	
BDL		0.131	0.0645	0.02	0.14	0.0314	0.093	0.017 BDL	0.0724	0.03	0.0352	0.0252	0.044	
BDL		0.104	0.04	BDL	0.237	0.0378	0.426	0.013 BDL	0.09 BDL		0.0275	0.01425	0.018333	
BDL		0.036	BDL	0.1464	4.3	0.0435	0.1255	0.0806	0.025	0.096 BDL	0.8204	0.018	0.017	
BDL		0.1404	0.064	0.021	0.20525	0.0284	0.131 BDL	BDL	0.0818	0.053	0.0515	0.01875	0.04325	
BDL		0.104	0.051667	BDL	0.4484	0.0292	0.409	0.01 BDL	0.096	0.052 BDL		0.0202	0.016	
BDL		0.0512	BDL	0.0185	4.974	0.0394	0.022	0.075 BDL	0.098 BDL		0.932	0.02	0.029	
BDL		0.1462	0.069	BDL	0.034	0.024	0.023	BDL	0.07576	0.043	0.0452	0.028667	0.0898	
BDL		0.1066	0.045	0.016	0.8186	0.0346	0.5932	0.006 BDL	0.1038	0.037667	0.029	0.019333	0.023	
0.118		0.043	BDL	0.018	0.1876	0.0482	BDL	0.011 BDL	BDL	BDL	0.0612	0.027	BDL	
BDL		0.1532	0.065	0.017	0.0165	0.02	0.1022	BDL	BDL	0.0858	0.045	0.034	0.027	0.0602
BDL		0.104	0.05	BDL	0.6325	0.03125	0.9425	0.008 BDL	0.101	0.051	0.037	0.0185	0.031	
BDL		0.0524	BDL	0.018	7.822	0.0398	BDL	0.008	0.048 BDL	0.044	0.5554	0.030333	BDL	
BDL		0.07825	0.0454	BDL	0.2078	0.0308	BDL	BDL	BDL	0.071	0.047	0.023	0.0204	0.0542
BDL		0.1046	0.049	BDL	0.4552	0.0312	0.7524	BDL	0.041	0.10025	0.053	0.039	0.0215	BDL
0.044		0.047	BDL	0.0245	7.81	0.034	BDL	0.007333	BDL	BDL	BDL	0.5324	0.013	0.024
BDL		0.1414	0.099	BDL	0.009333	0.0424	0.0518	BDL	BDL	0.078	0.046667	BDL	0.02275	0.0474
BDL		0.087	0.051	BDL	0.7348	0.03725	0.394	0.007 BDL	0.0232	0.053	0.036	0.021	0.02	
BDL		0.04138	BDL	0.1028	3.412	0.038	0.142333	0.067667	0.0275	0.083	0.04	0.4162	0.033	0.00176
BDL		0.0944	BDL	BDL	2.346	0.03442	0.8678	BDL	BDL	0.0624	0.042	0.0345	0.0185	0.024667
BDL		0.0586	BDL	0.030333	9.974	0.0386	0.186	0.007	0.06	0.074	0.0365	0.122	0.016	0.018
BDL		0.142	0.116	0.018	0.5766	0.036	0.2688	0.0085	BDL	0.0844	0.0425	0.0295	0.027333	0.027667
0.296		0.0768	BDL	1.2045	6.194	0.04125	0.6102	0.0075	BDL	0.063667	0.0505	0.1058	0.026	0.019
BDL		0.0442	BDL	0.02225	10.384	0.0418	0.09725	0.007333	0.055	0.087 BDL		0.208	0.017	BDL
BDL		0.143	0.058	0.035	1.0108	0.0454	0.1828	BDL	0.113	0.1176	0.034	0.0518	0.0275	0.018
BDL		0.1026	0.042	BDL	1.0806	0.0408	0.4432	BDL	BDL	0.1378	0.044	0.052	0.02125	0.017
BDL		0.054	0.045	0.03475	8.0348	0.0436	0.576	0.013	BDL	0.14 BDL		0.3678	0.019667	BDL
BDL		0.1292	0.057	0.0448	0.5248	0.0386	0.3916	0.0526	BDL	0.0878	0.036333	0.1142	0.0474	0.022
BDL		0.1262	0.056	0.0796	0.025333	0.033	BDL	0.0065	0.027	0.0958	0.041	0.032333	0.021333	0.029
BDL		0.097	0.0495	0.0824	0.3168	0.0336	0.5512	BDL	BDL	0.1288	0.0345	0.037	0.0255	0.016
0.259	0.013333	BDL		0.0648	0.3144	0.061	BDL	0.04	BDL	BDL	BDL	0.0675	0.017	0.019
BDL		0.1244	0.048	0.1088	0.428	0.037	0.06	BDL	BDL	0.0984	0.038	0.051667	0.0135	0.0814
BDL		0.1062	0.037	0.1058	0.481	0.0554	0.4784	0.012	BDL	0.1195	BDL	0.027333	0.01975	0.024667

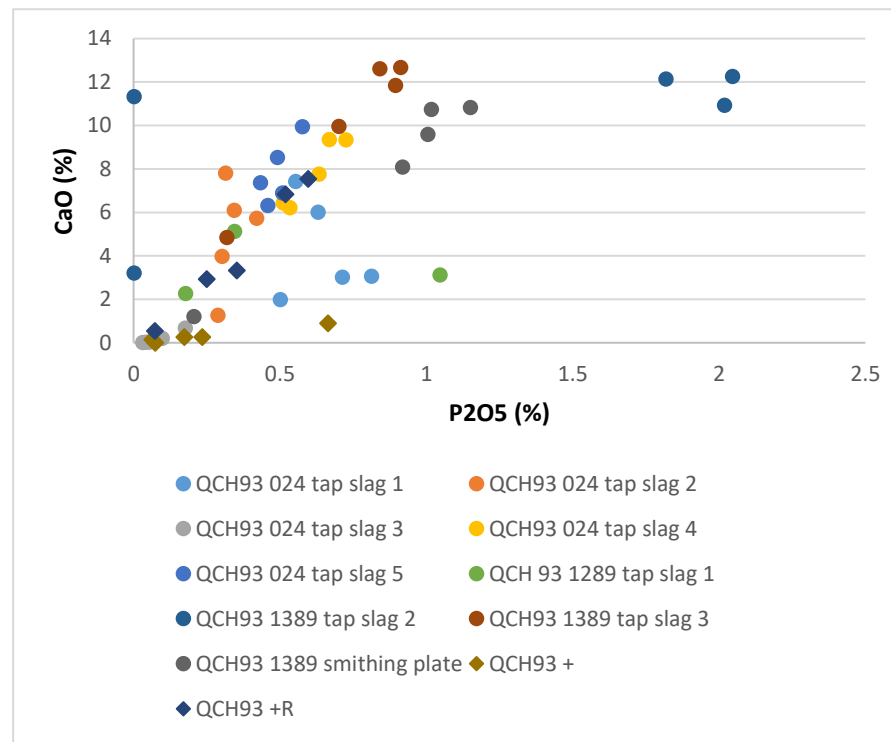
BDL 0.072 BDL 0.1312 4.2342 0.0532 0.248 0.0085 BDL 0.122 BDL 0.8355 0.023 0.0195



-----

**Total**

	P2O5	CaO
QCH93 024 tap 1 matrix 1	0.63	6.01
QCH93 024 tap 1 matrix 2	0.813	3.06
QCH93 024 tap 1 matrix 3	0.714	3.01
QCH93 024 tap 1 matrix 4	0.501	1.99
QCH93 024 tap 1 matrix 5	0.554	7.43
QCH93 024 tap 2 matrix 1	0.421	5.73
QCH93 024 tap 2 matrix 2	0.344	6.1
QCH93 024 tap 2 matrix 3	0.302	3.98
QCH93 024 tap 2 matrix 4	0.314	7.8
QCH93 024 tap 2 matrix 5	0.288	1.26
QCH93 024 tap 3 matrix 1	0.043	0.03
QCH93 024 tap 3 matrix 2	0.177	0.672
QCH93 024 tap 3 matrix 3	0.098	0.198
QCH93 024 tap 3 matrix 4	0.053	0.026
QCH93 024 tap 3 matrix 5	0.031	0.012
QCH93 024 tap 4 matrix 1	0.725	9.34
QCH93 024 tap 4 matrix 2	0.669	9.36
QCH93 024 tap 4 matrix 3	0.511	6.44
QCH93 024 tap 4 matrix 4	0.534	6.21
QCH93 024 tap 4 matrix 5	0.634	7.76
QCH93 024 tap 5 matrix 1	0.492	8.53
QCH93 024 tap 5 matrix 2	0.509	6.89
QCH93 024 tap 5 matrix 3	0.459	6.32
QCH93 024 tap 5 matrix 4	0.577	9.95
QCH93 024 tap 5 matrix 5	0.434	7.36
QCH93 1389 tap 1 matrix 1	0.345	5.13
QCH93 1389 tap 1 matrix 2	-	1.82
QCH93 1389 tap 1 matrix 3	0.178	2.26
QCH93 1389 tap 1 matrix 4	-	4.73
QCH93 1389 tap 1 matrix 5	1.047	3.12
QCH93 1389 tap 2 matrix 1	0.002	11.33
QCH93 1389 tap 2 matrix 2	2.046	12.26



QCH93 1389 tap 2 matrix 3	0.002	3.21
QCH93 1389 tap 2 matrix 4	1.819	12.14
QCH93 1389 tap 2 matrix 5	2.019	10.93
QCH93 1389 tap 3 matrix 1	0.319	4.84
QCH93 1389 tap 3 matrix 2	0.701	9.96
QCH93 1389 tap 3 matrix 3	0.895	11.84
QCH93 1389 tap 3 matrix 4	0.913	12.67
QCH93 1389 tap 3 matrix 5	0.841	12.61
QCH93 1389 plate matrix 1	0.919	8.09
QCH93 1389 plate matrix 2	1.151	10.82
QCH93 1389 plate matrix 3	1.017	10.74
QCH93 1389 plate matrix 4	1.005	9.59
QCH93 1389 plate matrix 5	0.206	1.204
QCH93 + matrix 1	0.064	0.146
QCH93 + matrix 2	0.074	-
QCH93 + matrix 3	0.235	0.267
QCH93 + matrix 4	0.664	0.896
QCH93 + matrix 5	0.173	0.263
QCH93 +R matrix 1	0.519	6.84
QCH93 +R matrix 2	0.073	0.541
QCH93 +R matrix 3	0.353	3.32
QCH93 +R matrix 4	0.25	2.93
QCH93 +R matrix 5	0.596	7.54

Element		Na2O	FeO	K2O	Cr2O3	SiO2	P2O5	TiO2	MnO
63	FLX89 51 small tap wustite 1	0.02	92.78	0.018	0.006	0.347	-	0.225	0.86
64	FLX89 51 small tap wustite 2	0.003	92.73	0.026	-	0.431	0.05	0.259	0.794
65	FLX89 51 small tap wustite 3	0.029	92.31	0.021	-	0.307	-	0.227	0.896
66	FLX89 51 small tap wustite 4	0.05	92.67	0.022	0.012	0.354	-	0.232	0.84
67	FLX89 51 small tap wustite 5	0.038	92.25	0.01	0.008	0.31	0.005	0.273	0.808
68	FLX89 51 small tap fayalite 1	0.052	62.12	0.027	-	29.38	0.466	-	2.88
69	FLX89 51 small tap fayalite 2	0.043	62.15	0.016	-	29.21	0.754	-	2.91
70	FLX89 51 small tap fayalite 3	0.051	62.65	0.019	-	29.49	0.642	-	2.87
71	FLX89 51 small tap fayalite 4	0.047	63.29	0.009	-	30.03	0.402	-	2.9
72	FLX89 51 small tap fayalite 5	0.039	62.2	0.026	-	29.91	0.263	-	2.88
73	FLX89 51 small tap matrix 1	0.044	45.88	0.008	-	0.609	-	0.417	0.837
74	FLX89 51 small tap matrix 2	0.02	46.98	0.022	-	0.857	0.007	0.486	0.849
75	FLX89 51 small tap matrix 3	0.097	45.79	0.031	-	1.382	0.039	0.489	0.813
76	FLX89 51 small tap matrix 4	-	48.06	0.024	-	0.353	0.012	0.637	0.841
77	FLX89 51 small tap matrix 5	0.017	46.33	0.017	0.017	0.517	0.016	0.504	0.814
78	FLX89 51 large tap wustite 1	1.83	19.35	8.21	0.014	36.38	4.98	0.115	0.063
79	FLX89 51 large tap wustite 2	0.12	90.75	0.168	0.047	0.963	0.064	0.476	0.07
80	FLX89 51 large tap wustite 3	1.9	21.08	7.53	-	35.28	3.26	0.09	0.068
81	FLX89 51 large tap wustite 4	0.902	77.5	1.82	0.012	10.43	0.659	0.429	0.056
82	FLX89 51 large tap wustite 5	0.037	92.07	0.087	0.013	0.596	0.03	0.505	0.087
83	FLX89 51 large tap fayalite 1	0.063	62.64	0.02	-	29.79	0.335	-	0.27
84	FLX89 51 large tap fayalite 2	0.102	60.89	0.031	-	29.45	0.468	0.024	0.262
85	FLX89 51 large tap fayalite 3	0.025	59.26	0.024	-	23.8	0.246	0.155	0.226
86	FLX89 51 large tap fayalite 4	0.024	59.7	0.021	0.016	23.95	0.257	0.203	0.233
87	FLX89 51 large tap fayalite 5	0.014	62.72	0.061	-	30.05	0.242	-	0.267
88	FLX89 51 large tap matrix 1	1.76	50.35	4.79	0.021	26.51	1.939	0.284	0.061
89	FLX89 51 large tap matrix 2	1.68	25.36	6.68	-	36.36	3.7	0.083	0.091
90	FLX89 51 large tap matrix 3	1.66	18.88	7.35	-	38.71	3.29	0.082	0.073
91	FLX89 51 large tap matrix 4	1.77	21.14	7.38	-	38.67	0.007	0.08	0.069
92	FLX89 51 large tap matrix 5	1.71	21.28	7.51	-	37.99	3.33	0.099	0.082
93	FLX89 2176 a wustite 1	0.01	64.11	0.034	0.005	28.65	0.308	0.019	2.09
94	FLX89 2176 a wustite 2	0.381	67.1	1.43	0.021	14.57	1.694	0.393	0.661

95	FLX89 2176 a	wustite	3		0.171	83.91	0.503	0.01	4.57	0.407	0.33	0.497
96	FLX89 2176 a	wustite	4		0.088	84.66	0.052	0.021	3.12	0.861	0.368	0.572
97	FLX89 2176 a	wustite	5		0.061	78.68	0.03	0.031	13.45	0.568	0.302	1.01
98	FLX89 2176 a	fayalite	1		0.05	63.36	0.016	-	29.74	0.123	-	2.28
99	FLX89 2176 a	fayalite	2	-		63.76	0.009	-	29.51	0.081	-	2.19
100	FLX89 2176 a	fayalite	3	-		62.8	0.016	0.007	30.09	0.286	-	2.37
101	FLX89 2176 a	fayalite	4		0.036	62.97	0.02	-	29.96	0.179	-	2.15
102	FLX89 2176 a	fayalite	5		0.048	63.46	0.014	0.009	29.58	0.005	-	2.17
103	FLX89 2176 a	matrix	1		0.828	28.68	4.91	-	33.62	4.36	0.316	0.577
104	FLX89 2176 a	matrix	2		0.655	29.76	4.4	-	33.41	4.28	0.259	0.679
105	FLX89 2176 a	matrix	3		0.711	26.65	4.73	0.001	33.26	4.57	0.254	0.576
106	FLX89 2176 a	matrix	4		0.835	25.8	5.44	-	34.36	4.41	0.149	0.57
107	FLX89 2176 a	matrix	5		0.838	27.13	5.12	-	34.1	4.77	0.236	0.59
108	FLX89 2176 b	wustite	1		0.004	92.63	0.015	-	0.249	0.012	0.084	0.741
109	FLX89 2176 b	wustite	2		0.144	91.64	0.029	-	0.157	0.024	0.068	0.708
110	FLX89 2176 b	wustite	3	-		88.1	0.027	0.014	3.71	0.443	0.152	0.822
111	FLX89 2176 b	wustite	4		0.098	92.2	0.032	0.021	0.373	0.041	0.112	0.71
112	FLX89 2176 b	wustite	5		0.083	92.07	0.029	-	0.326	0.017	0.105	0.714
113	FLX89 2176 b	fayalite	1		0.062	62.54	0.018	-	29.82	0.353	-	2.73
114	FLX89 2176 b	fayalite	2		0.048	62.34	0.038	-	29.13	0.744	-	2.7
115	FLX89 2176 b	fayalite	3		0.093	62.63	0.021	-	29.31	0.352	-	2.78
116	FLX89 2176 b	fayalite	4		0.076	62.69	0.026	-	29.42	0.293	-	2.76
117	FLX89 2176 b	fayalite	5		0.009	62.83	0.02	-	29.83	0.338	-	2.76
118	FLX89 2176 b	matrix	1		0.652	30.63	4.81	-	31.07	6.05	0.203	0.97
119	FLX89 2176 b	matrix	2		0.812	27.94	5.03	0.002	31.59	6.73	0.09	0.936
120	FLX89 2176 b	matrix	3		0.705	27.77	5.23	-	31.78	6.06	0.115	0.815
121	FLX89 2176 b	matrix	4		0.804	30.05	5.17	-	30.77	6.55	0.101	0.927
122	FLX89 2176 b	matrix	5		0.751	33.6	4.39	0.012	30.95	3.91	0.04	1.226
1	FLX89 1427	wustite	1		0.098	84.55	0.594	-	5.27	1.136	0.158	0.803
2	FLX89 1427	wustite	2		0.262	72.29	2.14	-	11.24	2.56	0.137	0.945
3	FLX89 1427	wustite	3		0.042	86.11	0.378	-	3.3	0.556	0.135	0.781
4	FLX89 1427	wustite	4		0.416	73.35	1.41	0.01	10.49	2.53	0.079	0.889
5	FLX89 1427	wustite	5		0.009	90.25	0.147	-	1.232	0.198	0.123	0.779

6	FLX89 1427 fayalite 1	-	62.73	0.019	-	30.13	0.483	-	2.85
7	FLX89 1427 fayalite 2	-	62.69	0.02	-	30.25	0.453	-	2.88
8	FLX89 1427 fayalite 3	0.028	61.56	0.01	-	30.42	0.434	-	2.9
9	FLX89 1427 fayalite 4	-	63.06	0.038	0.01	30.45	0.286	-	2.9
10	FLX89 1427 fayalite 5	0.023	62.62	0.027	-	30.45	0.287	-	2.88
11	FLX89 1427 matrix 1	0.848	26.86	5.34	-	30.48	8.08	0.075	0.849
12	FLX89 1427 matrix 2	0.887	31.64	4.73	-	32.32	5.59	0.048	1.113
13	FLX89 1427 matrix 3	0.777	29.76	4.65	-	30.9	7.46	0.053	1.001
14	FLX89 1427 matrix 4	0.908	29.4	5.08	-	31.17	7.66	0.026	1.081
15	FLX89 1427 matrix 5	0.875	27.89	4.92	-	31.9	6.81	0.046	0.906
16	FLX89 17513 f.i. stone 1	0.01	80.22	0.04	0.002	1.985	1.059	0	0.049
17	FLX89 17513 f.i. stone 2	-	80.51	0.033	-	1.51	1.16	-	0.108
18	FLX89 17513 f.i. stone 3	-	75.78	0.05	0.001	1.51	0.909	-	0.389
19	FLX89 17513 f.i. stone 4	0.011	74.7	0.019	-	1.305	0.616	-	0.269
20	FLX89 17513 f.i. stone 5	0.043	0.012	0.03	-	1.085	0.687	-	0.399
21	FLX89 4 2823 fayalite 1	0.884	18.43	2.44	-	48.07	1.034	0.231	0.703
22	FLX89 4 2823 fayalite 2	1.48	27.41	2.99	-	49.34	0.955	0.126	1.115
23	FLX89 4 2823 fayalite 3	0.085	61.12	0.219	-	31.03	0.256	-	2.26
24	FLX89 4 2823 fayalite 4	0.527	54.38	0.899	-	35.78	0.37	0.002	2.03
25	FLX89 4 2823 fayalite 5	0.29	56.41	0.766	0.012	34.24	0.387	-	2.08
26	FLX89 4 2823 matrix 1	1.49	25.76	2.89	-	51.09	1.069	0.179	0.977
27	FLX89 4 2823 matrix 2	1.38	16.15	3.37	-	53.4	1.313	0.258	0.649
28	FLX89 4 2823 matrix 3	1.208	18.16	2.97	0.009	51.73	1.365	0.244	0.689
29	FLX89 4 2823 matrix 4	1.042	19.74	2.38	0.012	50.75	1.274	0.301	0.756
30	FLX89 4 2823 matrix 5	1.222	20.25	2.66	0.012	50.7	1.248	0.253	0.772
31	FLX89 1995 fayalite 1	0.064	56.59	0.545	-	37.21	0.394	0.004	2
32	FLX89 1995 fayalite 2	0.097	58.99	0.443	0.007	34.35	0.441	-	1.97
33	FLX89 1995 fayalite 3	0.203	52.31	0.736	0.001	37.17	0.832	0.053	1.8
34	FLX89 1995 fayalite 4	0.007	64.53	0.122	-	30.53	0.578	-	1.261
35	FLX89 1995 fayalite 5	-	65.38	0.043	-	29.88	0.545	-	1.288
36	FLX89 1995 matrix 1	0.37	15.49	2.88	-	48.65	6.52	0.712	0.314
37	FLX89 1995 matrix 2	0.116	60.65	0.361	0.001	33.77	1.361	0.014	1.252
38	FLX89 1995 matrix 3	0.36	25.99	2.38	0.009	48.39	4.51	0.412	0.543

39	FLX89 1995 matrix 4		0.311	17.63	1.55 -		52.44	2.48	0.534	0.773
40	FLX89 1995 matrix 5		0.357	14.95	2.85 -		49.37	6.72	0.572	0.312
41	FLX98 10393 10449 wustite 1		0.039	92.24	0.021 -		0.306	0.017	0.278	0.103
42	FLX98 10393 10449 wustite 2	-		91.93	0.038	0.036	0.34	0.028	0.304	0.089
43	FLX98 10393 10449 wustite 3		0.025	92.56	0.029	0.04	0.571	0.06	0.204	0.08
44	FLX98 10393 10449 wustite 4	-		91.81	0.026	0.031	0.734	0.03	0.246	0.102
45	FLX98 10393 10449 wustite 5		0.018	92.39	0.021	0.017	0.354	0.004	0.25	0.081
46	FLX98 10393 10449 fayalite 1		0.046	61.85	0.015 -		29.44	0.687	0.007	0.325
47	FLX98 10393 10449 fayalite 2		0.032	60.01	0.101 -		29.83	0.73 -		0.31
48	FLX98 10393 10449 fayalite 3		0.099	60.03	0.049 -		29.74	0.708 -		0.316
49	FLX98 10393 10449 fayalite 4		0.065	61.38	0.024 -		29.94	0.711 -		0.306
50	FLX98 10393 10449 fayalite 5		0.054	61.46	0.032 -		29.97	0.979 -		0.313
51	FLX98 10393 10449 matrix 1		0.015	42.22	0.024	0.18	0.461	0.014	0.301	0.103
52	FLX98 10393 10449 matrix 2		0.054	44.11	0.01	0.096	1.13	0.047	0.332	0.117
53	FLX98 10393 10449 matrix 3		3.9	16.07	5.47 -		35.25	4.26	0.106	0.065
54	FLX98 10393 10449 matrix 4		4.17	13.91	5.51	0.001	34.8	7.61	0.033	0.048
55	FLX98 10393 10449 matrix 5		3.91	26.43	4.81 -		33.81	5.16	0.097	0.087
56	FLX89 2024 wustite 1		0.067	85.95	0.043 -		7.52	0.186	0.094	0.108
57	FLX89 2024 wustite 2		0.013	79.86	0.116 -		8.9	0.843	0.142	0.095
58	FLX89 2024 wustite 3		0.001	92.66	0.016 -		0.371 -		0.13	0.067
59	FLX89 2024 wustite 4	-		90.58	0.126 -		0.452	0.303	0.22	0.056
60	FLX89 2024 wustite 5	-		86.73	0.059	0.012	5.81	0.106	0.102	0.093
61	FLX89 2024 fayalite 1		0.057	64.75	0.02 -		28.83	1.16 -		0.264
62	FLX89 2024 fayalite 2	-		65.66	0.021 -		29.42	0.752 -		0.275
63	FLX89 2024 fayalite 3		0.04	65.01	0.02 -		28.94	0.878	0.005	0.261
64	FLX89 2024 fayalite 4		0.048	65.51	0.027	0.001	29.65	0.633 -		0.288
65	FLX89 2024 matrix 1		0.082	62.9	0.034 -		25.28	1.695	0.032	0.223
66	FLX89 2024 matrix 2		0.044	65.52	0.124 -		28.81	1.081 -		0.228
67	FLX89 2024 matrix 3	-		90.07	0.039 -		0.427	0.101	0.184	0.051
68	FLX89 2024 matrix 4		0.191	68.43	0.223	0.003	12.9	1.918	0.166	0.136
69	FLX89 2024 matrix 5		0.076	89.09	0.024 -		5.18	0.21	0.125	0.085
80	FLX89 2024 fayalite 5		0.066	65.84	0.015 -		29.08	0.612 -		0.247
70	FLX89 800 high density feature 1		0.041	63.38	0.026 -		1.361	2.118 -		0.385

71	FLX89 800 high density feature 2	0.07	60.22	0.036	-	0.27	0.402	-	0.173
72	FLX89 800 high density feature 3	-	67.8	0.021	0.057	2.28	2.84	-	0.839
73	FLX89 800 high density feature 4	0.029	60.91	0.013	-	0.16	0.208	-	0.113
74	FLX89 800 high density feature 5	0.059	62.09	0.032	-	0.511	0.885	-	0.123
75	FLX89 800 average density 1	-	68.83	0.017	-	2.27	1.945	-	3.72
76	FLX89 800 average density 2	0.054	69.58	0.028	-	2.1	2.141	-	3.4
77	FLX89 800 average density 3	0.058	68.61	0.017	-	1.891	2.038	-	3.68
78	FLX89 800 average density 4	-	69.02	0.017	-	1.865	1.923	-	3.47
79	FLX89 800 average density 5	-	72.74	0.014	-	2.46	2.283	-	2.22
1	FLX89 3256 5286 wustite 1	0.066	93.81	0.017	0.003	0.278	0.031	0.125	0.025
2	FLX89 3256 5286 wustite 2	-	93.01	0.02	-	0.277	0.026	0.154	0.033
3	FLX89 3256 5286 wustite 3	0.039	94.5	0.006	0.01	0.327	0.005	0.142	0.036
4	FLX89 3256 5286 wustite 4	0.002	94.17	0.014	-	0.372	0.03	0.129	0.033
5	FLX89 3256 5286 wustite 5	-	93.41	0.036	-	0.329	-	0.145	0.024
6	FLX89 3256 5286 fayalite 1	-	65.96	0.023	-	30.23	0.347	-	0.104
7	FLX89 3256 5286 fayalite 2	-	66.33	0.018	-	30	0.343	-	0.098
8	FLX89 3256 5286 fayalite 3	0.009	66.94	0.022	-	29.99	0.398	0.016	0.103
9	FLX89 3256 5286 fayalite 4	0.007	65.73	0.025	-	29.8	0.608	-	0.1
10	FLX89 3256 5286 fayalite 5	0.024	66.64	0.008	-	29.69	0.541	-	0.109
11	FLX89 3256 5286 matrix 1	2	41.99	7.08	-	31.96	4.24	0.131	0.025
12	FLX89 3256 5286 matrix 2	1.53	28.23	7.72	-	35.59	5.82	0.029	0.045
13	FLX89 3256 5286 matrix 3	1.335	27.21	7.06	-	37.37	4.74	-	0.034
14	FLX89 3256 5286 matrix 4	1.7	27.06	8.54	0.005	35.98	5.38	0.067	0.038
15	FLX89 3256 5286 matrix 5	1.59	29.81	7.13	-	35.29	5.32	0.071	0.036
16	FLX89 664 wustite 1	0.032	68.38	0.029	-	26.21	0.216	0.007	0.309
17	FLX89 664 wustite 2	0.035	80.96	1.173	0.023	6.6	0.577	0.177	0.126
18	FLX89 664 wustite 3	0.984	20.47	8.57	-	35.48	5.37	0.081	0.08
19	FLX89 664 wustite 4	0.041	69.13	0.031	0.016	22.22	0.578	0.137	0.239
20	FLX89 664 wustite 5	0.711	44.03	3.88	-	30.29	3.19	0.033	0.214
21	FLX89 664 fayalite 1	-	66.69	0.02	-	30.35	0.331	-	0.405
22	FLX89 664 fayalite 2	0.014	0.022	0.02	-	24.4	0.356	-	0.446
23	FLX89 664 fayalite 3	0.049	66.56	0.035	0.005	30.39	0.157	-	0.367
24	FLX89 664 fayalite 4	-	66.05	0.021	-	30.38	0.196	-	0.361

25	FLX89 664 fayalite 5	-	66.19	0.019	0.007	30.04	0.369	-	0.378
26	FLX89 664 matrix 1	0.973	23.41	8.52	-	34.23	5.44	0.035	0.111
27	FLX89 664 matrix 2	0.977	26.14	9.28	-	32.49	3.95	0.067	0.071
28	FLX89 664 matrix 3	0.811	23.37	8.16	-	32.49	5.27	0.079	0.081
29	FLX89 664 matrix 4	0.859	24.25	7.54	-	33.88	5.26	0.072	0.09
30	FLX89 664 matrix 5	0.778	30.32	6.04	-	33.29	4.76	0.23	0.124
31	FLX89 10384 10846 wustite 1	-	92.68	0.025	0.032	0.231	0.004	0.105	0.084
32	FLX89 10384 10846 wustite 2	0.048	93.08	0.024	0.005	0.254	-	0.068	0.098
33	FLX89 10384 10846 wustite 3	-	93.46	0.027	-	0.306	0.028	0.029	0.103
34	FLX89 10384 10846 wustite 4	-	93.3	0.026	0.019	0.464	0.001	0.06	0.083
35	FLX89 10384 10846 wustite 5	-	91.68	0.027	0.015	0.401	-	0.032	0.096
36	FLX89 10384 10846 fayalite 1	-	59.02	0.317	-	29.83	1.283	-	0.331
37	FLX89 10384 10846 fayalite 2	-	90.12	0.054	-	1.853	0.044	0.084	0.095
38	FLX89 10384 10846 fayalite 3	0.062	56.42	0.756	-	31.25	0.382	-	0.288
39	FLX89 10384 10846 fayalite 4	0.081	62.57	0.174	-	28.61	0.481	-	0.34
40	FLX89 10384 10846 fayalite 5	0.232	55.33	0.944	0.001	30.66	0.646	0	0.296
41	FLX89 10384 10846 matrix 1	0.252	54.85	2.1	-	33.22	1.544	0.028	0.306
42	FLX89 10384 10846 matrix 2	0.366	50.79	4.58	-	36.43	0.226	-	0.286
43	FLX89 10384 10846 matrix 3	0.178	68.96	4.6	0.051	9.56	0.037	0.084	0.094
44	FLX89 10384 10846 matrix 4	0.005	93.52	0.106	0.014	0.345	0.007	0.086	0.088
45	FLX89 10384 10846 matrix 5	0.504	22.93	1.17	0.012	8.65	31.62	-	0.136
46	FLX89 3107 Tap 1 wustite 1	0.913	46.37	0.878	0.021	25.22	1.908	0.251	0.371
47	FLX89 3107 Tap 1 wustite 2	0.015	85.04	0.171	0.008	3.71	0.309	0.422	0.241
48	FLX89 3107 Tap 1 wustite 3	0.276	77.83	0.281	-	8.21	0.631	0.415	0.286
49	FLX89 3107 Tap 1 wustite 4	1.63	35.93	1.56	-	32	2.37	0.066	0.371
50	FLX89 3107 Tap 1 wustite 5	0.022	89.1	0.067	0.066	3.54	0.212	0.377	0.231
51	FLX89 3107 Tap 1 fayalite 1	1.2	42.79	1.046	0.003	30.83	2.184	0.08	0.484
52	FLX89 3107 Tap 1 fayalite 2	1.148	49.5	0.94	0.027	24.22	1.726	0.243	0.415
53	FLX89 3107 Tap 1 fayalite 3	1.4	43.81	1.187	0.01	31.38	1.903	0.184	0.428
54	FLX89 3107 Tap 1 fayalite 4	1.277	44.1	1.23	-	31.34	1.971	0.233	0.465
55	FLX89 3107 Tap 1 fayalite 5	0.032	81.63	0.15	0.019	5.96	0.419	0.493	0.304
56	FLX89 3107 Tap 1 matrix 1	0.695	51.26	0.54	-	31.29	1.641	0.067	0.62
57	FLX89 3107 Tap 1 matrix 2	0.82	51.01	0.607	0.006	33.61	1.3	0.1	0.571

58	FLX89 3107 Tap 1 matrix 3		1.72	40.81	1.22	0.008	32.78	2.071	0.161	0.448
59	FLX89 3107 Tap 1 matrix 4		1.13	45.96	0.918	0.008	30.77	1.848	0.122	0.522
60	FLX89 3107 Tap 1 matrix 5		1.83	30.08	1.73	0.019	30.32	2.43	0.171	0.318
61	FLX89 3107 Tap 2 wustite 1		1.39	41.61	1.45	-	32.34	2.99	0.117	0.637
62	FLX89 3107 Tap 2 wustite 2		0.476	75.28	0.346	-	12.15	0.923	0.345	0.418
63	FLX89 3107 Tap 2 wustite 3		1.103	63.87	0.64	-	20.39	1.668	0.26	0.486
64	FLX89 3107 Tap 2 wustite 4		1.004	71.82	0.488	0.017	17.67	1.334	0.281	0.485
65	FLX89 3107 Tap 2 wustite 5		0.692	63.28	0.696	0.037	13.83	1.575	0.272	0.448
66	FLX89 3107 Tap 2 fayalite 1		0.716	65.02	0.552	-	20.11	1.374	0.268	0.497
67	FLX89 3107 Tap 2 fayalite 2		1.5	39.72	1.64	0.004	32.72	2.89	0.12	0.587
68	FLX89 3107 Tap 2 fayalite 3		1.39	40.18	1.44	-	32.74	3.12	0.127	0.608
69	FLX89 3107 Tap 2 fayalite 4		1.69	40.22	1.58	-	31.75	2.85	0.127	0.563
70	FLX89 3107 Tap 2 fayalite 5		2.27	33.65	2.23	0.002	28.82	3.18	0.406	0.248
71	FLX89 3107 Tap 2 matrix 1		2.46	35.5	1.62	-	33.65	2.97	0.105	0.535
72	FLX89 3107 Tap 2 matrix 2		1.67	44.06	1.191	-	31.39	2.8	0.069	0.66
73	FLX89 3107 Tap 2 matrix 3		2.51	27.98	2.45	0.022	34.26	0.018	0.134	0.42
74	FLX89 3107 Tap 2 matrix 4		1.143	48.12	0.922	-	31.33	2.55	0.071	0.709
75	FLX89 3107 Tap 2 matrix 5		2.2	28.93	2.04	-	32.34	3.3	0.153	0.433
76	FLX89 3107 Tap 4 wustite 1		2.16	31.44	2.41	-	31.83	2.32	0.196	0.191
77	FLX89 3107 Tap 4 wustite 2		1.312	63.9	1.52	-	13.01	1.223	0.456	0.135
78	FLX89 3107 Tap 4 wustite 3		2.32	25.07	2.93	-	35.52	3.07	0.157	0.177
79	FLX89 3107 Tap 4 wustite 4		2.59	26.66	2.93	-	30.75	3.62	0.218	0.153
80	FLX89 3107 Tap 4 wustite 5		2.78	22.32	3.36	-	35.34	3.11	0.153	0.145
81	FLX89 3107 Tap 4 fayalite 1		0.111	58.15	0.288	0.012	28.2	0.774	0.086	0.424
82	FLX89 3107 Tap 4 fayalite 2		0.122	60.13	0.035	0.006	30.48	0.234	0.025	0.489
83	FLX89 3107 Tap 4 fayalite 3		0.024	59.87	0.042	-	30.04	0.372	-	0.484
84	FLX89 3107 Tap 4 fayalite 4		0.059	53.8	0.559	-	29.34	0.848	0.122	0.412
85	FLX89 3107 Tap 4 fayalite 5		0.346	56.05	0.481	0.013	31.01	1.084	0.038	0.415
86	FLX89 3107 Tap 4 matrix 1		2.21	29.86	2.47	0.001	32.53	2.68	0.296	0.19
87	FLX89 3107 Tap 4 matrix 2		1.55	66.39	1.143	0.028	17.37	1.086	0.682	0.214
88	FLX89 3107 Tap 4 matrix 3		2.2	27.81	2.45	-	33.01	2.93	0.237	0.185
89	FLX89 3107 Tap 4 matrix 4		2.49	24.08	3.21	-	34.73	2.94	0.161	0.164
90	FLX89 3107 Tap 4 matrix 5		2.68	24.2	2.79	-	33.91	3.09	0.203	0.169

91 FLX89 3107 Tap 5 wustite 1		0.073	84.48	0.032 -		3.21	0.163	0.223	0.119
92 FLX89 3107 Tap 5 wustite 2		0.183	72.57	0.261	0.08	10.75	0.642	0.155	0.151
93 FLX89 3107 Tap 5 wustite 3	-		90.95	0.048	0.054	0.568	0.037	0.167	0.098
94 FLX89 3107 Tap 5 wustite 4		0.036	91.43	0.031	0.023	0.312	0.043	0.191	0.089
95 FLX89 3107 Tap 5 wustite 5		0.051	90.02	0.03	0.041	1.681	0.084	0.192	0.083
96 FLX89 3107 Tap 5 fayalite 1		0.033	69.75	0.018 -		4.35	2.137 -		0.042
97 FLX89 3107 Tap 5 fayalite 2		0.485	59.09	0.525	0.004	29.43	1.109	0.015	0.283
98 FLX89 3107 Tap 5 fayalite 3	-		53.45	0.029	0.033	13.99	0.275	0.241	0.189
99 FLX89 3107 Tap 5 fayalite 5		0.022	61.53	0.065 -		24.93	0.889	0.086	0.307
100 FLX89 3107 Tap 5 matrix 1		3.74	17.82	5.39 -		35.76	3.34	0.096	0.063
101 FLX89 3107 Tap 5 matrix 2		3.08	17.67	4.99 -		33.64	5.85	0.085	0.058
102 FLX89 3107 Tap 5 matrix 3		3.27	23.19	4.69 -		34.49	4.64	0.073	0.084
103 FLX89 3107 Tap 5 matrix 4		3.57	23.57	4.5	0.007	36.58	0.005	0.054	0.097
104 FLX89 3107 Tap 5 matrix 5		2.72	13.91	5.17 -		32.02	9.19	0.092	0.05
105 FLX89 3107 Tap 5 fayalite 5		0.625	57.68	0.684 -		17.75	4.65	0.194	0.17
106 FLX89 3107 Medium furnace slag wustite 1	-		92.98	0.016	0.04	0.203 -		0.332	0.052
107 FLX89 3107 Medium furnace slag wustite 2	-		92.46	0.015	0.074	0.252 -		0.342	0.051
108 FLX89 3107 Medium furnace slag wustite 3		0.005	92.51	0.026 -		0.232 -		0.398	0.072
109 FLX89 3107 Medium furnace slag wustite 4		0.038	92.36	0.031 -		0.333	0.023	0.291	0.052
110 FLX89 3107 Medium furnace slag wustite 5		0.036	79.94	0.019	0.082	0.345	0.069	0.27	0.064
111 FLX89 3107 Medium furnace slag fayalite1		0.054	63.67	0.033 -		29.71	0.567	0.013	0.251
112 FLX89 3107 Medium furnace slag fayalite2	-		63.03	0.017 -		29.84	0.405	0.029	0.256
113 FLX89 3107 Medium furnace slag fayalite3		0.024	63.89	0.013 -		29.96	0.357 -		0.22
114 FLX89 3107 Medium furnace slag fayalite4		0.005	64.87	0.033 -		30.4	0.302 -		0.224
115 FLX89 3107 Medium furnace slag fayalite5		0.014	63.39	0.011	0.005	30.88	0.199 -		0.236
116 FLX89 3107 Medium furnace slag matrix 1		4.1	16.02	6.94 -		41.87	2.65	0.331	0.025
117 FLX89 3107 Medium furnace slag matrix 2		0.033	62.06	0.049 -		9.19	1.546 -		0.155
118 FLX89 3107 Medium furnace slag matrix 3		2.84	17.45	9.33 -		28.79	12.48 -		0.05
119 FLX89 3107 Medium furnace slag matrix 4		3.17	16.2	5.9 -		37.49	5.65	0.18	0.03
120 FLX89 3107 Medium furnace slag matrix 5		4.46	30.15	4.36	0.02	38.2	1.58	0.169	0.054
121 FLX89 3107 Large furnace slag wustite 1		0.158	49.13	0.469	0.009	11.78	2.56	0.82	0.207
122 FLX89 3107 Large furnace slag wustite 2		1.36	38.63	2.22 -		27.99	2.81	0.09	0.261
123 FLX89 3107 Large furnace slag wustite 3	-		76.59	0.046 -		2.86	0.205	0.513	0.179

124	FLX89 3107 Large furnace slag wustite 4	0.107	77.44	0.062 -		12.61	0.571	0.268	0.293
125	FLX89 3107 Large furnace slag wustite 5	0.249	55.07	0.569	0.008	31.61	1.091 -		0.422
126	FLX89 3107 Large furnace slag fayalite 1	0.711	51.84	0.948 -		30.42	1.896	0.043	0.404
127	FLX89 3107 Large furnace slag fayalite 2	0.874	48.08	0.952 -		27.59	2.006	0.121	0.337
128	FLX89 3107 Large furnace slag fayalite 3	2.37	28.44	2.78 -		34.08	5.1	0.127	0.199
129	FLX89 3107 Large furnace slag fayalite 4	3.46	15.13	6.33 -		39.27	3.54	0.278	0.058
130	FLX89 3107 Large furnace slag fayalite 5	0.6	49.54	1.45 -		14.86	3.62	0.594	0.161
131	FLX89 3107 Large furnace slag matrix 1	3.89	17.55	6.33 -		40.9	1.428	0.361	0.067
132	FLX89 3107 Large furnace slag matrix 2	3.83	12.25	6.65 -		39.5	0.002	0.126	0.069
133	FLX89 3107 Large furnace slag matrix 3	2.16	43.62	1.42	0.003	36.99	0.017 -		0.311
134	FLX89 3107 Large furnace slag matrix 4	4.74	18.07	5.16 -		31.96	3.88	0.415	0.047
135	FLX89 3107 Large furnace slag matrix 5	4.81	15.74	5.41 -		44.03	1.085	0.203	0.068

13	FLX89 800 FeS	2.45	46.23	0.023	0.006	0.021	0.031 -		0.068
14	FLX89 800 FeS	1.73	46.06	0.02	0.001	0.032	0.006 -		0.072
15	FLX89 800 FeS	30.57	56.01	0.02 -		0.017	1.03	0.023	0.848
16	FLX89 800 FeS	11.52	47.6	0.034	0.005	0.04	0.382 -		0.094
17	FLX89 800 FeS	3.54	0.015	0.027	0.007	0.007	0.245 -		0.126

Al <sub>2</sub> O <sub>3</sub>	Ag <sub>2</sub> O	BaO	CoO	As <sub>2</sub> O <sub>5</sub>	CuO	CaO	NiO	MgO	Cl	Sb <sub>2</sub> O <sub>5</sub>	SnO <sub>2</sub>	PbO	SO <sub>3</sub>	
0.499	-	-		0.149	0.078	0.081	0.02	0.042	0.017	0.003	-	0.077	0.038	0.077
0.892	-	-		0.154	0.117	0.101	0.081	0.046	-	0.001	-	0.093	0.044	0.036
0.452	0.006	-		0.155	0.113	0.084	0.043	0.035	0.001	-	-	0.111	0.045	0.042
0.479	-	-		0.149	0.187	0.103	0.014	0.034	0.045	-	-	0.106	0.023	0.044
0.699	-	-		0.139	0.062	0.104	0.031	0.042	0.018	0.001	-	0.106	0.053	0.095
0.117	-	-		0.101	0.005	0.074	0.712	0.048	0.972	-	-	0.106	0.034	0.031
0.268	-	-		0.109	0.039	0.087	0.662	0.047	1.085	0.008	-	0.121	0.027	0.006
0.209	0.008	-		0.096	0.021	0.083	0.776	0.047	0.864	-	-	0.117	0.042	0.04
0.223	-	-		0.091	-	0.106	0.71	0.056	1.021	-	0.009	0.112	0.034	0.051
0.184	-	-		0.102	0.029	0.087	0.788	0.04	0.842	-	-	0.133	0.028	0.01
53.49	0.007	-		0.067	0.027	0.108	0.031	0.057	0.117	0.005	-	0.128	0.014	-
51.87	-	-		0.08	-	0.087	0.059	0.041	0.086	0.004	-	-	0.02	0.036
51.57	0.005	-		0.068	0.031	0.102	0.333	0.052	0.076	0.012	-	0.104	0.049	0.075
51.09	0.011	-		0.086	-	0.076	0.029	0.047	0.089	-	-	0.111	0.029	0.03
50.17	-	-		0.081	-	0.111	0.08	0.049	0.099	0.002	-	0.109	0.006	0.144
17.02	-	0.052		0.023	-	0.089	12.73	0.052	0.043	0.005	-	-	0.004	0.468
1.152	-	-		0.127	0.062	0.056	0.275	0.048	0.077	0.005	-	0.081	0.02	0.033
17.55	-	-		0.032	-	0.064	10.55	0.057	0.065	0.005	-	-	-	0.321
6.82	0.006	-		0.122	0.031	0.081	2.45	0.044	-	0.005	-	-	0.031	0.135
1.153	-	-		0.155	0.031	0.08	0.143	0.034	0.061	0.005	-	0.086	0.007	0.024
0.35	-	-		0.106	0	0.069	0.639	0.043	3.4	0.002	-	0.106	0.056	0.016
0.496	-	-		0.102	0.032	0.072	0.937	0.044	3.47	0.001	-	0.094	0.012	0.048
15.6	0.012	-		0.083	0.029	0.091	0.622	0.053	1.98	0.001	-	0.12	0.019	-
12.93	0.007	-		0.075	-	0.056	0.799	0.047	1.319	-	-	0.123	0.009	-
0.312	0.003	-		0.102	-	0.087	0.978	0.043	2.77	-	-	0.104	0.051	0.043
13.89	-	-		0.082	-	0.086	7.21	0.048	0.06	0.007	-	-	0.029	0.316
16.56	-	0.011		0.042	-	0.067	10.92	0.044	0.062	0.006	-	-	-	0.426
19.01	-	0.027		0.033	-	0.079	11.98	0.051	0.041	0.005	-	-	-	0.367
17.34	0.025	-		0.041	-	0.084	11.68	0.042	0.068	0.011	-	-	-	0.472
17.02	-	0.022		0.032	-	0.109	11.32	0.052	0.076	0.004	-	-	0.003	0.436
0.197	0.011	-		0.111	-	0.045	0.66	0.041	0.238	0.004	-	0.112	0.049	-
7.11	-	0.027		0.112	0.033	0.068	3.38	0.038	-	0.005	-	0.005	0.019	0.332

3.08	-	0.012	0.128	0.122	0.023	1.203	0.042	-	-	-	0.074	0.064	0.163			
2.57	-		0.137	0.003	0.02	1.145	0.045	-		0.006	-	0.096	-	0.046		
2.72	-		0.119	-	0.035	0.741	0.039	0.033	0.011	-	0.116	0.02	0.031			
0.077	-		0.101	0.026	0.029	0.548	0.056	0.447	-	-	0.12	0.023	0.046			
0.068	-		0.104	0.014	0.022	0.373	0.045	0.808	-	-	0.113	0.06	0.026			
0.154	-		0.105	-	0.058	0.438	0.049	0.772	0.003	-	0.116	0.003	0.065			
0.18	0.002	-		0.099	0.001	0.063	0.678	0.052	0.407	0.004	-	0.12	0.029	0.009		
0.252	0.178	-		0.101	0.005	0.05	0.558	0.045	0.47	0.002	-	0.116	0.046	0.019		
14.31	0.001	0.331	0.04	-		0.06	10.92	0.065	-	-	-	-	-	0.692		
13.72	-	0.291	0.06	-		0.036	11.73	0.059	-		0.005	-	-	1.27		
14.86	-	0.342	0.036	-		0.032	12.29	0.061	-		0.001	-	-	0.018	1.235	
14.71	-	0.426	0.037	-		0.043	12.54	0.064	-		0.003	-	-	-	1.107	
14.94	-	0.293	0.046	-		0.032	11.62	0.054	-		0.006	-	-	-	0.939	
0.58	-		0.148	0.082	-		0.014	-			0.002	-		0.086	0.003	-
0.599	0.003	-		0.151	0.093	0.052	0.003	0.038	0.004	0.004	-			0.109	0.022	-
0.504	0.011	-		0.146	-	0.072	0.68	0.028	0.024	0.009	-			0.095	0.028	0.074
0.488	-		0.149	0.049	0.077	0.055	0.043	-		0.001	-			0.107	0.019	0.025
0.469	-		0.144	0.057	0.072	0.045	0.044	-		0.003	-			0.092	0.059	0.019
0.2	-		0.106	0.047	0.073	0.914	0.052	0.38	0.002	-		0.118	0.01	0.051		
0.182	-		0.103	-		0.061	0.941	0.041	0.404	0.001	-			0.121	0.022	-
0.144	-		0.092	0.007	0.063	0.866	0.042	0.397	0.006	-				0.114	0.033	0.07
0.161	0.005	-		0.096	-	0.059	0.897	0.042	0.325	0.006	-			0.123	0.01	0.033
0.168	-		0.103	-		0.063	0.859	0.037	0.399	0.002	-			0.121	-	-
10.8	-	0.427	0.05	-		0.072	14.36	0.053	-		0.003	-	-	0.01	1.516	
12.06	0.009	0.472	0.046	-		0.072	14.2	0.056	-		0.018	-	-	0.016	1.725	
11.22	-	0.468	0.053	-		0.077	15.61	0.056	-		0.005	-	-	-	1.706	
11.35	0.012	0.506	0.044	-		0.081	13.55	0.055	-		0.008	-	-	-	1.495	
9.61	0.001	0.42	0.055	-		0.097	13.13	0.038	-		0.006	-	-	0.002	1.858	
3.5	-	0.075	0.123	0.05	0.035	3.46	0.043	-		0.002	0.073	0.014	0.038	0.496		
5.44	0.012	0.067	0.116	0.016	0.047	4.25	0.03	-	-	-	-	-	-	0.371		
1.93	-	0.01	0.134	0.001	0.039	1.323	0.028	-	-	-		0.065	-	0.103		
3.99	-	0.087	0.111	0.046	0.037	4.18	0.043	-		0.001	-		0.017	0.017	0.435	
1.088	-		0.145	0.03	0.054	0.286	0.034	0	0.005	-		0.06	0.006	-		

0.191	0.002	-	0.102	0.015	0.052	0.982	0.04	0.336	-	-	0.101	0.007	0.013
0.215	-	-	0.097	0.006	0.056	0.841	0.043	0.407	-	-	0.093	-	-
0.172	-	-	0.1	-	0.037	0.888	0.017	0.424	0.002	-	0.1	0.017	-
0.153	0.013	-	0.097	0.032	0.042	0.835	0.027	0.433	0.001	0.001	0.1	-	-
0.163	-	-	0.089	0.038	0.038	0.86	0.017	0.364	0.001	-	0.096	0.045	0.005
13.16	-	0.537	0.041	-	0.042	14.97	0.032	-	0.003	-	-	-	1.303
12.1	-	0.518	0.046	-	0.061	12.79	0.022	-	0.005	-	-	-	1.354
11.28	-	0.587	0.043	-	0.069	13.85	0.037	-	0.007	-	-	0.028	1.352
11.94	-	0.451	0.039	-	0.053	13.36	0.043	-	0.01	-	-	-	1.079
11.51	-	0.517	0.051	-	0.049	15.83	0.049	-	0.008	-	-	0.021	1.32
0.781	-	-	0.132	0.034	0.013	0.998	0.045	0.065	0.025	-	0.072	0.028	0.08
0.148	0.009	0.009	0.127	0.086	0.029	0.926	0.032	0.082	0.036	-	0.097	0.02	0.038
0.414	-	-	0.115	0.081	-	0.566	0.037	0.13	0.025	-	0.089	0.032	0.073
0.064	-	-	0.114	0.056	0.026	0.465	0.035	0.181	0.034	-	0.102	0.048	0.006
0.054	0.01	-	0.143	-	0.049	0.639	0.036	0.073	0.031	-	0.122	0.014	0.088
12.1	0.006	0.407	0.029	-	0.041	8.97	0.058	0.014	0.005	-	0.022	-	0.17
12.45	-	0.268	0.049	-	0.057	4.15	0.056	0.035	-	-	-	-	0.119
0.386	0.002	-	0.096	-	0.053	0.565	0.047	0.489	0.008	-	0.117	0.003	0.007
3.28	-	0.014	0.087	0.024	0.048	1.054	0.047	0.263	0.002	0.001	0.089	0.01	0.003
2.26	0.002	-	0.096	0.024	0.035	0.973	0.043	0.378	0.002	-	0.1	0.056	0.012
13.73	-	0.287	0.033	-	0.044	5.38	0.055	0.046	0.005	-	-	0.004	0.147
15.37	-	0.444	0.024	-	0.052	7.17	0.042	0.008	0.004	-	-	-	0.185
14.86	-	0.401	0.029	-	2	7.54	-	0.002	0.004	-	-	-	0.274
14.05	-	0.392	0.021	-	0.033	8.85	0.052	-	0.007	-	0.014	-	0.279
13.82	-	0.408	0.04	-	0.038	8.03	0.036	0.018	0.003	-	-	-	0.244
1.9	-	0.039	0.088	-	0.034	0.738	0.045	0.116	0.002	-	0.112	0.042	-
1.255	-	-	0.09	-	0.022	0.579	0.043	0.105	0.014	-	0.08	0.016	0.012
3.15	-	0.263	0.083	0.035	0.025	1.6	0.037	0.08	0.001	-	0.081	0.029	0.08
0.628	-	-	0.095	-	0.016	0.393	0.023	0.133	0.004	0.005	0.104	-	0.023
0.139	-	-	0.09	-	0.038	0.241	0.031	0.139	-	-	0.108	-	-
16.24	-	0.882	0.023	-	0.04	8.58	0.044	-	0.006	-	-	-	1.029
2.43	-	0.02	0.088	-	0.037	0.849	0.041	0.077	0.004	-	0.08	0.009	0.044
12.92	-	0.689	0.037	-	0.017	6.32	0.05	0.004	0.009	-	0.006	-	0.421

15.07	-	1.38	0.022	-	0.035	8.12	0.037	0.002	0.01	-	0.054	-	0.521
16.3	-	0.9	0.022	-	0.021	8.7	0.034	-	0.007	-	-	-	0.735
0.688	-	-	0.134	0.054	0.11	0.037	0.012	0.167	0.004	-	0.101	0.061	0.009
0.617	-	-	0.154	0.103	0.107	0.115	0.022	0.051	0.001	-	0.097	-	0.049
0.956	-	-	0.133	0.07	0.093	0.123	0.03	0.119	-	-	0.105	0.009	0.043
1	-	-	0.15	-	0.095	0.107	0.027	0.142	0	-	0.111	0.043	-
0.681	0.004	-	0.148	0.043	0.104	0.043	0.025	0.128	0.001	-	0.101	0.085	-
1.651	0.002	-	0.097	0.064	0.098	0.956	0.028	3.08	0.01	-	0.123	0.004	-
0.89	-	-	0.088	0.007	0.104	1.034	0.024	3.7	-	-	0.108	-	0.039
1.089	-	-	0.09	-	0.085	0.974	0.043	3.83	0.008	-	0.119	0.045	0.031
0.25	-	-	0.097	0.006	0.122	0.832	0.041	2.88	0.003	0.007	0.089	0.015	0.038
0.41	-	-	0.087	-	0.108	0.932	0.05	3.48	0.001	0.014	0.103	-	-
53.82	-	-	0.065	-	0.086	0.012	0.058	2.39	0.001	-	0.136	0.026	-
51.65	-	-	0.068	-	0.081	0.039	0.044	2.17	0	-	0.126	0.032	0.057
19.3	0.014	0.132	0.024	-	0.098	14.32	0.064	0.01	0.005	-	-	0.002	0.69
18.81	-	0.085	0.023	-	0.099	15.58	0.061	0.061	0.005	0.036	-	0.006	0.331
16.31	-	0.058	0.037	-	0.1	12.96	0.061	0.074	0.001	-	-	-	0.525
0.456	0.01	-	0.141	0.071	0.072	0.064	0.047	0.059	0.001	-	0.093	0.043	0.025
3.77	-	-	0.129	-	0.074	0.323	0.05	-	-	0.001	0.11	0.02	0.056
0.467	0.004	-	0.141	0.029	0.064	-	0.034	-	0.003	-	0.107	0.063	0.015
1.68	-	-	0.142	0.067	0.076	0.074	0.038	-	0.002	-	0.117	0.019	0.102
0.44	0	-	0.133	0.037	0.081	0.023	0.039	0.033	-	-	0.094	0.074	-
0.382	-	-	0.1	0.04	0.095	0.179	0.056	0.366	-	-	0.12	0.014	0.004
0.351	-	-	0.121	0.094	0.09	0.169	0.042	0.391	0.003	-	0.116	-	-
0.397	0.005	-	0.106	0.011	0.077	0.183	0.041	0.398	0.001	-	0.119	-	0.02
0.318	-	-	0.113	0.036	0.087	0.255	0.032	0.329	0.007	-	0.124	0.002	0.008
4.26	-	-	0.103	-	0.077	0.275	0.034	0.069	0.005	-	0.111	0.037	-
0.215	0.003	-	0.102	-	0.072	0.622	0.034	0.049	0.001	-	0.107	0.029	-
1.15	-	-	0.137	0.005	0.086	0.004	0.029	-	-	-	0.116	-	0.011
15.32	0.01	-	0.1	0.066	0.076	0.202	0.044	0.016	-	-	0.12	0.022	-
0.415	-	-	0.142	0.019	0.094	0.025	0.028	0.026	0.008	-	0.103	0.031	0.009
0.258	0.003	-	0.104	0.054	0.078	0.192	0.037	0.296	0.003	-	0.1	0.06	0.019
0.075	0.005	-	0.11	-	0.041	1.398	0.045	0.097	0.012	-	0.14	0.067	63.84

0.025	-		0.099	0.016	0.041	0.523	0.044	0.032	0.002	-	0.132	0.004	105.6
0.172	-		0.104	0.005	0.049	1.55	0.035	0.254	0.065	-	0.106	0.054	12.86
-	-		0.096	-	0.027	0.269	0.049	0.036	-	-	0.109	-	114.36
0.057	0.01	-	0.099	-	0.043	0.83	0.038	0.003	0.002	-	0.115	0.045	91.86
0.285	-		0.108	0.048	0.037	0.999	0.019	0.504	0.006	-	0.097	0.027	0.03
0.287	-		0.117	0.027	0.031	1.087	0.045	0.519	0.032	-	0.102	0.001	0.032
0.261	-		0.11	-	0.046	1.059	0.031	0.492	0.03	-	0.11	0.031	0.082
0.177	-		0.115	-	0.049	1.046	0.035	0.577	0.021	-	0.102	-	0.056
0.191	-		0.127	-	0.051	1.277	0.039	0.426	0.026	-	0.09	0.038	0.003
0.766	-		0.146	0.027	0.018	-	0.023	-	-	-	0.115	0.042	0.034
0.849	0.011	-	0.166	0.092	0.045	0.002	0.038	0.001	-	-	0.106	-	-
0.701	-		0.156	0.096	0.039	-	0.032	-	0.001	-	0.096	0.011	-
0.735	-		0.133	0.157	0.039	-	0.039	-	0.005	0.013	0.092	0.012	0.034
1.14	0.017	-	0.16	0.067	0.046	-	0.04	-	-	-	-	0.031	0.004
0.19	-		0.104	0.038	0.044	0.245	0.04	0.28	0.003	-	0.107	0.022	-
0.149	-		0.113	0.02	0.056	0.206	0.041	0.31	0.005	-	0.115	0.017	-
0.241	-		0.117	0.036	0.058	0.229	0.058	0.298	-	-	0.127	0.024	-
0.204	-		0.11	0.013	0.057	0.221	0.04	0.293	0.003	-	0.107	-	0.015
0.196	-		0.112	0.069	0.022	0.188	0.05	0.356	0.003	-	0.12	-	-
17.03	-	0.065	0.071	-	0.052	4	0.062	-	0.004	-	-	0.002	0.667
16.68	-	0.069	0.039	-	0.062	5.76	0.061	-	-	-	-	-	0.934
19.2	0.005	-	0.034	-	0.061	4.41	0.075	-	0.011	-	-	0.032	1.225
17.51	0.004	0.075	0.035	-	0.039	5.09	0.058	-	-	-	-	-	0.741
16.99	-	0.081	0.05	-	0.067	5.32	0.055	-	-	-	-	-	0.921
0.77	-		0.113	0.059	-	0.556	-	0.071	0.004	-	0.114	0.026	0.009
4.19	0.001	-	0.129	0.002	0.023	1.238	0.049	-	0.008	-	0.072	-	0.031
20.18	-	0.172	0.034	-	0.014	10.19	0.058	-	0.009	-	-	0.012	0.713
11.57	0.003	-	0.117	-	0.001	0.8	0.059	0.042	0.002	0.013	0.121	-	0.012
11.64	-	0.028	0.087	-	0	5.24	0.057	-	0.004	-	-	0.008	0.513
0.115	-		0.116	-	0.014	0.295	0.058	0.317	-	-	0.143	-	0.009
0.125	-		0.112	0	0.022	0.339	0.053	0.175	-	-	0.14	0.039	0.014
0.182	-		0.108	0.034	0.016	0.455	0.056	0.116	0.008	-	0.117	-	-
0.199	0.003	-	0.104	0.112	-	0.46	-	0.191	0.002	-	0.107	0.029	0.037

0.332	-	-	0.102	0.016	0.025	0.447	0.054	0.235	0.007	-	0.118	0.055	-
21.49	-	0.131	0.038	-	0.02	9.07	0.051	-	-	-	0.017	0.615	
18.36	0.002	-	0.036	-	0.034	8.56	0.051	-	0.007	0.035	-	0.025	0.84
19.65	-	0.067	0.043	-	0.024	8.55	0.057	-	-	-	-	0.726	
19.46	0.005	0.143	0.034	-	0.04	9.45	0.049	-	0.007	-	-	0.031	0.82
16.83	-	0.154	0.049	-	0.023	9.64	0.048	-	-	-	-	-	0.849
2.08	-	-	0.135	0.082	0.04	0.089	0.041	0	0.002	-	0.101	0.022	0.002
0.384	-	-	0.141	0.032	0.025	0.085	0.03	0.031	0.002	-	0.103	0.024	0.038
0.358	-	-	0.146	0.01	0.032	0.078	0.045	0.059	0.003	-	0.09	0.014	0.038
0.393	-	-	0.144	0.026	0.036	0.106	0.025	0.066	-	-	0.091	0.018	0.004
0.412	-	-	0.149	0.061	0.028	0.181	0.038	0.016	-	-	0.098	0.022	0.027
0.251	-	-	0.081	0.014	0.04	5.18	0.044	0.627	0.004	-	0.101	0.026	-
2	-	-	0.122	-	0.063	0.294	0.03	0.049	0.003	-	-	-	-
1.861	0.001	-	0.081	-	0.037	6.93	0.046	0.563	0.001	-	0.077	0.036	0.22
0.472	-	-	0.095	0.019	0.042	2.16	0.05	0.911	0.009	-	0.109	0.019	0.191
4.1	-	0.068	0.095	-	0.031	4.83	0.037	0.645	0.001	-	0.078	-	0.039
3.81	-	-	0.084	-	0.048	6.29	0.055	0.541	-	-	0.018	0.05	0.007
10.87	0.002	-	0.074	-	0.052	3.08	0.054	0.55	0.019	-	-	0.011	0.053
18.69	-	-	0.11	-	0.028	0.217	0.045	0.068	0.003	-	-	-	0.007
0.522	0.015	-	0.158	0.005	0.042	0.085	0.031	0.057	-	-	0.092	0.067	0.014
0.605	-	-	0.037	-	0.058	32.31	0.057	0.284	0.003	-	0.025	0.014	0.058
10.46	-	-	0.076	-	0.084	8.74	0.048	1.511	0.006	-	0.076	-	0.111
2.8	0.003	-	0.128	0.022	0.089	1.58	0.034	0.861	0.004	-	0.101	0.053	0.048
3.83	0.003	-	0.121	0.035	0.091	2.36	0.035	1.305	0.003	-	0.07	0.036	0.002
13.25	0.007	-	0.06	-	0.074	10.89	0.049	1.83	0.007	-	0.02	0.029	0.137
2.17	0.005	-	0.14	-	0.083	0.878	0.047	1.374	0.005	-	0.077	0.087	0.006
9.01	-	-	0.063	-	0.082	6.99	0.055	2.99	0.006	-	0.068	-	0.079
9.41	-	-	0.081	-	0.096	7.12	0.047	2.35	0.01	0.02	0.053	0.018	0.061
11.11	-	0.012	0.06	-	0.075	8.71	0.046	2.66	0.003	-	0.069	0.054	0.065
9.22	-	-	0.058	-	0.139	7.88	0.053	3.09	0.002	0.004	0.073	0.036	0.047
2.84	0.006	-	0.131	0.029	0.121	2.29	0.055	1.407	0.012	-	0.113	-	-
4.88	0.002	-	0.077	-	0.116	4.04	0.039	5.21	-	-	0.112	0.015	0.03
5.07	-	-	0.077	0.001	1.42	5.62	-	3.28	0.001	-	0.083	0.015	0.057

11.24	-		0.06	-	0.099	9.26	0.058	1.91	0.002	0.027	0.059	0.021	0.125
8.03	0.013	-	0.06	-	0.096	6.56	0.05	3.31	0.004	-	0.099	0.031	0.063
14.27	-	0.03	0.055	-	0.078	12.59	0.054	1.109	0.004	-	0.047	-	0.107
9.83	0.006	-	0.071	-	0.044	6.47	0.063	2.83	0.005	-	0.076	0.001	0.105
5.38	0.014	-	0.121	0.002	0.074	2.25	0.051	2.07	-	-	0.103	0.014	0
7.01	0.004	-	0.105	-	0.048	3.86	0.047	2.42	-	-	0.084	0.027	0.081
6.33	0.013	-	0.121	-	0.086	2.21	0.04	3.15	0.001	-	0.096	0.04	0.036
7.08	-		0.096	0.018	0.077	4.95	0.051	1.391	0.002	0.005	0.074	-	0.117
5.87	-		0.113	-	0.052	3.91	0.056	2.21	-	0.008	0.087	0.032	0.093
11.35	-		0.061	-	0.052	7.31	0.051	2.51	0.004	0.053	0.056	-	0.128
9.88	-		0.068	-	0.072	7.57	0.05	2.29	0.004	0.005	0.065	0.05	0.184
10.3	0.002	-	0.061	-	0.075	8.45	0.046	1.94	0.002	-	0.053	-	0.228
19.93	-	0.019	0.052	-	0.065	11.67	0.062	0.446	-	-	-	0.04	0.322
16.03	0.003	-	0.063	-	0.062	7.85	0.045	1.75	-	-	0.056	0.016	0.206
11.22	0.014	-	0.078	-	0.054	5.31	0.052	3.43	-	-	0.085	-	0.076
17.95	0.037	0.021	0.045	-	0.067	12.4	0.053	0.781	0	0.01	0	-	0.307
7.98	-		0.07	-	0.064	4.5	0.045	3.57	0.002	-	0.074	0.045	0.069
17.51	-		0.044	-	0.053	9.7	0.06	1.495	-	-	0.017	0.019	0.226
15.83	-		0.057	-	0.061	10	0.063	0.184	0.009	-	-	0.067	0.235
8.22	0.011	-	0.104	-	0.063	4.57	0.039	0.054	-	-	0.031	0.073	0.048
16.87	-		0.041	-	0.056	12.07	0.068	0.107	0.006	0.004	-	0.014	0.315
17.72	-		0.048	-	0.062	12.21	0.05	0.047	0.006	-	-	-	0.266
18.53	-	0.01	0.036	-	0.06	12.68	0.064	0.061	0.007	-	-	0.01	0.353
2.24	0	-	0.088	-	0.054	1.97	0.049	4.09	0.004	-	0.125	0.043	0.011
0.365	-		0.103	-	0.054	1.106	0.042	3.87	0.001	-	0.148	-	0.034
0.561	-		0.087	-	0.034	0.958	0.045	4.1	0.008	0.007	0.151	0.03	0.019
3.57	0.001	-	0.078	-	0.024	3.15	0.047	3	0.004	-	0.108	0.029	0.045
3.17	-		0.09	-	0.055	2.81	0.051	3.12	0.012	-	0.116	0.012	0.059
19.61	0.009	0.03	0.033	-	0.037	10.46	0.043	0.093	0.001	-	-	0.017	0.25
13.14	0.011	-	0.095	0.03	0.038	2.72	0.03	0.341	0.005	-	0.064	0.011	0.074
19.19	0.002	0.043	0.038	-	0.041	11.31	0.048	0.15	0.007	-	-	-	0.319
19.13	-		0.034	-	0.061	11.8	0.039	0.086	0.002	0.014	-	0.032	0.295
19.88	-		0.036	-	0.07	12.51	0.048	0.091	0.004	-	-	0.007	0.267

3.05	-		0.13	0.035	0.043	0.272	0.037	0.627	0.005	-	0.139	0.052	0.051
11.83	-		0.116	-	0.053	1.026	0.038	1.052	-	-	0.124	0.022	0.019
0.751	0.001	-	0.144	-	0.052	0.088	0.036	0.343	-	-	0.147	0.067	0.021
0.668	-		0.147	0.053	0.047	0.06	0.024	0.365	-	-	0.157	0.014	-
0.803	-		0.152	0.063	0.041	0.157	0.034	0.306	-	0.001	0.152	0.037	0.017
0.474	-		0.102	0.011	0.041	0.416	0.032	0.002	0.114	-	0.13	0.004	0.017
2.89	-		0.098	-	0.045	1.78	0.052	2.46	0.008	-	0.147	0.03	0.018
31.51	0.002	-	0.081	-	0.037	0.912	0.052	1.07	-	-	0.162	0.034	-
1.057	0.019	-	0.1	-	0.036	0.652	0.029	3.62	0.007	-	0.158	0.009	0.024
13.52	-	-	-	-	3.65	15.12	-	0.052	0.004	-	-	0.028	0.345
16.52	-	0.053	0.025	-	0.038	17.24	0.05	0.035	0.007	-	-	0.011	0.555
14.74	0.015	0.04	0.041	-	0.062	15.38	0.048	0.089	0.002	-	-	0.031	0.412
16.9	0.003	0.092	0.03	-	0.024	12.72	0.053	0.112	0.002	-	-	-	0.316
15.83	0.006	0.068	0.025	-	0.039	20.28	0.064	0.035	0.005	-	-	0.011	0.597
14.21	0.01	-	0.089	-	0.021	7.34	0.033	0.474	0.005	-	0.118	0.019	0.074
0.595	-		0.146	0.009	0.012	0.014	0.037	0.065	-	-	0.134	0.023	-
0.613	0.006	-	0.157	0.073	0.024	0.023	0.029	0.082	-	0.016	0.127	0.029	-
0.631	-		0.149	-	0.022	0.02	0.014	0.079	-	-	0.134	0.018	-
0.613	-		0.148	0.081	0.017	0.085	0.02	0.093	-	-	0.141	0.032	-
12.45	-		0.132	-	0.009	0.047	0.018	0.53	0.003	-	0.143	0.006	-
0.278	-		0.101	0.036	0.012	0.741	0.038	2.05	0.001	-	-	0.021	0.019
0.452	-		0.101	0.039	0.012	0.557	0.039	2.83	-	-	0.161	0.028	-
0.432	-		0.099	-	0.038	0.42	0.039	2.74	-	-	0.164	0.005	-
0.338	0.005	-	0.089	0.025	0.028	0.595	0.038	1.555	0.002	-	0.162	0.031	0.008
0.282	0.018	-	0.113	-	0.003	0.479	0.029	3.28	0.002	-	0.173	0.002	0.011
19.01	-	0.145	0.024	-	0.021	11.22	0.049	-	0.001	-	-	0.029	0.461
6.94	-		0.096	0.005	0.079	0.756	0.051	0.132	0.915	-	0.147	0.038	0.93
18.13	-	0.031	0.015	-	0.036	16.88	0.049	0.103	0.029	-	-	-	0.038
16.23	-	0.059	0.023	-	0.046	14.07	0.049	-	0.004	-	-	-	0.622
20.17	0.002	0.083	0.051	-	0.032	8.5	0.041	-	0.002	-	-	0.004	0.564
25.47	-		0.074	-	0.027	6.74	0.041	0.913	0.001	-	0.127	0.022	0.037
15.01	0.005	-	0.058	-	0.022	9.09	0.041	1.309	0.003	-	0.096	0.019	0.229
12.47	-	-	0.12	-	0.011	0.758	0.033	0.534	0.006	-	0.128	0.043	0.01

0.563	-		0.133	0.015	0.232	1.93	-	1.534	-	-	0.103	0.036	0.011
1.76	-		0.088	-	0.004	5.54	0.021	2.9	0.003	-	0.109	0.002	0.033
3.23	-		0.08	-	0.014	3.99	0.034	3.37	-	-	0.122	0.011	-
17.18	0.001	-	0.075	-	0.022	7.32	0.046	1.89	0.003	-	0.113	0.004	0.104
12.19	-		0.058	-	0.041	16.17	0.036	0.655	-	-	0.057	0.003	0.321
19.26	-	0.064	0.02	-	0.047	12.13	0.048	0.125	-	-	-	-	2.076
22.56	0.002	-	0.073	-	0.015	8.51	0.033	0.666	0.003	-	0.1	0.019	0.177
20.99	-	0.095	0.032	-	0.052	9.59	0.047	0.172	0.002	-	-	0.016	0.47
19.47	0.016	0.111	0.01	-	0.045	13.19	0.055	0.101	0.001	-	-	0.013	0.5
5.59	0.031	-	0.072	-	0.024	12.64	0.047	1.391	0.002	-	0.122	-	0.082
23.61	-	0.05	0.035	-	0.046	10.46	0.046	0.161	-	-	0.032	0.011	0.625
22.17	0.014	0.052	0.038	-	0.008	7.85	0.049	0.027	0.004	-	0.067	0.009	0.643

0.08	0.004	-	0.08	0.036	0.034	0.096	0.054	-	-	-	0.195	0.002	0.013
0.06	-		0.085	0.032	0.029	0.157	0.05	-	-	-	0.202	0.005	0.002
1.05	-		0.103	0.084	0.04	0.911	0.057	0.013	0.024	-	0.148	0.205	0.028
0.281	0.021	-	0.093	-	0.043	0.622	0.068	-	-	-	0.175	0.002	0.049
0.128	0.008	-	0.1	0.025	0.035	0.216	0.063	-	0.003	-	0.219	0.012	-

ZnO	V2O3	-----	Total
-	0.089	-----	95.426
0.009	0.094	-----	95.962
0.016	0.055	-----	94.948
0.038	0.076	-----	95.478
0.033	0.094	-----	95.178
0.003 -	-----		97.13
0.016	0.001	-----	97.56
0.022	0.03	-----	98.079
0.015	0.03	-----	99.135
0.02	0.024	-----	97.606
0.02	0.099	-----	101.966
0.033	0.073	-----	101.609
0.02	0.116	-----	101.253
0.006	0.103	-----	101.635
0.042	0.11	-----	99.235
0.011	0.018	-----	101.458
0.027	0.139	-----	94.761
0.003	0.005	-----	97.86
0.029	0.12	-----	101.68
0.003	0.166	-----	95.374
0.007	0.025	-----	97.936
0.025	0.028	-----	96.588
0.017	0.045	-----	102.41
0.021	0.059	-----	99.849
0.016	0.029	-----	97.892
-	0.059	-----	107.502
-	0.004	-----	102.095
0.001 -	-----		101.638
-	0.003	-----	98.884
0.014 -	-----		101.089
0.005	0.017	-----	96.715
0.005	0.05	-----	97.435

0.026	0.047 -----	95.384
0.004	0.032 -----	93.844
0.029	0.033 -----	98.06
-	0.013 -----	97.056
0.002	- -----	97.187
0.01	0.025 -----	97.368
-	- -----	96.961
0.016	- -----	97.144
-	0.028 -----	99.737
0.014	- -----	100.628
0.006	0.003 -----	99.636
0.015	- -----	100.51
0.016	- -----	100.729
0.019	0.019 -----	94.687
0.019	0.023 -----	93.89
0.007	0.019 -----	94.966
0.02	0.042 -----	94.662
0.001	0.023 -----	94.373
0.016	0.002 -----	97.495
0.03	0 -----	96.908
0.004	- -----	97.024
0.021	0.023 -----	97.067
0.025	- -----	97.565
0.013	- -----	101.688
-	- -----	101.805
0.01	0.008 -----	101.687
0.023	- -----	101.495
0.028	0.003 -----	100.127
0.018	- -----	100.535
0.016	0.01 -----	99.949
0.015	0.025 -----	94.976
-	0.014 -----	98.151
0.021	0.009 -----	94.476

0.005	-	-----	98.059
0.013	-	-----	98.063
0.016	-	-----	97.125
0.022	0.017	-----	98.516
0.025	-	-----	98.03
0.01	-	-----	102.632
0.021	-	-----	103.244
0.01	-	-----	101.863
0.024	-	-----	102.324
0.012	-	-----	102.713
0.055	0.035	-----	85.729
0.053	0.007	-----	85.02
0.032	0.004	-----	80.237
0.035	-	-----	78.087
0.016	0.037	-----	3.567
0.001	0.048	-----	93.663
-	0.016	-----	100.616
-	0.034	-----	96.777
0.025	0.028	-----	98.964
-	0.01	-----	98.176
0.007	0.027	-----	103.221
-	0.036	-----	99.855
0.003	0.023	-----	101.511
0.011	0.014	-----	99.978
0.013	0.034	-----	99.803
-	0.009	-----	99.932
0.027	0.01	-----	98.551
0.017	0.011	-----	98.597
0.023	0.012	-----	98.488
0.023	0.014	-----	97.958
0.02	0.066	-----	101.867
0.015	0.03	-----	101.249
0.007	0.034	-----	103.11

-	0.018 -----	100.986
0.011	0.095 -----	101.954
-	0.129 -----	94.51
-	0.13 -----	94.209
0.018	0.121 -----	95.389
0.009	0.099 -----	94.762
-	0.103 -----	94.602
-	0.023 -----	98.506
0.014 -	-----	97.02
0.012	0.004 -----	97.273
0.021 -	-----	96.825
0.002 -	-----	97.996
0.02	0.327 -----	100.26
0.012	0.254 -----	100.429
0.003	0.023 -----	99.806
0.02	0.016 -----	101.215
0.01	0.031 -----	104.472
0.01	0.004 -----	95.064
0.007	0.018 -----	94.526
0.017	0.035 -----	94.224
0.03	0.019 -----	94.103
0.012	0.048 -----	93.928
0.01 -	-----	96.447
0.002	0.003 -----	97.508
0.004 -	-----	96.516
0.01	0.01 -----	97.486
0.013	0.029 -----	95.259
-	0.012 -----	97.052
0.013	0.032 -----	92.456
0.017	0.031 -----	99.99
0.006	0.018 -----	95.716
0.01	0.01 -----	97.082
0.011 -	-----	133.151

-	-	-----	167.69
0.009	0.017	-----	89.118
0.014	-	-----	176.392
0.021	0.026	-----	156.848
0.025	0.003	-----	78.97
0.033	-	-----	79.615
0.014	0	-----	78.562
0.027	-	-----	78.5
0.011	-	-----	81.995
-	0.008	-----	95.535
0.008	-	-----	94.837
0.012	0.009	-----	96.219
0.023	-	-----	96.032
0.033	0.01	-----	95.492
0.03	-	-----	97.766
-	0.018	-----	97.839
0.012	-	-----	98.679
0.012	-	-----	97.345
0.021	-	-----	98.15
0.007	-	-----	109.388
-	-	-----	102.569
0.015	-	-----	102.818
0.012	-	-----	102.335
-	0.011	-----	102.741
0.021	-	-----	96.925
0.016	0.071	-----	95.5
0.013	-	-----	102.429
0.02	0.055	-----	105.206
0.013	0.006	-----	99.944
0.021	-	-----	98.885
0.01	-	-----	26.286
-	0.017	-----	98.673
0.002	0.018	-----	98.273

0.016	0.013 -----	98.424
0.012 -	-----	104.164
0.024	0.018 -----	100.966
0.016	0.009 -----	99.404
-	-----	101.991
-	-----	103.136
0.016	0.098 -----	95.87
-	0.075 -----	94.546
0.01	0.114 -----	94.95
-	0.098 -----	94.958
0.004	0.104 -----	93.39
0.004	0.004 -----	97.156
0.016	0.104 -----	94.931
0.015	0.031 -----	99.057
0.005	0.013 -----	96.351
0.018	0.008 -----	98.06
0.017 -	-----	103.222
-	0.006 -----	107.45
0.021	0.126 -----	102.88
0.027	0.078 -----	95.364
-	0.004 -----	98.481
0.023	0.089 -----	97.157
0.023	0.203 -----	95.865
0.021	0.153 -----	95.994
0.017 -	-----	100.298
0.017	0.201 -----	98.702
-	-----	97.961
0.011	0.107 -----	97.604
0.027	0.045 -----	103.238
0.01	0.028 -----	101.257
-	0.138 -----	96.15
0.003	0.021 -----	100.658
0.024	0.022 -----	103.695

-	0.018 -----	102.096
0.021	0.025 -----	99.639
0.004	0.052 -----	95.299
0.006	0.018 -----	100.059
0.007	0.13 -----	100.154
0.014	0.104 -----	102.221
0.018	0.142 -----	105.383
0.011	0.17 -----	94.87
0.011	0.1 -----	101.08
-	0.008 -----	100.764
0.002 -	-----	99.846
0.013	0.013 -----	99.962
0.005	0.07 -----	103.487
-	0.023 -----	102.944
-	0.014 -----	102.171
-	0.006 -----	99.471
0.024	0.004 -----	101.29
0.013 -	-----	98.532
0.002	0.013 -----	97.068
0.018	0.119 -----	94.906
0.001	0.006 -----	98.802
0.009	0.047 -----	97.386
0.017	0.01 -----	99.045
0.004	0.044 -----	96.769
0.016	0.032 -----	97.293
0.03	0.004 -----	96.865
0.011	0.02 -----	95.228
0.02	0.03 -----	98.98
0.01	0.013 -----	100.843
-	0.203 -----	105.227
0.005	0.004 -----	99.98
-	-----	99.268
0.018	0.019 -----	99.992

0.014	0.122 -----	92.876
0.016	0.149 -----	99.237
0.031	0.138 -----	93.739
0.007	0.126 -----	93.823
0.014	0.145 -----	94.103
0.012	0.006 -----	77.69
0.015 -	-----	98.483
0.021	0.09 -----	102.178
0.004	0.012 -----	93.556
0.004	0.014 -----	98.946
0.014	0.012 -----	99.933
0.004	0.004 -----	101.304
0.013 -	-----	98.648
0.014	0.02 -----	100.145
0.009	0.101 -----	104.258
-	0.127 -----	94.786
0.017	0.17 -----	94.561
0.018	0.168 -----	94.496
0.01	0.157 -----	94.526
0.006	0.255 -----	94.424
0.023 -	-----	97.618
-	0.028 -----	97.824
0.002 -	-----	98.404
0.007 -	-----	98.718
-	-----	99.127
-	-----	102.895
0.015 -	-----	83.138
-	0.001 -----	106.251
0.008 -	-----	99.73
-	0.026 -----	108.468
0.025	0.099 -----	98.712
0.007	0.006 -----	99.256
-	0.123 -----	94.629

0.03	0.066	-----	96.004
0.007	0.001	-----	99.489
0.005	0.012	-----	97.131
0.013	0.039	-----	106.769
0.009	0.032	-----	102.667
0 -		-----	101.837
0.006	0.14	-----	103.132
0.007	0.005	-----	102.005
0.011	0.016	-----	95.967
0.014 -		-----	104.536
0.007	0.024	-----	99.378
0.005	0.003	-----	102.285

49.04	0.024	0.011	-----	98.496
47.21	0.001	0.014	-----	95.769
0.863	0.021	-	-----	92.064
38.18	0.004	0.092	-----	99.305
44.96	0.015	0.018	-----	49.77

Element	Phase	Na2O	FeO	K2O	Cr2O3	SiO2	P2O5	TiO2	MnO	Al2O3	Ag2O
FLX89 51 small t	4	0.05	92.548	0.0194	0.008667	0.3498	0.05	0.2432	0.8396	0.6042	BDL
FLX89 51 small t	4	0.0464	62.482	0.0194	BDL	29.604	0.5054	BDL	2.888	0.2002	BDL
FLX89 51 small t	4	0.0705	46.608	0.0204	0.017	0.7436	0.022333	0.50578	0.8362	51.638	BDL
FLX89 51 large t	4	1.188	60.15	3.563	0.0215	16.7298	1.7986	0.323	0.0688	8.739	BDL
FLX89 51 large t	4	0.0825	61.042	0.0314	0.016	27.408	0.3096	0.127333	0.2516	5.9376	BDL
FLX89 51 large t	4	1.716	27.402	6.742	0.021	35.648	2.4532	0.1256	0.0752	16.764	0.025
FLX89 2176 a wu	6	0.17525	75.692	0.4098	0.0176	12.872	0.7676	0.2824	0.966	3.1354	BDL
FLX89 2176 a fay	6	0.049	63.27	0.015	0.008	29.776	0.16725	BDL	2.232	0.1462	0.178
FLX89 2176 a maf	6	0.7734	27.604	4.92	0.001	33.75	4.478	0.2428	0.5984	14.508	BDL
FLX89 2176 b wu	6	0.108333	91.328	0.0264	0.0175	0.963	0.1074	0.1042	0.739	0.528	BDL
FLX89 2176 b fay	6	0.06975	62.606	0.0246	BDL	29.502	0.416	BDL	2.746	0.171	BDL
FLX89 2176 b maf	6	0.7448	29.998	4.926	0.007	31.232	5.86	0.1098	0.9748	11.008	BDL
FLX89 1427 wus	6	0.2045	81.31	0.8798	0.01	6.3064	1.396	0.1264	0.8394	3.1896	BDL
FLX89 1427 faya	6	BDL	62.532	0.0228	0.01	30.34	0.3886	BDL	2.882	0.1788	BDL
FLX89 1427 mat	6	0.859	29.11	4.944	BDL	31.354	7.12	0.0496	0.99	11.998	BDL
FLX89 17513 f.i.	6	BDL	77.8025	0.0355	0.0015	1.5775	0.936	BDL	0.20375	0.35175	BDL
FLX89 4 2823 fay	6	0.6532	43.55	1.4628	0.012	33.5288	0.6004	0.1785	1.6376	6.0952	BDL
FLX89 4 2823 maf	6	1.06	20.012	2.854	0.011	51.534	1.2538	0.247	0.7686	14.366	BDL
FLX89 1995 faya Absent frc	0.121333	59.56	0.3758	0.004	33.828	0.558	0.053	1.6638	1.4144	BDL	
FLX89 1995 mat Absent frc	0.2362	26.942	2.0042	0.005	46.524	4.3182	0.4488	0.6388	12.592	BDL	
FLX98 10393 10w	6	0.039	92.186	0.027	0.031	0.461	0.03375	0.2564	0.091	0.7884	BDL
FLX98 10393 10f	6	0.066	60.946	0.0442	BDL	29.784	0.763	BDL	0.314	0.858	BDL
FLX98 10393 10m	6	3.0085	28.548	2.0708	0.092333	21.0902	3.2182	0.1726	0.084	31.978	BDL
FLX89 2024 wus	6	0.067	87.156	0.072	0.012	4.6106	0.3595	0.1376	0.0838	1.3626	BDL
FLX89 2024 faya	6	0.057	65.354	0.0206	0.001	29.184	0.807	BDL	0.267	0.3412	BDL
FLX89 2024 mat	6	0.09825	75.202	0.0888	0.003	14.5194	0.9938	0.1014	0.1446	4.272	BDL
FLX89 800 avera	4	0.056	69.756	0.0186	BDL	2.1172	2.066	BDL	3.298	0.3002	BDL
FLX89 3256 528i	4	0.066	93.78	0.02175	0.0065	0.3166	0.029	0.139	0.0302	0.8382	0.017
FLX89 3256 528i	4	BDL	66.32	0.022	BDL	29.942	0.4474	0.016	0.1028	0.196	BDL
FLX89 3256 528i	4	1.631	30.86	7.506	0.005	35.238	5.1	0.0745	0.0356	17.482	BDL
FLX89 664 wusti	6	0.8475	56.594	2.7366	0.0195	24.16	1.9862	0.107	0.1936	9.67	BDL
FLX89 664 fayali	6	0.049	66.3725	0.01818	0.006	30.29	0.26325	BDL	0.37775	0.207	BDL

FLX89 664 matri	<b>6</b>	0.8796	25.498	7.908	BDL	33.276	4.936	0.0552	0.0954	19.158	BDL
FLX89 10384 10%	<b>6</b>	0.048	92.8412	0.0258	0.01775	0.3312	0.028	0.0588	0.0928	0.7254	BDL
FLX89 10384 10%	<b>6</b>	0.125	64.706	0.449	0.001	24.4406	0.5672	0.084	0.27	1.7368	BDL
FLX89 10384 10%	<b>6</b>	0.325	58.21	2.5112	0.025667	17.641	6.6854	0.066	0.182	6.8994	0.015
FLX89 3107 Tap	<b>4</b>	0.939667	66.854	0.5914	0.031667	14.536	1.086	0.3062	0.3	6.502	BDL
FLX89 3107 Tap	<b>4</b>	1.25625	52.366	0.9106	0.01475	24.746	1.6406	0.2466	0.4192	8.318	BDL
FLX89 3107 Tap	<b>4</b>	1.239	43.824	0.9058	0.053	31.754	1.858	0.1242	0.4958	8.698	BDL
FLX89 3107 Tap	<b>4</b>	0.933	63.172	0.724	0.027	19.276	1.698	0.255	0.4948	7.126	BDL
FLX89 3107 Tap	<b>4</b>	1.5132	43.758	1.4884	0.003	29.228	2.8828	0.2096	0.5006	11.466	BDL
FLX89 3107 Tap	<b>4</b>	1.9966	36.918	1.6446	0.022	32.594	2.3276	0.1064	0.5514	14.138	BDL
FLX89 3107 Tap	<b>4</b>	2.4324	33.878	2.63	BDL	29.29	2.6686	0.236	0.1602	15.434	BDL
FLX89 3107 Tap	<b>4</b>	0.1595	57.6	0.281	0.010333	29.814	0.6624	0.06775	0.4448	1.9812	BDL
FLX89 3107 Tap	<b>4</b>	2.226	34.468	2.4126	0.0145	30.31	2.5452	0.3158	0.1844	18.19	BDL
FLX89 3107 Tap	<b>4</b>	0.102333	85.89	0.0804	0.0495	3.3042	0.1938	0.1856	0.108	3.4204	BDL
FLX89 3107 Tap	<b>4</b>	0.55575	60.3	0.2642	0.0185	18.09	1.812	0.134	0.1982	10.0282	0.019
FLX89 3107 Tap	<b>4</b>	3.276	19.232	4.948	0.007	34.498	5.755	0.08	0.0704	15.448	0.015
FLX89 3107 Mec	<b>4</b>	BDL	90.05	0.0214	0.065333	0.273	0.046	0.3266	0.0582	2.9804	BDL
FLX89 3107 Mec	<b>4</b>	0.054	63.77	0.0214	0.005	30.158	0.366	0.021	0.2374	0.3564	0.018
FLX89 3107 Mec	<b>4</b>	3.6425	28.376	5.3158	0.02	31.108	4.7812	0.226667	0.0628	16.096	BDL
FLX89 3107 Larg	<b>4</b>	0.4685	59.372	0.7092	0.0085	17.37	1.4474	0.42275	0.2724	11.0546	BDL
FLX89 3107 Larg	<b>4</b>	1.603	38.606	2.492	BDL	29.244	3.2324	0.2326	0.2318	14.884	BDL
FLX89 3107 Larg	<b>4</b>	3.886	21.446	4.994	0.003	38.676	1.6025	0.27625	0.1124	18.366	0.0235
FLX89 803 1433 Natural		0.059333	79.322	0.027	0.0045	1.7278	0.8644	0.023	1.0554	0.74	BDL

BaO	CoO	As2O5	CuO	CaO	NiO	MgO	Cl	Sb2O5	SnO2	PbO	SO3	ZnO	V2O3
BDL	0.1492	0.1114	0.0946	0.0378	0.0398	0.026667	BDL	BDL	0.0986	0.045	0.0588	0.02575	0.0816
BDL	0.0998	0.034	0.0874	0.7296	0.0476	0.957	0.008	BDL	0.1178	0.036667	0.040667	0.01825	0.028
BDL	0.0764	0.029	0.0968	0.2126	0.0492	0.0934	0.012	BDL	0.113	0.049	0.07125	0.02875	0.1002
0.052	0.0918	0.041333	0.074	5.2296	0.047	0.0615	BDL	BDL	0.0835	BDL	0.1962	0.028	0.11075
BDL	0.0936	0.0305	0.075	0.795	0.046	2.5878	BDL	BDL	0.1094	0.0535	0.035667	0.01975	0.0366
BDL	0.046	BDL	0.085	10.622	0.0474	0.0614	0.008	BDL	BDL	BDL	0.4034	0.014	0.059
BDL	0.1214	0.0775	0.0382	1.4258	0.041	0.1355	0.0085	BDL	0.0995	0.0565	0.143	0.0275	0.0358
BDL	0.102	BDL	0.0444	0.51896	0.0494	0.5808	BDL	BDL	0.117	0.053	0.039	0.016	0.019
0.3366	0.0438	BDL	0.0406	11.82	0.0586	BDL	0.006	BDL	BDL	0.018	1.0486	0.015	0.028
BDL	0.1476	0.07025	0.06825	0.0455	0.03825	0.024	0.009	BDL	0.0978	0.059	0.039	0.019333	0.0252
BDL	0.1	0.047	0.0638	0.8954	0.0428	0.381	0.006	BDL	0.1194	BDL	0.051333	0.023	0.023
0.4586	0.0496	BDL	0.0798	14.17	0.0516	BDL	0.010667	BDL	BDL	BDL	1.66	0.0185	BDL
0.076333	0.1258	0.042	0.0424	2.6998	0.0356	BDL	BDL	0.073	0.039	0.038	0.35125	0.0175	0.025
BDL	0.097	0.035	0.045	0.8812	0.0288	0.3928	BDL	BDL	0.098	0.045	0.013	0.019	0.017
0.522	0.044	BDL	0.0548	14.16	0.0366	BDL	0.008333	BDL	BDL	BDL	1.2816	0.019	BDL
BDL	0.122	0.06425	0.022667	0.73875	0.03725	0.08525	0.03	BDL	0.09	0.048	0.063667	0.04375	0.035
0.3375	0.0714	BDL	0.0468	3.1424	0.0502	0.2358	0.008	BDL	0.082	0.056	0.1445	0.025	0.0315
0.3864	0.0294	BDL	0.4334	7.394	0.04625	0.032	0.007	BDL	0.014	BDL	0.2198	0.013	0.03
0.151	0.0892	0.035	0.027	0.7102	0.0358	0.1146	0.014	BDL	0.097	0.042	0.0515	0.0225	BDL
0.96275	0.078	BDL	0.03	6.5138	0.0412	0.077	0.008	BDL	0.067	BDL	0.55	0.0175	0.0486
BDL	0.1438	0.0675	0.0896	0.085	0.0232	0.1214	BDL	BDL	0.103	0.063	0.033667	0.018	0.1164
BDL	0.2502	0.064	0.1034	0.9456	0.0372	3.394	0.009	BDL	0.1084	0.045	0.036	0.015667	0.023
0.091667	0.0434	BDL	0.0928	8.5822	0.0576	1.17375	BDL	0.036	0.131	BDL	0.40075	0.017333	0.132
BDL	0.1372	0.051	0.0734	0.121	0.0416	0.046	BDL	BDL	0.1042	0.06	0.0495	0.019667	0.03
BDL	0.1088	0.0398	0.0854	0.1896	0.0416	0.3554	0.007	BDL	0.1158	0.06	0.0195	BDL	BDL
BDL	0.1148	0.066	0.081	0.2248	0.0338	0.032	0.008	BDL	0.1114	0.037	BDL	0.014333	0.0275
BDL	0.1154	0.0375	0.0428	1.0936	0.0338	0.5036	0.023	BDL	0.1002	0.038	0.0575	0.02475	BDL
BDL	0.1522	0.0878	0.0374	BDL	0.0344	BDL	BDL	BDL	0.10225	0.042	0.034	0.022667	BDL
BDL	0.1112	0.047667	0.0474	0.2178	0.0458	0.3074	BDL	BDL	0.1152	BDL	0.015	0.015	0.018
0.0725	0.0458	BDL	0.0562	4.916	0.0622	BDL	0.011	BDL	BDL	BDL	0.8976	0.0135	BDL
0.172	0.096	0.059	0.023	3.6048	0.05575	0.0565	0.0085	BDL	0.102333	BDL	0.419	0.0166	0.063
BDL	0.1075	0.073	0.0205	0.41425	0.056	0.21475	0.0075	BDL	0.12125	0.055	0.037	0.0185	0.0175

0.12375	0.04 BDL	0.0282	9.054	0.0512 BDL	0.007	0.035 BDL	BDL	0.77	0.017333	0.018
BDL	0.143 0.058333	0.0322	0.1078	0.0358	0.043 BDL	BDL	0.0966 BDL	0.034333	0.016	0.0978
0.068	0.0948 BDL	0.0426	3.8788	0.0414	0.559	0.009 BDL	0.09125	0.036	0.15	0.016333 0.0675
BDL	0.0926 BDL	0.0456	8.3964	0.0484	0.3	0.019 BDL	0.045	0.0585	0.041667	0.021667 0.102
BDL	0.105 0.035	0.0842	4.8896	0.0426	1.3762	0.0065 BDL	0.0688	0.058667	0.057567	0.0202 0.1615
BDL	0.0786 0.029	0.1026	6.598	0.0512	2.4994	0.039333 BDL	0.0752	0.045	0.063	0.027 0.0636
BDL	0.0658 BDL	0.3618	7.608	0.05025	2.9638 BDL	0.027	0.08 BDL	0.0764	0.0225	0.0276
BDL	0.1028 BDL	0.0658	3.948	0.0504	2.3722 BDL	BDL	0.0866	0.04	0.08475	0.016 0.0894
BDL	0.071 BDL	0.0632	7.77	0.053	1.8792 BDL	0.053	0.06525	0.045	0.191	0.013 0.085
BDL	0.06 BDL	0.06	7.952	0.051	2.2052 BDL	BDL	0.058	0.045	0.1768	0.0185 0.023
BDL	0.0572 BDL	0.0604	10.306	0.0568	0.0906	0.007 BDL	0.031	0.07	0.2354	0.0175 0.083
BDL	0.0892 BDL	0.0442	1.9988	0.0468	3.636	0.01 BDL	0.1296	0.043	0.03925	0.022 0.0315
0.043	0.0472 0.03	0.0494	9.76	0.0416	0.1522	0.007 BDL	0.064 BDL	0.241	0.018	0.111
BDL	0.1378 0.050333	0.0472	0.3206	0.0338	0.5386 BDL	BDL	0.1438	0.052	0.027	0.01875 0.136
BDL	0.094 BDL	0.036	2.22	0.0396	1.5252	0.043 BDL	0.143	0.034	0.03325	0.016 0.0955
0.0506	0.03025 BDL	0.7626	16.148	0.05375	0.0586	0.0045 BDL	BDL	BDL	0.445	0.013667 0.02
BDL	0.1464 0.077	0.021	0.0378	0.0236	0.1698 BDL	BDL	0.1358 BDL	BDL	0.0175	0.1754
BDL	0.1006 0.0375	0.033	0.5584	0.0366	2.291 BDL	BDL	0.165 BDL	0.019	0.023	0.028
0.095667	0.0418 BDL	0.0428	10.2852	0.0478	0.1175	0.49 BDL	0.147	0.038	0.523	0.015 0.026
BDL	0.0946 BDL	0.093667	4.8116	0.034	1.438	0.006 BDL	0.1126	0.0395	0.099667	0.0275 0.096
0.064	0.0612 BDL	0.036667	9.624	0.0394	1.3412 BDL	BDL	0.098 BDL	0.6695	0.013	0.028333
0.0616	0.0374 BDL	0.04175	10.746	0.0488	0.3704 BDL	BDL	0.073667 BDL	0.464	0.014	0.015
BDL	0.1292 0.057	0.0448	0.5248	0.0386	0.3916	0.0526 BDL	0.0878	0.036333	0.1142	0.0474 0.022

	P2O5	CaO	Phase
FLX89 51 small tap matrix 1	-	0.031	4
FLX89 51 small tap matrix 2	0.007	0.059	4
FLX89 51 small tap matrix 3	0.039	0.333	4
FLX89 51 small tap matrix 4	0.012	0.029	4
FLX89 51 small tap matrix 5	0.016	0.08	4
FLX89 51 large tap matrix 1	1.939	7.21	4
FLX89 51 large tap matrix 2	3.7	10.92	4
FLX89 51 large tap matrix 3	3.29	11.98	4
FLX89 51 large tap matrix 4	0.007	11.68	4
FLX89 51 large tap matrix 5	3.33	11.32	4
FLX89 800 high density feature 1	2.118	1.398	4
FLX89 800 high density feature 2	0.402	0.523	4
FLX89 800 high density feature 3	2.84	1.55	4
FLX89 800 high density feature 4	0.208	0.269	4
FLX89 800 high density feature 5	0.885	0.83	4
FLX89 800 average density 1	1.945	0.999	4
FLX89 800 average density 2	2.141	1.087	4
FLX89 800 average density 3	2.038	1.059	4
FLX89 800 average density 4	1.923	1.046	4
FLX89 800 average density 5	2.283	1.277	4
FLX89 3256 5286 matrix 1	4.24	4	4
FLX89 3256 5286 matrix 2	5.82	5.76	4
FLX89 3256 5286 matrix 3	4.74	4.41	4
FLX89 3256 5286 matrix 4	5.38	5.09	4
FLX89 3256 5286 matrix 5	5.32	5.32	4
FLX89 3107 Tap 1 matrix 1	1.641	4.04	4
FLX89 3107 Tap 1 matrix 2	1.3	5.62	4
FLX89 3107 Tap 1 matrix 3	2.071	9.26	4
FLX89 3107 Tap 1 matrix 4	1.848	6.56	4
FLX89 3107 Tap 1 matrix 5	2.43	12.59	4
FLX89 3107 Tap 2 matrix 1	2.97	7.85	4
FLX89 3107 Tap 2 matrix 2	2.8	5.31	4

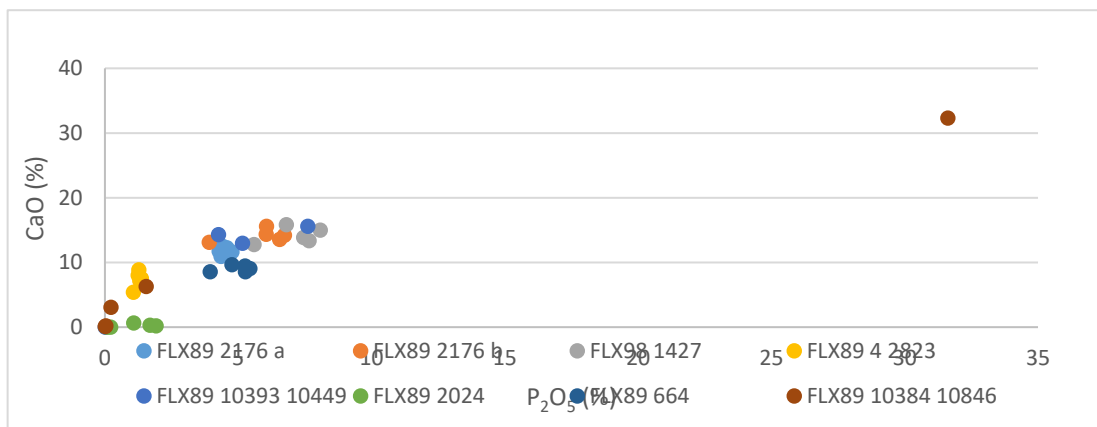
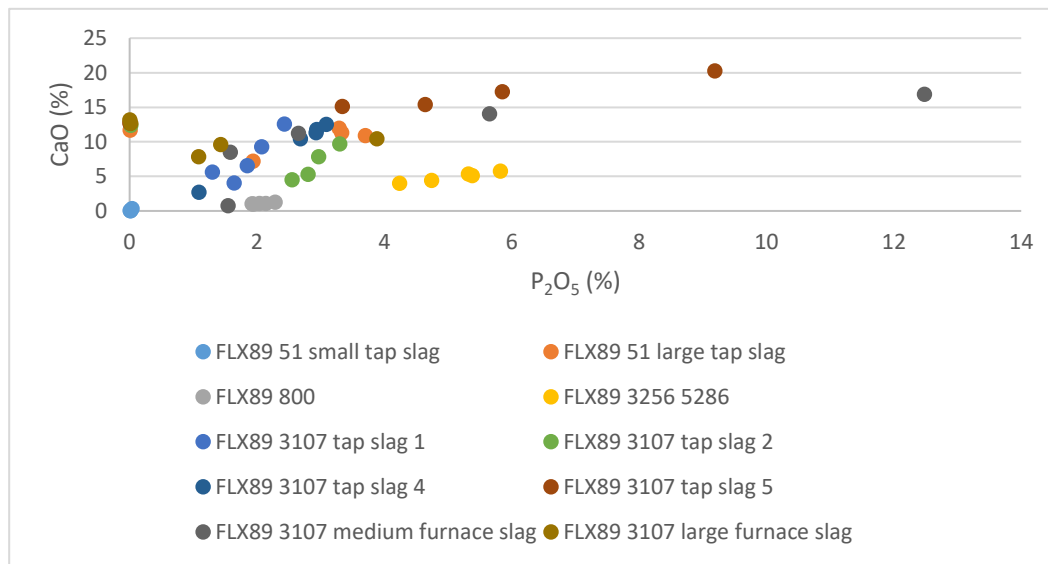
FLX89 3107 Tap 2 matrix 3	0.018	12.4	4
FLX89 3107 Tap 2 matrix 4	2.55	4.5	4
FLX89 3107 Tap 2 matrix 5	3.3	9.7	4
FLX89 3107 Tap 4 matrix 1	2.68	10.46	4
FLX89 3107 Tap 4 matrix 2	1.086	2.72	4
FLX89 3107 Tap 4 matrix 3	2.93	11.31	4
FLX89 3107 Tap 4 matrix 4	2.94	11.8	4
FLX89 3107 Tap 4 matrix 5	3.09	12.51	4
FLX89 3107 Tap 5 matrix 1	3.34	15.12	4
FLX89 3107 Tap 5 matrix 2	5.85	17.24	4
FLX89 3107 Tap 5 matrix 3	4.64	15.38	4
FLX89 3107 Tap 5 matrix 4	0.005	12.72	4
FLX89 3107 Tap 5 matrix 5	9.19	20.28	4
FLX89 3107 Tap 5 fayalite 5	4.65	7.34	4
FLX89 3107 Medium furnace slag matrix 1	2.65	11.22	4
FLX89 3107 Medium furnace slag matrix 2	1.546	0.756	4
FLX89 3107 Medium furnace slag matrix 3	12.48	16.88	4
FLX89 3107 Medium furnace slag matrix 4	5.65	14.07	4
FLX89 3107 Medium furnace slag matrix 5	1.58	8.5	4
FLX89 3107 Large furnace slag matrix 1	1.428	9.59	4
FLX89 3107 Large furnace slag matrix 2	0.002	13.19	4
FLX89 3107 Large furnace slag matrix 3	0.017	12.64	4
FLX89 3107 Large furnace slag matrix 4	3.88	10.46	4
FLX89 3107 Large furnace slag matrix 5	1.085	7.85	4
FLX89 2176 a matrix 1	4.36	10.92	6
FLX89 2176 a matrix 2	4.28	11.73	6
FLX89 2176 a matrix 3	4.57	12.29	6
FLX89 2176 a matrix 4	4.41	12.54	6
FLX89 2176 a matrix 5	4.77	11.62	6
FLX89 2176 b matrix 1	6.05	14.36	6
FLX89 2176 b matrix 2	6.73	14.2	6
FLX89 2176 b matrix 3	6.06	15.61	6
FLX89 2176 b matrix 4	6.55	13.55	6

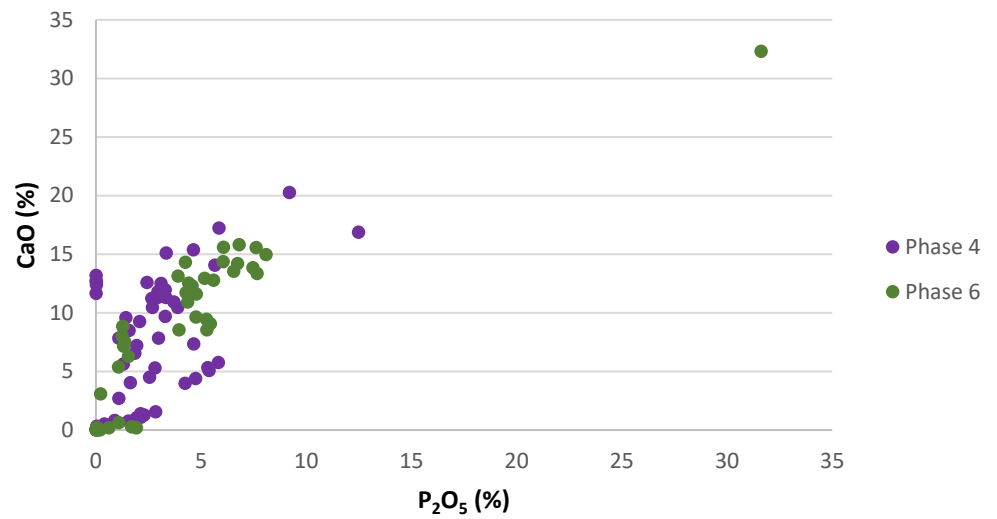
FLX89 2176 b matrix 5	3.91	13.13	<b>6</b>
FLX89 1427 matrix 1	8.08	14.97	<b>6</b>
FLX89 1427 matrix 2	5.59	12.79	<b>6</b>
FLX89 1427 matrix 3	7.46	13.85	<b>6</b>
FLX89 1427 matrix 4	7.66	13.36	<b>6</b>
FLX89 1427 matrix 5	6.81	15.83	<b>6</b>
FLX89 4 2823 matrix 1	1.069	5.38	<b>6</b>
FLX89 4 2823 matrix 2	1.313	7.17	<b>6</b>
FLX89 4 2823 matrix 3	1.365	7.54	<b>6</b>
FLX89 4 2823 matrix 4	1.274	8.85	<b>6</b>
FLX89 4 2823 matrix 5	1.248	8.03	<b>6</b>
FLX98 10393 10449 matrix 1	0.014	0.012	<b>6</b>
FLX98 10393 10449 matrix 2	0.047	0.039	<b>6</b>
FLX98 10393 10449 matrix 3	4.26	14.32	<b>6</b>
FLX98 10393 10449 matrix 4	7.61	15.58	<b>6</b>
FLX98 10393 10449 matrix 5	5.16	12.96	<b>6</b>
FLX89 2024 matrix 1	1.695	0.275	<b>6</b>
FLX89 2024 matrix 2	1.081	0.622	<b>6</b>
FLX89 2024 matrix 3	0.101	0.004	<b>6</b>
FLX89 2024 matrix 4	1.918	0.202	<b>6</b>
FLX89 2024 matrix 5	0.21	0.025	<b>6</b>
FLX89 2024 fayalite 5	0.612	0.192	<b>6</b>
FLX89 664 matrix 1	5.44	9.07	<b>6</b>
FLX89 664 matrix 2	3.95	8.56	<b>6</b>
FLX89 664 matrix 3	5.27	8.55	<b>6</b>
FLX89 664 matrix 4	5.26	9.45	<b>6</b>
FLX89 664 matrix 5	4.76	9.64	<b>6</b>
FLX89 10384 10846 matrix 1	1.544	6.29	<b>6</b>
FLX89 10384 10846 matrix 2	0.226	3.08	<b>6</b>
FLX89 10384 10846 matrix 3	0.037	0.217	<b>6</b>
FLX89 10384 10846 matrix 4	0.007	0.085	<b>6</b>
FLX89 10384 10846 matrix 5	31.62	32.31	<b>6</b>

FLX89 1995 matrix 1	6.52	8.58 Absent from FLXPH99
FLX89 1995 matrix 2	1.361	0.849 Absent from FLXPH100
FLX89 1995 matrix 3	4.51	6.32 Absent from FLXPH101
FLX89 1995 matrix 4	2.48	8.12 Absent from FLXPH102
FLX89 1995 matrix 5	6.72	8.7 Absent from FLXPH103

FLX89 51 small tap wustite  
FLX89 51 small tap fayalite  
FLX89 51 small tap matrix  
FLX89 51 large tap wustite  
FLX89 51 large tap fayalite  
FLX89 51 large tap matrix  
**6** FLX89 2176 a wustite  
**6** FLX89 2176 a fayalite  
**6** FLX89 2176 a matrix  
**6** FLX89 2176 b wustite  
**6** FLX89 2176 b fayalite  
**6** FLX89 2176 b matrix  
**6** FLX89 1427 wustite  
**6** FLX89 1427 fayalite  
**6** FLX89 1427 matrix  
**6** FLX89 17513 f.i. stone  
**6** FLX89 4 2823 fayalite  
**6** FLX89 4 2823 matrix  
Absent from FLXPH99 FLX89 1995 fayalite  
Absent from FLXPH99 FLX89 1995 matrix  
**6** FLX89 10393 10449 wustite  
**6** FLX89 10393 10449 fayalite  
**6** FLX89 10393 10449 matrix  
**6** FLX89 2024 wustite  
**6** FLX89 2024 fayalite  
**6** FLX89 2024 matrix  
**4** FLX89 800 average density  
**4** FLX89 3256 5286 wustite  
**4** FLX89 3256 5286 fayalite  
**4** FLX89 3256 5286 matrix  
**6** FLX89 664 wustite

6	FLX89 664 fayalite
6	FLX89 664 matrix
6	FLX89 10384 10846 wustite
6	FLX89 10384 10846 fayalite
6	FLX89 10384 10846 matrix
4	FLX89 3107 Tap 1 wustite
4	FLX89 3107 Tap 1 fayalite
4	FLX89 3107 Tap 1 matrix
4	FLX89 3107 Tap 2 wustite
4	FLX89 3107 Tap 2 fayalite
4	FLX89 3107 Tap 2 matrix
4	FLX89 3107 Tap 4 wustite
4	FLX89 3107 Tap 4 fayalite
4	FLX89 3107 Tap 4 matrix
4	FLX89 3107 Tap 5 wustite
4	FLX89 3107 Tap 5 fayalite
4	FLX89 3107 Tap 5 matrix
4	FLX89 3107 Medium furnace slag wustite
4	FLX89 3107 Medium furnace slag fayalite
4	FLX89 3107 Medium furnace slag matrix
4	FLX89 3107 Large furnace slag wustite
4	FLX89 3107 Large furnace slag fayalite
4	FLX89 3107 Large furnace slag matrix
Natural	FLX89 803 14333 tech sample





Element	Na2O	FeO	K2O	Cr2O3	SiO2	P2O5	TiO2	MnO	Al2O3	Ag2O
1 Tisbury arch slag wustite 1	-		79.35	0.296 -		21.44	1.042	0.89	0.116	10.7 0.007
2 Tisbury arch slag wustite 2	0.229		44.01	0.999 -		43.47	1.81	0.249	0.236	9.34 -
3 Tisbury arch slag wustite 3	0.127		48.66	1.27 -		38.21	1.693	0.092	0.278	5.85 -
4 Tisbury arch slag wustite 4	0.069		58.61	0.417 -		36.86	1.528 -		0.324	2.1 0.007
5 Tisbury arch slag wustite 5	0.1		49.03	0.789	0.009	38.24	1.683	0.065	0.279	5 -
6 Tisbury arch slag fayalite 1	-		66.34	0.026 -		30.17	0.455 -		0.335	0.094 -
7 Tisbury arch slag fayalite 2	0.044		66.34	0.01 -		29.22 -	-		0.303	0.159 0.06
8 Tisbury arch slag fayalite 3	-		66.01	0.028 -		29.84	0.809	0.013	0.327	0.155 0.004
9 Tisbury arch slag fayalite 4	0.08		66.13	0.033	0.003	30.15	0.269 -		0.314	0.106 -
10 Tisbury arch slag fayalite 5	-		66.34	0.062 -		29.94	0.762 -		0.317	0.15 -
11 Tisbury arch slag matrix 1	0.025		66.69	0.023	0.005	30.23 -	-		0.334	0.101 0.054
12 Tisbury arch slag matrix 2	0.251		38.29	2.14 -		38.21	2.35	0.403	0.188	14.01 -
13 Tisbury arch slag matrix 3	0.288		29.76	2.6 -		43.47	3.29	0.528	0.162	17.41 -
14 Tisbury arch slag matrix 4	0.236		32.72	1.99 -		42.04	3.31	0.519	0.176	16.79 0.01
15 Tisbury arch slag matrix 5	0.304		31.54	2.73	0.007	41.85	3.2	0.712	0.135	17.17 -
16 Tap slag Tisbury FeO skin 1	0.063		80.3	0.328 -		5.43	0.04	0.06	0.23	0.854 0.002
17 Tap slag Tisbury FeO skin 2	0.033		84.83	0.077 -		1.356	0.059 -		0.086	0.3 0.004
18 Tap slag Tisbury FeO skin 3	-		85.81	0.102 -		1.597	0.046	0.004	0.662	0.545 -
19 Tap slag Tisbury FeO skin 4	0.313		55.05	2.01 -		32.05	0.043	0.096	0.376	3.91 -
20 Tap slag Tisbury FeO skin 5	0.244		46.91	1.87	0.007	42.06	0.135	0.31	0.15	3.97 0.007
21 Tap slag Tisbury fayalite 1	0.141		33.1	0.878 -		46.96	2.024	0.663	0.22	12.91 0.007
22 Tap slag Tisbury fayalite 2	0.082		46.34	0.857 -		39.98	1.113	0.189	0.264	4.76 -
23 Tap slag Tisbury fayalite 3	0.098		35.89	0.788 -		49.94	2.64	0.14	0.294	9.27 -
24 Tap slag Tisbury fayalite 4	0.141		41.05	0.94 -		48.17	0.997	0.118	0.259	6.54 -
25 Tap slag Tisbury fayalite 5	0.053		48.81	0.638 -		41.97	1.324	0.131	0.317	6.25 -
26 Tap slag Tisbury matrix 1	0.044		42.72	0.711	0.003	45.71	1.594	0.193	0.299	9.18 -
27 Tap slag Tisbury matrix 2	0.137		39.27	1.055 -		45.89	1.104	0.649	0.105	8.31 -
28 Tap slag Tisbury matrix 3	0.024		55.55	0.502 -		42.33	0.689	0.001	0.307	1.99 -
29 Tap slag Tisbury matrix 4	0.113		40.88	0.918 -		50.66	0.952	0.462	0.097	7.41 -
30 Tap slag Tisbury matrix 5	0.125		34.89	0.918 -		46.9	1.723	0.594	0.216	13.04 0.009
31 First flow slag fayalite 1	0.133		53.5	0.752 -		40.84	0.745 -		0.237	2.31 -
32 First flow slag fayalite 2	0.103		51.47	0.838 -		41.44	0.806	0.014	0.242	2.87 -

33 First flow slag fayalite 3	0.066	54.29	0.643 -		39.93	0.66	0.017	0.249	1.773	-
34 First flow slag fayalite 4	0.109	52.1	0.706 -		40.44	0.916	0.058	0.254	2.52	0.003
35 First flow slag fayalite 5	0.105	56.3	0.569	0.006	39.43 -		0.009	0.251	1.702	0.05
36 First flow slag matrix 1	0.126	31.66	1.032 -		48.14	1.399	0.715	0.184	12.5	-
37 First flow slag matrix 2	0.163	27.24	1.166 -		51.85	1.518	0.775	0.174	15.08	-
38 First flow slag matrix 3	0.15	41.67	1.136	0.009	44.11	1.137	0.422	0.202	8.76	-
39 First flow slag matrix 4	0.117	37.17	0.93 -		45.35	1.351	0.563	0.194	10.86	-
40 First flow slag matrix 5	0.154	30.42	1.094 -		49.45	1.372	0.721	0.182	13.73	-
1 Furnace slag b fayalite 1	0.063	49.19	0.809	0.012	42.51	0.65	0.01	0.255	2.74	0.006
2 Furnace slag b fayalite 2	0.03	48.18	0.798 -		42.42	0.856	0.175	0.242	5.07	-
3 Furnace slag b fayalite 3	0.074	50.62	0.752	0.007	42.49	0.631	0.016	0.259	2.38	0.002
4 Furnace slag b fayalite 4	0.083	50.67	0.816 -		42.43	0.695 -		0.254	2.15	-
5 Furnace slag b fayalite 5	0.151	41.33	0.973	0.006	44.95	0.999	0.33	0.22	7.91	0.002
6 Furnace slag b matrix 1	0.125	47.28	0.788	0.001	44.01	0.927	0.251	0.266	6.74	-
7 Furnace slag b matrix 2	0.111	46.55	0.854	0.002	44.89	1.007	0.226	0.251	6.56	0.001
8 Furnace slag b matrix 3	0.106	50.2	0.793 -		42.68	0.681	0.085	0.248	3.41	-
9 Furnace slag b matrix 5	0.057	50.65	0.765 -		41.81	0.831	0.106	0.264	3.15	0.004
10 Furnace slag b matrix 5	0.156	45.29	0.887	0.001	43.95	0.85	0.224	0.247	6.03	0.002
11 Furnace slag y fayalite 1	0.074	40.93	0.908 -		45.63	1.144	0.375	0.222	8.3	0.003
12 Furnace slag y fayalite 2	0.147	32.44	1.195 -		49.79	1.327	0.45	0.199	10.1	0.008
13 Furnace slag y fayalite 3	0.042	0.013	0.896	0.007	38.06	0.966	0.222	0.256	4.08	0.018
14 Furnace slag y fayalite 4	0.087	49.45	0.771 -		42.32	0.924	0.153	0.258	4.29	-
15 Furnace slag y fayalite 5	0.143	36.97	1.024 -		46.17	1.137	0.431	0.213	9.78	0.007
16 Furnace slag y matrix 1	0.021	47.29	0.811	0.006	43.75	0.985	0.211	0.258	5.5	-
17 Furnace slag y matrix 2	0.073	45.4	0.911	0.006	44.68	0.897	0.189	0.241	5.1	0
18 Furnace slag y matrix 3	0.136	36.75	1.056 -		49.89	1.37	0.435	0.215	11.42	-
19 Furnace slag y matrix 4	0.084	51.95	0.746 -		43.24	0.877	0.054	0.281	3.16	-
20 Furnace slag y matrix 5	0.084	31.92	1.099 -		49.39	1.293	0.632	0.204	11.42	-
1 Bloom 1	-	84.73	0.017 -		0.195	0.838 -		0.006	0.062	-
2 Bloom 1	-	94.78	0.011 -		0.002	0.859 -		0.001	0.147	-
3 Bloom 1	-	93.9	0.01 -	-		1.05 -	-		0.194	-
4 Bloom 1	-	95.02	0.018 -	-		0.299 -	-		0.634	-
5 Bloom 1	-	95.1	0.01 -		0.082	0.257 -	-		0.072	-

6 Bloom 1	-	0.003	0.028	-	0.008	0.312	-	-	0.336	-
7 Bloom 2	-	94.85	0.027	-	0.018	1.2	-	-	0.01	-
8 Bloom 2	-	94.65	0.03	0.001	0.047	0.002	-	-	-	0.071
9 Bloom 2	-	94.83	0.01	-	-	1.36	-	-	0.008	0.013
10 Bloom 2	-	95.38	0.015	-	-	0.543	-	-	-	0.008
11 Bloom 2	-	94.44	0.004	-	0.001	0.552	-	0.001	0.016	0.01
12 Bloom 2	1.26	93.63	0.02	-	0.102	0.598	-	-	1.93	-

BaO	CoO	As2O5	CuO	CaO	NiO	MgO	Cl	Sb2O5	SnO2	PbO	SO3	ZnO	V2O3	
0.008	0.071	0.022	0.095	3.14	0.042	0.096	-	0.062	-	-	0.192	0.024	-	
-	0.071	-		0.094	2.41	0.045	0.153	0.005	-	0.14	-	0.058	0.007	0.012
-	0.077	0.027	0.117	1.148	0.046	0.241	0.004	-		0.122	-	0.046	0.019	0.009
-	0.086	-	0.107	0.712	0.061	0.225	-	-		0.153	0.029	0.014	0.025	0.001
-	0.073	-	0.105	1.73	0.063	0.242	-	0.036	0.154	0.008	0.062	0.001	0.01	
-	0.099	0.041	0.106	0.079	0.056	0.864	-	-	0.176	0.031	0.006	0.032	0.021	
-	0.097	0.027	0.106	0.101	0.043	0.526	-	-	0.173	0.06	-	0.031	0.004	
-	0.104	0.103	0.096	0.101	0.053	0.93	-	-	0.184	0.019	-	-	0.007	
-	0.114	0.043	0.091	0.122	0.059	0.38	-	-	0.185	-	0.025	0.02	-	
-	0.099	0.016	0.086	0.118	0.059	0.885	-	-	0.186	0.024	-	0.015	0.01	
-	0.101	0.036	0.097	0.09	0.054	0.685	0.002	-	0.186	0.049	0.016	0.022	-	
-	0.071	-	0.095	2.59	0.063	0.006	0.001	-	0.135	-	0.086	0.019	-	
0.027	0.05	-	0.102	3.68	0.069	-	0.001	-	0.123	0.018	0.162	0.022	0.007	
-	0.056	-	0.122	3.58	0.067	-	0.001	-	0.142	-	0.12	0.017	0.003	
-	0.047	-	0.104	3.22	0.059	-	0.003	-	0.109	0.028	0.137	0.02	0.022	
-	0.114	0.061	0.162	0.697	0.051	0.22	0.012	-	0.148	0.034	-	0.024	0.011	
-	0.142	0.058	0.151	0.437	0.042	-	0.008	-	0.176	-	0.019	0.024	0.012	
-	0.143	0.102	0.152	0.246	0.057	0.96	0.002	-	0.168	0.048	-	0.014	0.011	
0.004	0.091	-	0.133	1.58	0.055	0.477	0.006	-	0.135	0.024	0.014	0.005	0.001	
-	0.082	0.025	0.141	0.699	0.075	0.19	0.011	-	0.149	-	0.016	0.005	0.034	
-	0.056	-	0.142	2.27	0.064	0.072	0.006	-	0.189	0.005	0.266	0.004	0.015	
-	0.071	0.002	0.128	0.748	0.065	0.468	0	0.008	0.196	0.001	0.094	-	0.003	
-	0.051	-	0.142	2.08	0.074	0.361	0.001	0.015	0.2	-	0.251	0.014	-	
-	0.068	-	0.128	1.059	0.069	0.232	0.001	-	0.196	0.019	0.091	-	-	
-	0.08	-	0.118	0.995	0.049	0.561	-	-	-	0.004	0.103	0.012	-	
-	0.06	0.03	0.146	1.74	0.055	0.255	-	0.034	0.198	0.026	0.194	0.015	-	
0.016	0.07	0.027	0.154	0.902	0.069	0.019	0.005	0.011	0.19	0.005	0.131	0.016	0.039	
-	0.088	0.008	0.14	0.233	0.07	0.502	-	-	-	0.008	0.011	0.032	-	
-	0.063	0.004	0.139	0.735	0.06	0.042	0.001	0.007	0.196	0.02	0.106	0.002	0.012	
-	0.051	-	0.149	2.1	0.058	0.087	0.003	-	0.203	-	0.221	0.003	0.019	
-	0.09	-	0.015	0.255	0.063	0.62	-	0.003	0.186	0.063	0.042	0.009	0.001	
-	0.09	0.028	0.015	0.213	0.049	0.646	-	-	0.193	0.025	0.052	0	-	

-	0.09	0.008	0.012	0.137	0.051	0.654	0.001	-	0.194	0.042	0.007	0.02	-
-	0.082	-	-	0.408	0.055	0.305	-	-	0.208	0.026	0.036	0.021	-
-	0.091	0.024	0.019	0.15	0.055	0.585	0.005	-	0.208	0.012	-	0.024	0.005
-	0.052	0.002	0.04	2.34	0.062	0.088	0.001	-	0.22	0.028	0.317	0.008	0.015
-	0.033	-	0.006	2.38	0.071	0.049	-	0.021	0.206	0.009	0.312	0.031	0.018
-	0.064	-	0.01	1.312	0.051	0.165	-	-	0.207	0.036	0.153	-	0.016
-	0.056	-	0.018	1.82	0.062	0.108	0.005	-	0.222	0.011	0.208	0.009	0.039
-	0.046	-	0.029	2.29	0.065	0.054	-	0	-	-	0.316	0.011	0.044
-	0.081	-	-	0.305	0.053	0.619	0.002	0.014	0.22	-	0.012	0.004	0.008
-	0.072	0.027	-	0.99	0.051	0.448	0.004	-	-	-	0.084	0.02	0.012
-	0.079	0.003	0.009	0.251	0.066	0.703	-	-	0.191	0.001	0.036	0.008	0.008
-	0.067	0.023	-	0.174	0.056	0.796	-	-	0.18	-	-	-	0.011
-	0.072	-	0.007	1.162	0.056	0.205	0.002	-	0.179	0.029	0.098	0.004	0.013
-	0.075	0.014	0.006	0.917	0.046	0.284	0.005	-	0.168	0.016	0.054	0.024	-
-	0.077	-	0.004	0.802	0.053	0.361	-	-	0.159	0.052	0.09	0.013	0.025
-	0.075	0.016	-	0.398	0.051	0.506	0.005	-	0.167	-	-	0.019	0.003
-	0.068	-	0.011	0.428	0.064	0.42	-	-	0.165	0.005	0.044	0.011	0.001
-	0.07	-	-	0.819	0.073	0.307	-	-	0.151	0.021	0.134	0.013	0.013
-	0.068	0.004	0.004	1.228	0.079	0.33	-	-	0.169	0.025	0.144	0.017	0.004
-	0.042	-	0.009	1.54	0.075	0.226	0.007	-	0.132	-	0.165	0.005	-
-	0.081	0.005	-	0.809	0.077	0.282	0.01	0.014	0.175	0.014	-	-	0.039
-	0.069	-	0.013	0.591	0.067	0.483	0.003	-	0.157	0.01	0.04	0.017	0.017
-	0.065	-	0.001	1.47	0.09	0.247	-	-	-	-	0.098	0.011	0.016
-	0.08	0.025	0.003	0.707	0.087	0.415	0.001	0.01	-	-	0.104	0.002	0.018
-	0.067	0.027	0.018	0.71	-	0.403	0.004	-	0.142	0.012	0.059	0.009	0.005
-	0.052	-	-	1.342	0.08	0.248	0.001	-	0.172	-	0.16	0.009	0.025
-	0.086	0.032	0.002	0.338	0.078	0.517	0.001	-	0.18	0.036	0.005	0.009	0.013
-	0.056	-	-	1.91	0.077	0.211	0.002	-	-	-	0.173	0.021	0.002
-	0.179	-	0.014	-	0.068	0.116	-	-	0.15	-	0.017	-	0.005
-	0.175	-	0.049	-	0.056	0.072	-	-	0.146	-	0.032	0.012	0.009
-	0.175	0.002	0.054	-	0.056	0.105	-	-	0.14	-	0.037	0.014	0.007
-	0.179	-	-	-	0.006	0.093	-	-	0.096	-	0.067	0.041	0.041
-	0.182	-	0.029	-	0.069	0.011	0.001	-	0.128	-	0.068	0.001	0.006

-	0.185	-	0.042	-	0.069	0.038	0.001	-	0.18	-	0.021	0.015	-
-	0.176	-	0.031	0.027	0.05	0.051	0.001	-	0.125	-	0.073	0.01	0.014
-	0.158	-	0.047	-	0.053	0.076	0.001	-	0.136	-	0.091	0.016	0.02
-	0.179	-	0.042	-	0.054	0.062	-	-	0.132	-	0.075	-	0.02
-	0.174	-	0.032	-	0.061	0.043	0.004	-	0.123	-	0.048	-	-
-	0.168	-	0.037	-	0.056	0.093	0.002	0.009	-	-	0.026	-	-
-	0.163	-	0.022	0.057	0.056	0.133	0.004	-	0.14	0.047	0.03	0.032	0.014

-----	Total
-----	117.593
-----	103.338
-----	98.037
-----	101.326
-----	97.677
-----	98.933
-----	97.303
-----	98.783
-----	98.124
-----	99.069
-----	98.798
-----	98.908
-----	101.768
-----	101.898
-----	101.396
-----	88.841
-----	87.815
-----	90.671
-----	96.375
-----	97.091
-----	99.993
-----	95.37
-----	102.249
-----	100.079
-----	101.416
-----	103.207
-----	98.175
-----	102.486
-----	102.879
-----	101.308
-----	99.864
-----	99.095

-----	98.844	
-----	98.245	
-----	99.599	
-----	98.929	
-----	101.101	
-----	99.61	
-----	99.094	
-----	99.979	
-----	97.563	
-----	99.479	
-----	98.585	
-----	98.406	
-----	98.698	
-----	101.997	
-----	102.088	
-----	99.444	
-----	98.852	
-----	99.239	
-----	99.658	
-----	97.856	
-----	46.065	
-----	99.721	
-----	97.873	
-----	100.281	
-----	98.954	
-----	103.362	
-----	101.688	
-----	98.494	
-	-----	86.398
-	-----	96.351
0.001	-----	95.743
0.008	-----	96.502
-	-----	96.016

-	-----	1.24
-	-----	96.666
-	-----	95.4
0.001	-----	96.785
-	-----	96.432
-	-----	95.414
-	-----	98.237